

# تغيرات مستوى سطح البحر

## تطبيقات ميدانية لتغيرات الزمن الرابع على سواحل الخليج العربي وخليج عمان

تحرير

دكتور / محمد مجدى تراب  
أستاذ الجغرافية الطبيعية  
بجامعة الإسكندرية والإمارات العربية المتحدة

دكتورة/ أسماء الفراج الكتبي  
أستاذ مساعد الجغرافيا الطبيعية  
بجامعة الإمارات العربية المتحدة

دكتور/ سالم بن مبارك الحتروشى  
أستاذ مساعد الجغرافيا الطبيعية  
عميد القبول والتسجيل  
بجامعة السلطان قابوس

٢٠٠٢

حقوق الطبع محفوظة للمُحرر  
E-Mail: [magdytorab@hotmail.com](mailto:magdytorab@hotmail.com)

إهداء

إلى كل من وقف بجواري يشجعني ويشد من  
أزري ..

# تغيرات مستوى سطح البحر

## تطبيقات ميدانية لتغيرات الزمن الرابع على سواحل الخليج العربى وخليج عمان

### مقدمة

يتعرض مستوى سطح البحر لتغيرات مستمرة ما بين ارتفاع وانخفاض طوال التاريخ الجيولوجى لكوكب الأرض ، ولكن يزداد الغموض كلما توغلنا فى الماضى السحيق للأرض ، بسبب طمس أو إزالة الأدلة والشواهد المؤيدة لحدوث هذه الذبذبات بعوامل التعرية ، ولذا اقتصر معظم الدراسات التى تناولتها بالفحص والدراسة على التغيرات التى حدثت خلال الزمن الرابع الجيولوجى .

ويتناول هذا الكتاب ظاهرة التغيرات المناخية التى تأثرت بها سواحل البحار والمحيطات فى العالم خلال الزمن الرابع ، وهذه التغيرات لازالت مستمرة حتى اليوم ، بل إنها تهدد سواحل العالم بالانغمار بسبب الارتفاع الحثيث فى درجات حرارة كوكبنا الأرضى ، وذوبان جزء من الجليد المتراكم على المناطق الجليدية وشبه الجليدية ، وأصبح سكان السهول الساحلية والدلتاوات فى العالم مهددون بالطوفان البحرى ، ومن بين هذه المناطق أجزاء من سواحل الخليج العربى وخليج عُمان ..

وينقسم هذا الكتاب إلى قسمين ، يهتم الأول منهما بخصائص التغيرات المناخية من حيث تصنيفها إلى أنماطها الأساسية ، وأساليب قياس هذه التغيرات ، وأهم نتائجها فى العالم سواء خلال عصور الزمن الرابع ، أو التغيرات المعاصرة أو المستقبلية .

أما القسم الثانى فهو عبارة عن مجموعة من البحوث التطبيقية ، تعتمد فى معظمها على أسلوب البحث الميدانى عن الدلائل والشواهد التى تشير إلى حدوث ذبذبات مستوى سطح البحر ، واشترك فى كتابة هذه المجموعة من البحوث أثنان من الزملاء الأفاضل من أعضاء هيئة تدريس جامعتى الإمارات العربية المتحدة والسلطان قابوس ، إيماناً منهما بأهمية هذه الظاهرة ومدى تهديدها لأوطانهما .

المُحرر

أ.د. محمد مجدى تراب

العين - الإمارات العربية المتحدة

٩ يونيو ٢٠٠٢



## المحتويات

مقدمة ..

## الباب الأول : خصائص التغيرات المناخية فى مناسيب البحار والمحيطات

الفصل الأول : أنماط التغيرات فى مناسيب البحار والمحيطات .

الفصل الثانى: أساليب قياس تذبذب مستويات البحار العالمية .

الفصل الثالث : نتائج أهم الدراسات التى تناولت ظواهر التغير فى مستويات

البحار العالمية خلال الزمن الرابع :

- أولاً : تغيرات عصر البلايستوسين .
- ثانياً : تغيرات عصر الهولوسين .
- ثالثاً : التغيرات المعاصرة.

## الباب الثانى: تطبيقات ميدانية على سواحل الخليج العربى وخليج عُمان

مقدمة : الملامح الجغرافية للخليج العربى.

الفصل الرابع: السواحل الغربية لدولة الإمارات :

المبحث الأول : السبخات الساحلية فى إمارة أبوظبي .

المبحث الثانى : سواحل جزيرة صير بنى ياس .

المبحث الثالث : مقدمات دلتا(مروحة) وادى البياح

(دكتورة / أسماء الكتبى) .

الفصل الخامس: الساحل المحصور بين مسقط ورأس الحد – سلطنة عُمان.

(دكتور / سالم الحتروشى).

الفصل السادس: شبه جزيرة مُسندم –سلطنة عُمان.

الفصل السابع : سواحل جزيرة قشم –إيران.

الفصل الثامن : سواحل دولة الكويت .

## الباب الأول

### خصائص التغيرات المناخية في مناسيب البحار والمحيطات

الفصل الأول : أنماط التغيرات في مناسيب البحار والمحيطات .

الفصل الثاني : أساليب قياس تذبذب مستويات البحار العالمية .

الفصل الثالث : نتائج أهم الدراسات التي تناولت ظواهر التغير في مستويات البحار العالمية خلال الزمن الرابع :

أولاً : تغيرات عصر البلايستوسين .

ثانياً : تغيرات عصر الهولوسين .

ثالثاً : التغيرات المعاصرة .

## الفصل الأول

### أنماط التغيرات فى مناسيب البحار والمحيطات

أ.د. محمد مجدى تراب

- تغيرات مناخية .
- تغيرات تكتونية .
- تغيرات جيوديسية .
- تغيرات ناتجة عن تراكم الرواسب على قيعان البحار والمحيطات .
- تغيرات ناتجة عن اختلاف الخصائص الطبيعية للمياه .
- تغيرات ناتجة عن حركة المياه فى البحار والمحيطات .

## الفصل الأول

### أنماط التغيرات فى مناسيب البحار والمحيطات

تتعدد أسباب التغير فى مستوى سطح البحر ، ويمكن تصنيفها إلى عدة أنماط أهمها مايلي:

#### ١- تغيرات مناخية *Climatic Changes* :

يطلق على هذا النمط من ذبذبات مستوى سطح البحر تعبير التغيرات الإيوستاتية *Eustatic Changes* ، وهى تغيرات تحدث فى مستوى سطح البحر بسبب تراكم الجليد على اليابس ثم انصهاره وعودة مياهه إلى البحر ، ويمكن دراستها وتتبع آثارها وشواهداها على سواحل جميع المحيطات والبحار المفتوحة فى العالم ، ويمكن إجراء عمليات المقارنة والربط بين مستوياتها عن طريق ما خلفته من خطوط شواطئ أو أرصفة بحرية قديمة أو كثبان رملية حفريّة ، وتنقسم التغيرات إلى نوعين هما :

(أ) تغيرات جليدية /مائية "إيوستاتية" موجبة *Positive Eustatic Changes* تؤدى إلى ارتفاع مستوى سطح البحر نتيجة إنصهار جزء من الجليد المتراكم على اليابس المصاحب لارتفاع درجات حرارة الغلاف الجوى.

(ب) تغيرات جليدية /مائية "إيوستاتية" سالبة *Negative Eustatic Changes* تؤدى إلى انخفاض مستوى سطح البحر نتيجة تراكم كميات أكبر من الجليد على اليابس واحتباسها فوقه بسبب برودة الغلاف الجوى ، مما يؤدى إلى انخفاض مستوى سطح البحر .

#### ٢- تغيرات تكتونية *Tectonic Changes* :

وهى تغيرات تحدث فى مستوى سطح البحر نتيجة الحركات التكتونية المؤثرة فى قشرة الأرض ، سواء على اليابس أو على قيعان البحار والمحيطات ، وهى الأخرى تُصنّف إلى نمطين هما :

(أ) تغيرات تكتونية موجبة *Positive Tectonic Changes* أى حركات تكتونية تؤدى إلى ارتفاع مستوى سطح البحر ، وتشمل بروز الأشكال التضاريسية على أرضية البحار والمحيطات ، نتيجة النشاط التكتونى ، مثل تكوين الحواجز المحيطية الوسطى *Mid-Oceanic Ridges* ، والجبال البحرية *Sea-mounts* ، والهضاب البحرية *Marine Plateaus* ، والقمم البحرية المجدوعة *Guyots* ، أو تعرض قاع البحر لعمليات الرفع التدريجى . كما أن انخفاض اليابس مع ثبات قاع المحيط يؤدى إلى الارتفاع فى مستوى سطح البحر .

(ب) تغيرات تكتونية سالبة *Negative Tectonic Changes* أى حركات تكتونية تؤدى إلى انخفاض مستوى سطح البحر ، وتشمل تعرض قاع البحر لعمليات الهبوط التكتونى ، وتكوين الأحواض *Basins* ، والخنادق العميقة *Deep Sea Trenches* ، والخنادق البحرية *Submarine Canyon* . وقد تؤدى عمليات تمدد أو انتشار *Spreading* قيعان المحيطات التى تنتج عن حركة الألواح التكتونية الصلبة *Plate Tectonic Movement* إلى انخفاض مستوى سطح البحر بمعدلات تتفاوت بين ٠,٠٠٧ - ٠,٠١ مم/سنة (Hall, M., 1993) . كما أن ارتفاع اليابس مع ثبات قاع المحيط يؤدى إلى انخفاض مستوى سطح البحر.

### ٣-تغيرات جيوديسية *Geodetic Changes*

ينجم هذا النوع من تغيرات مستوى سطح البحر إلى أسباب تتعلق باختلاف الجاذبية الأرضية مثل تباين سرعة دوران الأرض حول محورها، أو انحراف محور الدوران ، أو اختلاف موقع القطبين .. وغيرها.

### ٤-تغيرات ناتجة عن تراكم الرواسب على قيعان البحار والمحيطات *Sedimento Changes*

يسهم تراكم الرواسب المستمر على قيعان البحار والمحيطات فى ارتفاع مستوى سطح البحر ، وهى ظواهر موضعية ولكن لها ردود فعل تكتونية ،تؤدى إلى تغيرات توازنية *Isostatic changes* وتتعدد مصادر هذه الرواسب فبعضها منقول من اليابس بعوامل التعرية مثل الأنهار ، والأودية الجليدية ، والرياح ، والأمواج ، ومنها ما ينتج عن تحلل الكائنات البحرية وترسبها على القاع ، أو صرف المخلفات البشرية التى تعرف طريقها نحو قاع البحر.

### ٥-تغيرات ناتجة عن اختلاف الخصائص الطبيعية للمياه :

يسهم اختلاف كثافة مياه البحار فى حدوث ذبذبات محلية مؤقتة فى مستوى سطح البحر ، فانخفاض كثافة المياه يؤدى إلى انخفاض قوى تماسك جزيئات المياه ، وبالتالي يرتفع منسوب سطح البحر (Emery,K.O & Aubrey,D.G., 1991).

كما يؤدى تفاوت نسب ملوحة مياه البحار إلى حدوث تغيرات طفيفة مؤقتة بين أجزاء المسطح البحرى الواحد ، تبلغ فى المتوسط حوالى ٥ سنتيمترات ، وقد تصل أحيانا لحوالى متر كامل فى بعض المسطحات البحرية مثل خليج البنغال والبحر الأصفر . كما يسهم اختلاف درجة حرارة المياه فى حدوث تغيرات فى مستوى مياه المسطح البحرى موسمياً ، بمعدلات تتباين بين بضعة سنتيمترات وحوالى ربع المتر ، وفى الواقع أن هناك ارتباطاً بين ارتفاع درجة حرارة المياه وارتفاع نسبة ملوحتها نتيجة زيادة التبخر ، وبالتالي زيادة كثافتها، مما يسهم فى انخفاض مستوى سطح البحر.

### ٦-تغيرات ناتجة عن حركة المياه فى البحار والمحيطات :

يحدث هذا النمط من تغير مستوى سطح البحر بصورة مؤقتة فى أحد أجزاء المسطح البحرى الواحد نتيجة حركة المياه وتدافعها من بقية أجزاء المسطح المائى ، وتحدث عن حركة تيارات المد والجزر *Tides* ، أمواج التسنمى *Tsunamis* ، ظاهرة النيو *Ni'o* التى تحدث فى جنوب المحيط الهادى نتيجة تباين درجات حرارة أجزائه ، مما يعمل على التفاوت الموسمى فى مستوى سطح البحر لمدى يصل لحوالى ١٥ سنتيمتراً (Hall, M., 1993).

وسوف نركز فى بحثنا هذا على تأثير النمط الأول من مسببات التغير فى مستوى سطح البحر، وهو التغيرات المناخية أو التغيرات الجليدية /المائية "الإيوستاتية" *Eustatic Changes* ، لأنه يعد أهم العوامل المؤثرة فى تذبذب مستوى البحار العالمية خلال الزمن الرابع ، كما تفيد دراسة هذا النوع من التغيرات - كما أسلفنا- فى الربط والمقارنة بين سواحل المسطحات البحرية المفتوحة فى العالم ، ويسهم فى دراسة خصائص المناخ القديم *Paleovegetation* بصورة غير مباشرة ، والغطاء النباتى القديم *Paleoclimatology* ، ومكونات التربة القديمة *Paleosoil* ، وغيرها من ملامح البيئة الطبيعية القديمة *Paleoenvironment* .

قراءات مختارة فى أنماط التغيرات فى مناسيب سطح البحر :

1. **BOWIN, C. (1986):**  
Topography at the core-mantle boundary. In: 'Geophysics of the core and core-mantle boundary'. Ed. by T. Lay . Geophys. Res. Lett. 13 (13), pages 1488ff.
2. **CLOETINGH, S., MCQUEEN, H. & LAMBECK, K. (1985):**  
On a tectonic mechanism for regional sealevel variations. Earth Planet. Sci. Lett. 75, 157-166.
3. **---- (1991):**  
Tectonic and sea-level change: a controversy? In: Controversies in Modern Geology. Ed. by DW Müller, JA McKenzie & DW Weissert. London: Academic Press, 490 p.
4. **EINSELE, G. (1992):**  
Sedimentary basins: evolution, facies and sedimentary budget. New York: Springer-Verlag, 628 p.
5. **EMERY, K.O. & AUBREY, D.G., 1991:**  
Sea levels, land levels, and tide gauges, New York, Springer-Verlag, 237 P.
6. **GALLOWAY, W.E. (1989):**  
Genetic stratigraphic sequences in basin analysis I: architecture and genesis of flooding-surface bounded depositional units. Am. Assoc. Pet. Geol. Bull. 73(2), 125-142.
7. **HALL, M., 1993:**  
Mechanisms of sea level change ,essay of BSc degree, University of Durham, in:  
[www.mam.ac.uk/Geology/research/BSG/Matth/essay.html](http://www.mam.ac.uk/Geology/research/BSG/Matth/essay.html)
8. **HAQ, B.U., HARDENBOL, J. & VAIL, P.R. (1987):**  
Chronology of fluctuating sea levels since the Triassic. Science 235, 1156ff.
9. **---- (1991):**  
Sequence stratigraphy, sea-level change and significance for the deep sea. Spec. Publs. int. Ass. Sediment. 12, 3-39.
10. **HAYS, J.D. & PITMAN III, W.C. (1973):**  
Lithospheric plate motion, sea level changes and climatic and ecological consequences. Nature 246, 18-22.
11. **JACOBS, D.K. & SAHAGIAN, D.L. (1993):**  
Climate-induced fluctuations in sea-level during non-glacial times. Nature 361, 710-712.
12. **LARSON, R.L. & OLSON, P. (1991):**  
Mantle plumes control magnetic reversal frequency. Earth and Planet. Sci. Lett. 107, 437-447.
13. **LASKAR, J., JOUTEL, F. & ROBUTEL, P. (1993):**

Stabilization of the Earth's obliquity by the Moon. *Nature* 361, 615-617.

**14. *MIALL, A.D. (1984):***

Principles of sedimentary basin analysis. New York: Springer-Verlag, 490 p.

**15. *MOORE, C.H. (1989):***

Developments in Sedimentology #46: Carbonate diagenesis and porosity. Amsterdam: Elsevier.

**16. *PITMAN III, W.C. (1978):***

Relationship between eustasy and stratigraphic sequences of passive margins. *Geol. Soc. Am. Bull.* 89, 1389-1403.

**17. ---- & *GOLOVCHENKO, X. (1983):***

The effect of sea-level change on the shelf edge and slope of passive margins. *Soc. Econ. Pal. Min. Spec. Publ.* 33, 41-58.

**18. *VAIL, P.R., MITCHUM Jr, R.M. & THOMPSON III, S. (1977):***

Global cycles of relative Changes of Sea level. *Am. Assoc. Pet. Geol. Mem.* 26, 83-97.

**19. *WILSON, R.C.L. (1991):***

Sequence Stratigraphy: an introduction. *Geoscientist* 1(1), 13-23.



## الفصل الثانى

### أساليب قياس تذبذب مستويات البحار العالمية

أ.د. محمد مجدى تراب

- أولاً : أساليب التأريخ المعملى .
- ثانياً : الأدلة والشواهد الجيومورفولوجية .
- ثالثاً : أساليب قياس مستوى سطح البحر بالأقمار الصناعية .

## الفصل الثانى

### أساليب قياس تذبذب مستويات البحار العالمية

تستخدم وسائل وأساليب متعددة فى قياس وتسجيل خصائص التغيرات البيئية التى حدثت لمناسيب البحار العالمية فى الزمن الرابع ، ولكن ينبغي الاعتماد على أكثر من أسلوب لتأكيد النتائج التى يتم التوصل إليها ، وقد حدث تطوير كبير فى أساليب التأريخ خلال الربع الأخير من القرن العشرين ، ويمكن تصنيف هذه الأساليب إلى ثلاثة أنماط : يتعلق الأول منها بأساليب التأريخ المعملى اعتماداً على نتائج تحليل الرواسب والمواد العضوية ، بصفة خاصة طرق قياس درجات الحرارة القديمة ، وطرق التأريخ بالاعتماد على التحلل الإشعاعى ، أما النمط الثانى فيضم الأدلة والشواهد الجيومورفولوجية التى تشير إلى التغيرات التى حدثت فى مستويات البحار والمحيطات ، ويختص النمط الثالث بأساليب قياس مستويات سطح البحر باستخدام الأقمار الصناعية :

#### أولاً : أساليب التأريخ المعملى :

١-دراسة البقايا الحيوية القديمة *Paleoecological Evidence* مثل تحليل حبوب اللقاح المحفوظة فى الرواسب : وتشير نتائج هذا التحليل إلى أنواع النباتات التى كانت سائدة ، ودراسة الظروف البيئية القديمة مثل خصائص عناصر المناخ ونوع التربة ، ويتم فحص حبوب اللقاح بواسطة مجهر إلكترونى قوى ، كما تستخدم الحلقات الشجرية والحفريات النباتية الدقيقة وبقايا الحيوانات والحشرات فى تقدير عمر الرواسب المحفوظة فيها ، وتصلح هذه الأساليب لتأريخ الرواسب التابعة للهولوسين (محمود عاشور ، ١٩٩٦ ص ١٠).

٢- تعتمد أساليب التأريخ بالتحلل الإشعاعى على قياس كمية العناصر التى تفقد بالإشعاع ، وأهمها: طريقة كربون ١٤  $C-14$  ، التى تستخدم على نطاق واسع فى تقدير أعمار المواد العضوية مثل اللبّد النباتى *Peat* ، والأخشاب المتحجرة والرخويات ولكن تقل دقة هذا الأسلوب فى تأريخ المواد التى تتعدى أعمارها ٤٠.٠٠٠ سنة . كما يستخدم كربون ١٣ فى تقدير أعمار رواسب الكربونات *C-13 in Carbonates* ، أما أكسجين ١٨ فيستخدم فى تأريخ الرواسب الجليدية التابعة لأواخر البلايستوسين *O-18 in Glacial ice during late Pleistocene* . ولكن تتعرض هذه الأساليب لإمكانية حدوث أخطاء نتيجة تلوث العينات بالأحماض العضوية ، أو تسرب المحاليل من الطبقات الأعلى . وخلال الربع الأخير من القرن العشرين طُبقت طرق أخرى فى قياس التحلل الإشعاعى *Radiocarbon Dating* مثل الصوديوم واليورانيوم والثوريوم والأرجون ، واستخدمت فى تأريخ بعض الرخويات والمرجانيات التى يرجع عمرها لفترات تصل إلى ٢٠٠.٠٠٠ سنة.

٣- تحليل نسبة الانبعاث الحرارى للرواسب *TL Thermoluminescence* ، ويفيد هذا الأسلوب فى تقدير عمر الرواسب التى تتباين أعمارها بين ٤٠.٠٠٠ - ٣٠٠.٠٠٠ سنة ، بدقة تتراوح بين ١٠ - ٥٠% بالمقارنة بأساليب التأريخ الأخرى ، ويعتمد هذا الأسلوب فى تقدير العمر النسبى للرواسب على قياس عدد الإلكترونات المفقودة من التركيب الذرى للمعادن المكونة للرواسب نتيجة فقد الطاقة المصاحبة لانبعاث أشعة ألفا  $\alpha$  وبيتا  $\beta$  وجاما  $\gamma$  . (Berger, G. W., 1988, pp.13-50).

٤- تقدير نسبة الأحماض الأمينية *Amino Acids* المتبقية في عظام الحيوانات والأصداف البحرية والأخشاب المتحجرة وخاصة نسبة حمض الاسبرتيك *Aspartic Acid* الذى يوجد عادة في البروتينات، ويطلق على هذا الأسلوب اسم *D / L Ratio* وهو يلائم تأريخ البيئة الترسيبية لفترات تصل لحوالى ١٠٠.٠٠٠ سنة (Rutter, N.W. 1988, pp.51-68), وبدأ استخدام هذا الأسلوب من منتصف القرن العشرين حينما لاحظ الجيولوجى الأمريكى "أبلسن" وجود بقايا للأحماض الأمينية والبروتينات في عينات من العظام والأصداف (Abelson, P.H., 1954, pp.97-101).

٥- قياس التتابع الأمينى *Aminostratigraphy* في بقايا الرخويات البحرية، واقترح "ميلر وهار" هذا الأسلوب لأول مرة عام ١٩٨٠ (Miller, G.H., & Hare, P.E., 1980, pp.415-444)، وهو أحد تطبيقات تحليل *D / L Ratio* لقياس نسب الانبعاث الحرارى من المواد المكونة للرخويات منذ موتها وحتى تاريخ إجراء التحليل عليها.

٦- قياس المغناطيسية القديمة *Paleomagnetism* في الرواسب، ويستخدم هذا الأسلوب في المقارنة والربط بين نتائج التأريخ النسبى للرواسب بمضاهاتها بالعينات المجمعة من مصادر أخرى، لأنه لا يحسب العمر التقريبي بالسنوات مثل الأساليب الأخرى (Easterbrook, J. D., 1988, pp.111-122).

٧- نظم الترسيب القديمة في قاع البحر باستخدام حفر الآبار والقطاعات السيزمية.  
*Sedimentary basin architecture derived from: Boring and Seismic Sections.*

وذلك بجمع عينات من قيعان البحار والمحيطات، لأنها تحتفظ بسجل استراتيجرافى *Stratigraphic Record* منتظم لتتابع نظم الترسيب، على الرغم من احتمالية تعرضها للأحداث التكتونية، وتستخدم في تأريخها الوسائل السابقة سواء بتحليل محتوياتها من الأحماض الأمينية، أو الانبعاث الحرارى، أو معدلات التحلل الإشعاعى، أو قياس المغناطيسية القديمة.

### ثانياً : الأدلة والشواهد الجيومورفولوجية :

١- التعرف على مناسيب المدرجات البحرية القديمة *Marine Terraces*، ودراسة خصائص السلاسل التلالية الساحلية المتصلبة، ودراسة مدرجات الشعاب المرجانية *Dating of Coral Reef Terraces* وربط ومضاهاة مناسيبها بمستويات المدرجات الأخرى سواء المتاخمة لها، أو في مناطق أخرى مظلة على المسطحات البحرية المفتوحة (أشكال ١-١، ٢-١، وصور من ١-١ إلى ٤-١)، ويمكن التعرف على بقايا المدرجات البحرية ميدانياً من خلال الشواهد الآتية :

(أ) تساوى مناسيبها بمستويات المدرجات المنتشرة على السواحل المتاخمة لها التى سبق دراستها.

(ب) تتميز بقايا المدرجات البحرية بإستواء أسطحها مع وجود إنحدار خفيف في إتجاه البحر.

<sup>١</sup> يقصد بهذا التعبير *D/L Ratio : The Ratio of Dextro to Levro Stereoisomers* أى نسبة الجزيئات المتيامنة إلى الجزيئات المتياسرة.

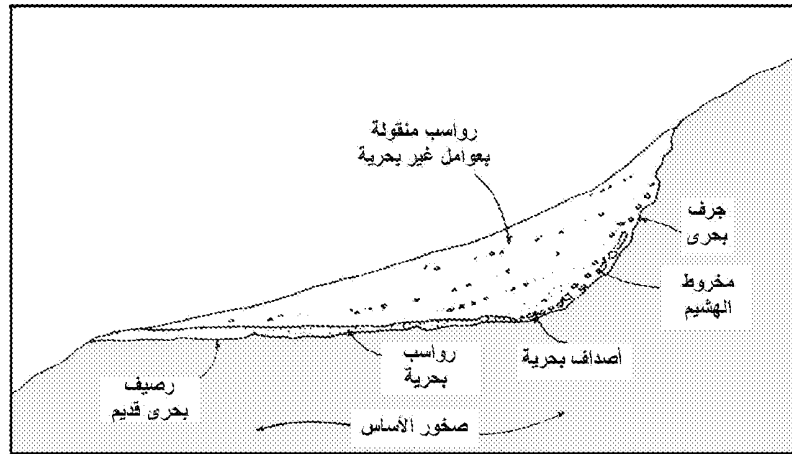
(ت) تبدو مقدمات المدرجات شديدة الانحدار ومتأثرة بآثر النحت البحرى القديم مثل الفجوات البحرية *Notches* والكهوف *Marine Caves* والتكهفات الناتجة عن الفعل التحتائى للأمواج خلال فترات تشكيل هذه المدرجات .

(ث) تنتشر الرواسب السطحية المتبقية عن عمليات الترسيب القديمة على أسطح المدرجات البحرية ، ويمكن تحليل بقايا هذه الرواسب معملياً بهدف تأريخها ، أى التعرف على الفترات الزمنية لتكوين هذه المدرجات البحرية ، وذلك من خلال تحليل أحجام حبيبات رواسبها ، ودراسة تركيبها المعدنى .

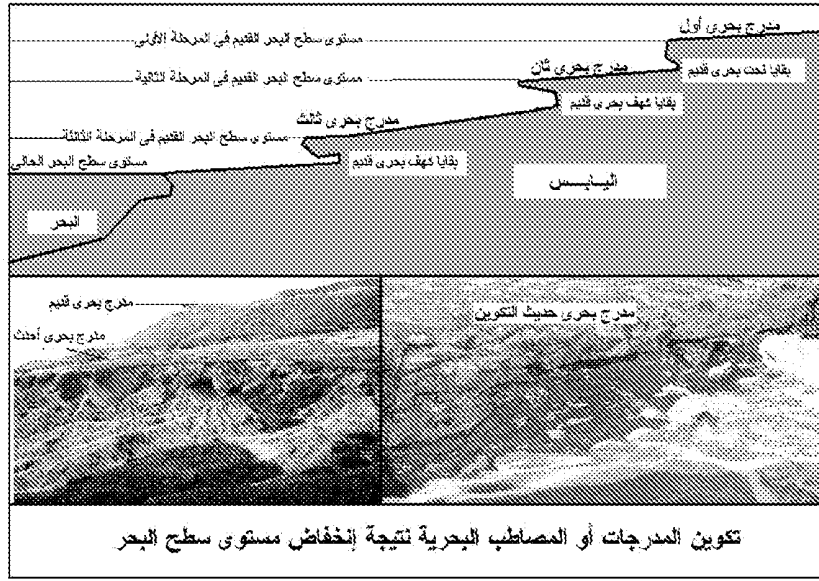
(ج) تتبعثر على أسطح المدرجات أيضاً بقايا الحفريات البحرية، وتشمل الأصداف ومكسوراتها وبقايا الرخويات والطحالب و تفيد دراسة هذه الحفريات فى إدراك الخصائص الطبيعية للمسطح البحرى خلال فترة تماثل منسوبه مع مستوى المدرج القديم ، إذ يرتبط كل نوع أو عائلة من الحفريات البحرية بظروف طبيعية تتكيف معها ، فتوجد أنواع من الكائنات البحرية كانت تعيش فى المسطحات البحرية العميقة ، وأنواع أخرى كانت تتأقلم مع ظروف البيئة البحرية الضحلة ، وأنواع ثالثة تتكيف مع ظروف المياه شديدة الملوحة ، ورابعة مع المياه المويحلة عند مصبات الأنهار .

(ح) الأشكال الجيومورفولوجية المتخلفة عن النحت البحرى القديم مثل: المسلات ، الكهوف ، الفجوات ، والأقواس البحرية ، التى تنتشر إما على مستويات مرتفعة لا تطاولها هجمات أمواج البحر فى الوقت الحاضر، أو تتبعثر على شواطئ رملية *Sand Beaches* تدل على تغيير الظروف الطبيعية للمنطقة الساحلية وتحولها للترسيب بعد إنخفاض مستوى سطح البحر ( صور من ٢-٥ إلى ٢-٨).

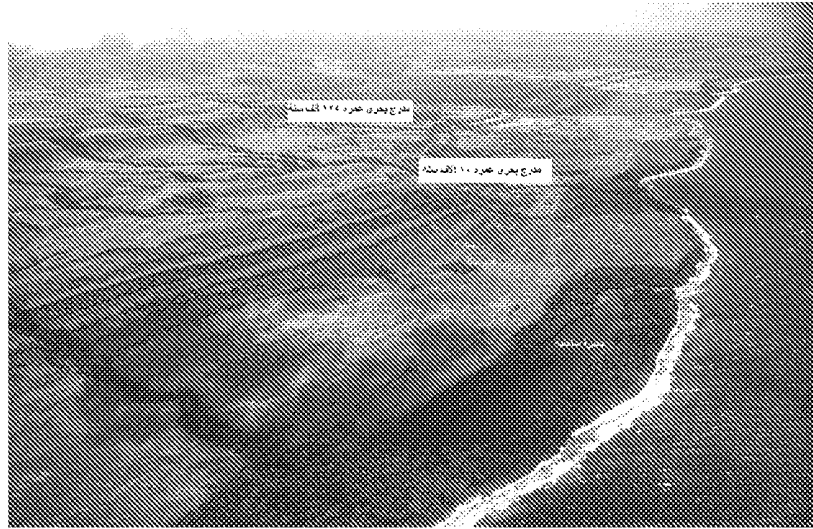
٢- دراسة تأثير تذبذب مستوى سطح البحر على شبكات التصريف المائى المرتبطة بمستوى القاعدة العام *General Base Level* ، من خلال دراسة مستويات المدرجات النهرية ونقاط تجديد الشباب *River Terraces and Knick-Points*، راجع (صورة ٢-٩ ) التى تبين إحدى نقاط تجديد الشباب بوادى الحابس بالساحل الشمالى الغربى لمصر، (وصور ٢-١٠ و ٢-١١) التى توضح مصاطب الأودية التى تظهر على جانبى وادى دبا بالإمارات العربية المتحدة الناتجة عن إنخفاض مستوى خليج عُمان الذى يمثل مستوى القاعدة العام لهذا الوادى .



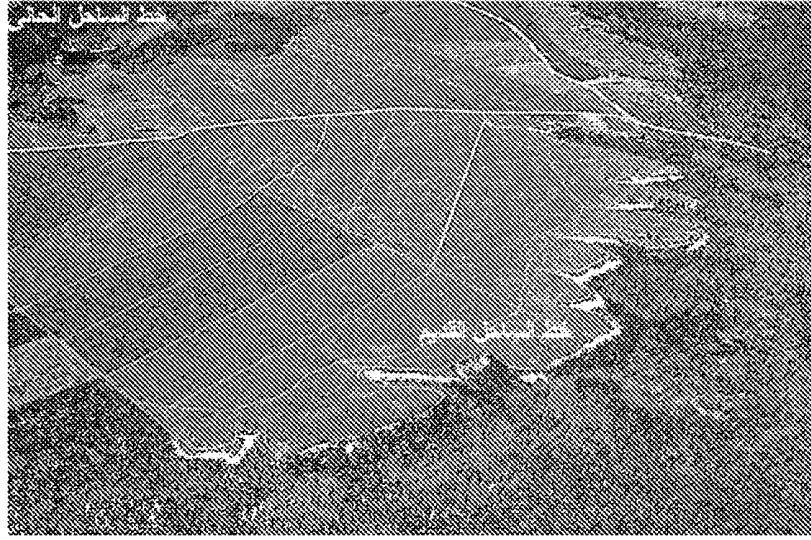
شكل ( ١-٢ ) عناصر المدرج البحرى القديم



شكل ( ٢-٢ ) تكوين المدرجات البحرية



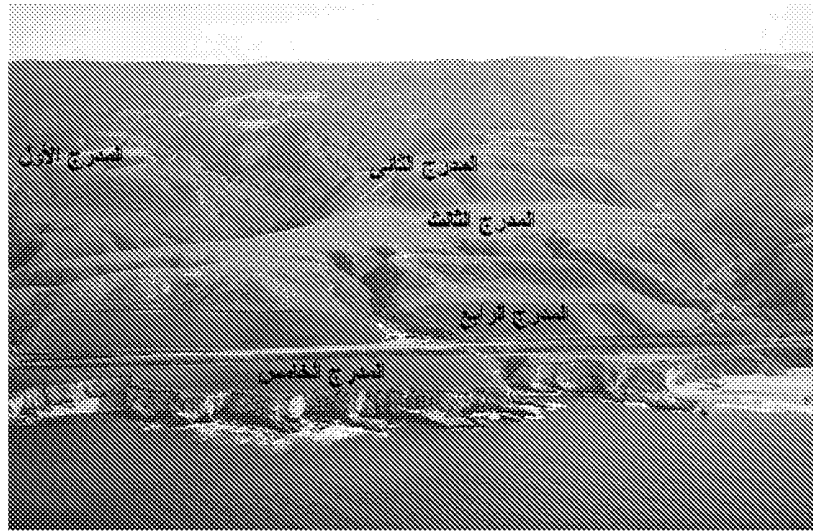
صورة (١-٢) مدرجان من الشعاب المرجانية تكونا على ساحل شبه جزيرة "Huon" في  
نيو غينيا ، عمر المدرج العلوى ٢٥٠ ألف سنة ،  
وعمر المدرج السفلى ١٣٠ ألف سنة



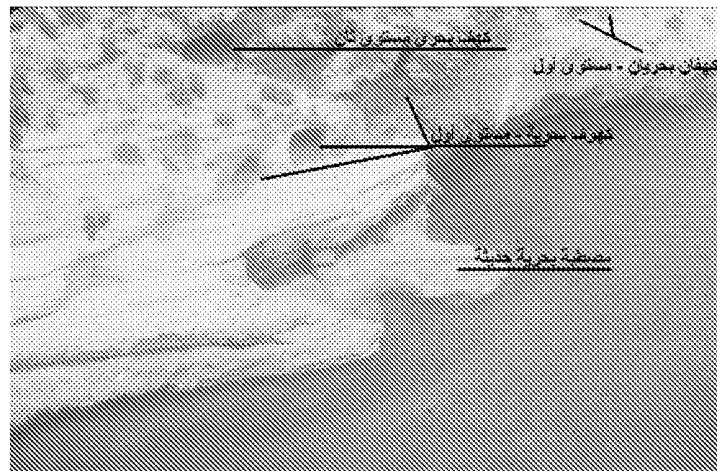
صورة ( ٢-٢ ) صورة جوية مائلة لدرجة بحرية على  
سواحل جنوب فرنسا غربى "نيس"



صورة (٣-٢) مدرج بحرى يشير لمستوى سطح البحر القديم ، ورصيف بحرى تحاتى حديث  
التكوين نتيجة الفعل الهيدروليكي للأمواج.



صورة (٤-٢) خمسة مدرجات بحرية متتابعة على ساحل سانت كروز المطل على المحيط الأطلسي - الأرجنتين



صورة (٥-٢) مجموعة من الكهوف البحرية المتتابعة المستويات تشير إلى إنخفاض مستوى سطح البحر ثلاث مرات - منطقة الاثرون في ليبيا



صورة (٦-٢) كهف بحري على ساحل منطقة خور فكان  
الساحل الشرقي لدولة الإمارات



صورة (٧-٢) مسلة بحرية متبقية عن مستوى سطح البحر القديم  
تكونت بالنحت قبل تعرضه للإنخفاض - الساحل الشرقي للأرجنتين

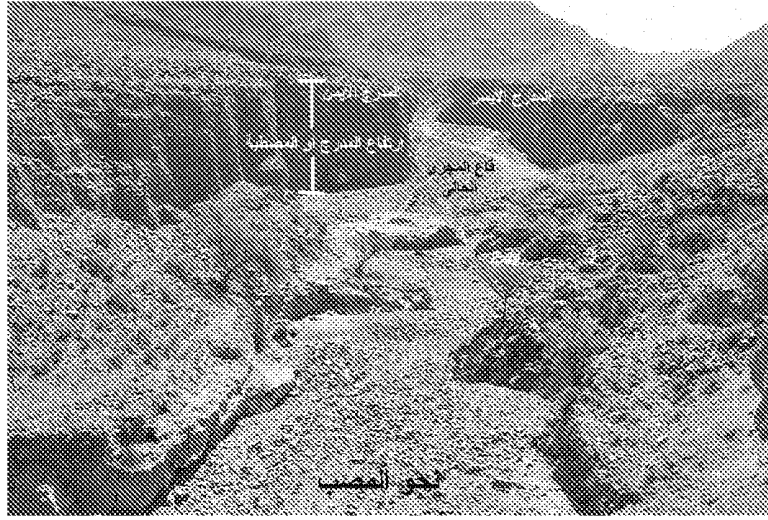




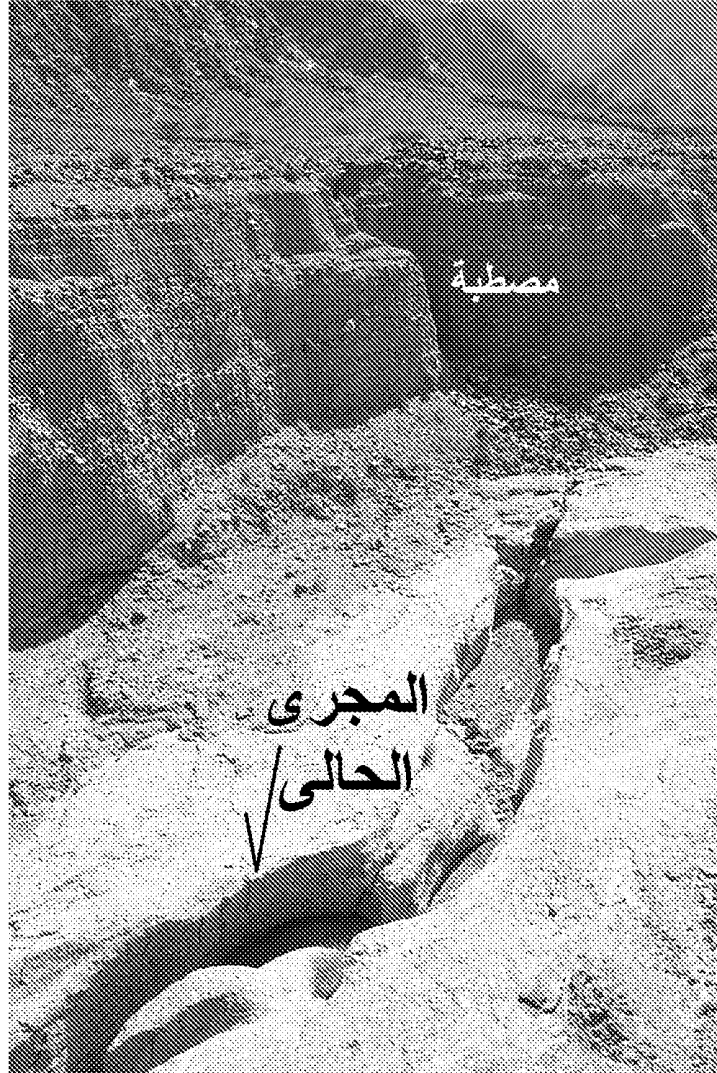
صورة (٨ - ٢) قوس بحري ناتج عن النحت البحري القديم  
قبل تراجع البحر وانخفاض منسوبه



صورة (٩ - ٢) نقطة تجديد شباب (شلال) يظهر على قاع نهر أبو علي - ساحل البحر المتوسط  
شرقي مدينة طرابلس في لبنان



صورة (١٠-٢) مصاطب جوانب وادي دبا بالإمارات العربية المتحدة  
الناتجة عن إنخفاض مستوى القاعدة العام

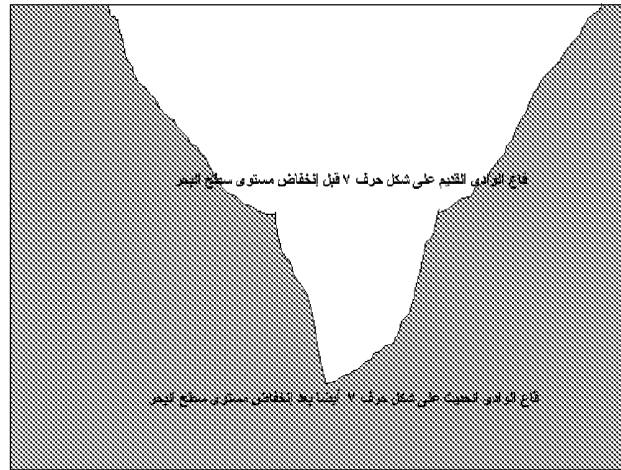


صورة (١١-٢) التعميق الرأسى لقاع وادى دبا  
الناتج عن إنخفاض مستوى خليج عُمان خلال الزمن الرابع

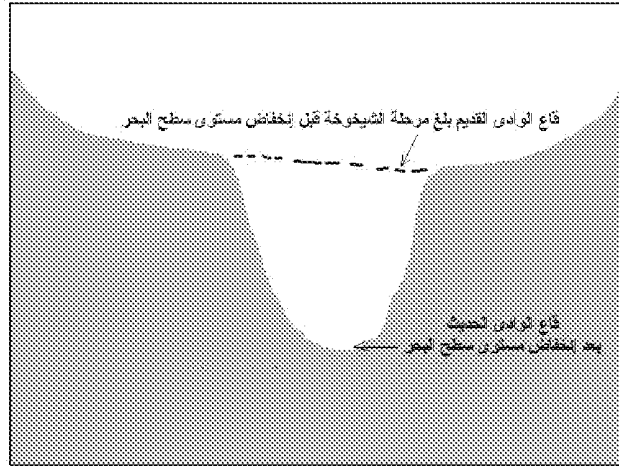
٣- دراسة خصائص شبكات التصريف المائى القديمة *Paleochannels* من حيث تطور أنماط نظمها المائية *Drainage Patterns* ، وتغير أشكال قنواتها المائية *Channels Shape* ، ودرجة تعرجها *Sinuosity Ratio* ، وتطور المنعطفات النهرية القديمة *Paleomeanders* ، ومدى تأثيرها بالتذبذب فى مستوى سطح البحر من خلال دراسة المنعطفات النهرية المتعمقة *Incised Meanders* وهى تنقسم إلى نمطين هما:

- ظهور المقطع العرضى على شكل وادٍ ضيق داخل وادٍ ضيق *V in V Shape* التى تتكون فى حالة تأثير وادٍ لازال فى مرحلة الشباب بانخفاض مستوى القاعدة العام وتعميقه رأسياً (شكل ٣-٢) .

- ظهور المقطع العرضى على شكل وادٍ ضيق داخل وادٍ متسع *V in U Shape* التى تتكون فى حالة تأثير وادٍ بلغ مرحلة الشيخوخة بانخفاض مستوى القاعدة العام وتعميقه رأسياً ( أشكال ٤-٢ و ٥-٢ و صورة ١٢-٢) .



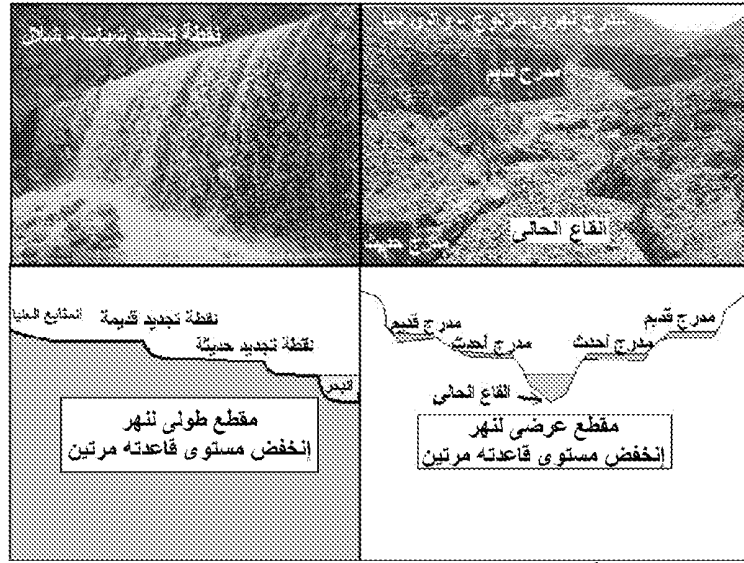
شكل (٣-٢) تأثير إنخفاض مستوى سطح البحر على المقاطع العرضية للأودية التى لازالت فى مرحلة الشباب.



شكل (٢-٤) تأثير انخفاض مستوى سطح البحر على المقاطع العرضية للأودية التي بلغت مرحلة الشيخوخة



صورة (٢-١٢) مقطع عرضي في نهر العاصي لا يتناسب مجراه المتسع مع ظروف تغير المناخ وانخفاض كميات الأمطار الساقطة على المنطقة.



شكل (٢-٥) تأثير إنخفاض مستوى سطح البحر على المقطع العرضي والمقطع الطولي للنهر

٤ - دراسة شواهد وأدلة المناخ القديم وتشمل درجة الحرارة القديمة والخصائص الهيدرولوجية القديمة *Paleo-temperature and Paleo-hydrological Evidence* التي تفيد في تتبع مستويات سطح البحر، مثل دراسة النظام الفيضي القديم للأنهار *Paleo-flood and Paleo-hydrological analysis*، ودراسة النظام الرسوبي القديم للمياه الراكدة في مجارى الأنهار والبحيرات القديمة *Paleo-sedimentology of Slackwater and Lakes Deposits* (الرواسب البحيرية) *Lacustrine Deposits*، ودراسة تصرفات المياه القديمة بالأنهار *Paleo-discharge* وعلاقتها بتذبذب مستوى سطح البحر، من خلال التحليل المعملى لأحجام وأشكال الرواسب المجمعة من قيعان المجارى المائية الحالية، وأسطح المدرجات النهرية، بالإضافة إلى دراسة النظام الرسوبي للدالات النهرية *Paleo-sedimentology* من خلال فحص وتحليل الرواسب المتعاقبة بالعمود الجيولوجى *Litho-stratigraphy of Deposits*، وربطها بالأدلة والشواهد الأخرى.

كما تفيد دراسة خصائص الكتبان الرملية الحفرية *Calcarenites* والخرافيش *Yardang* في التعرف على اتجاهات الرياح وكميات التساقط القديمة، وميز الباحث هذا النوع من الكتبان الحفرية على الحافة الشمالية للجبل الأخضر في ليبيا شرقى مدينة سوسة، مما يشير إلى سيادة ظروف المناخ الجاف مما ساهم في ترسيب الكتبان الرملية، ثم تحول المناخ للرطوبة مما أدى إلى تصلبها.

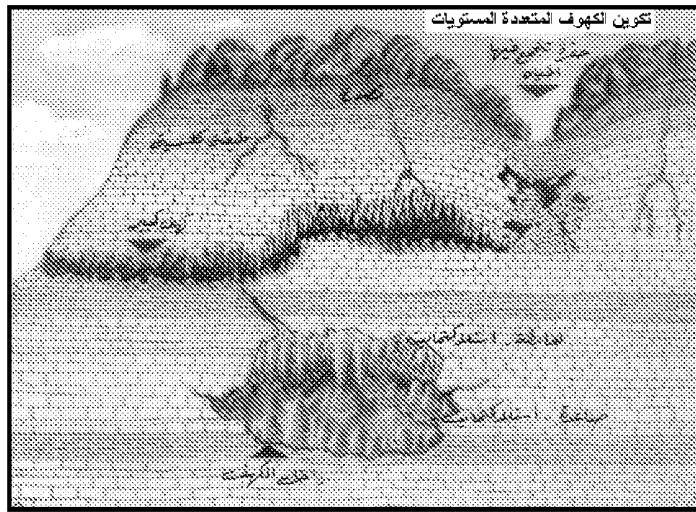
٥ - دراسة مستويات المياه الجوفية القديمة *Paleo-groundwater* الناتجة عن تذبذب مستويات سطح البحر، ووضع نماذج رقمية تعتمد على نتائج التحليل المعملى لخواصها الرسوبية التي سبق تناولها، وتستخدم هذه النماذج في دراسة معدلات تغير سرعة انسياب وحرارة المياه الجوفية القديمة.

*Numerical-Model of groundwater – Flow and Heat- Transfer and its Application to the Paleo-hydrology of Sedimentary Basins.*

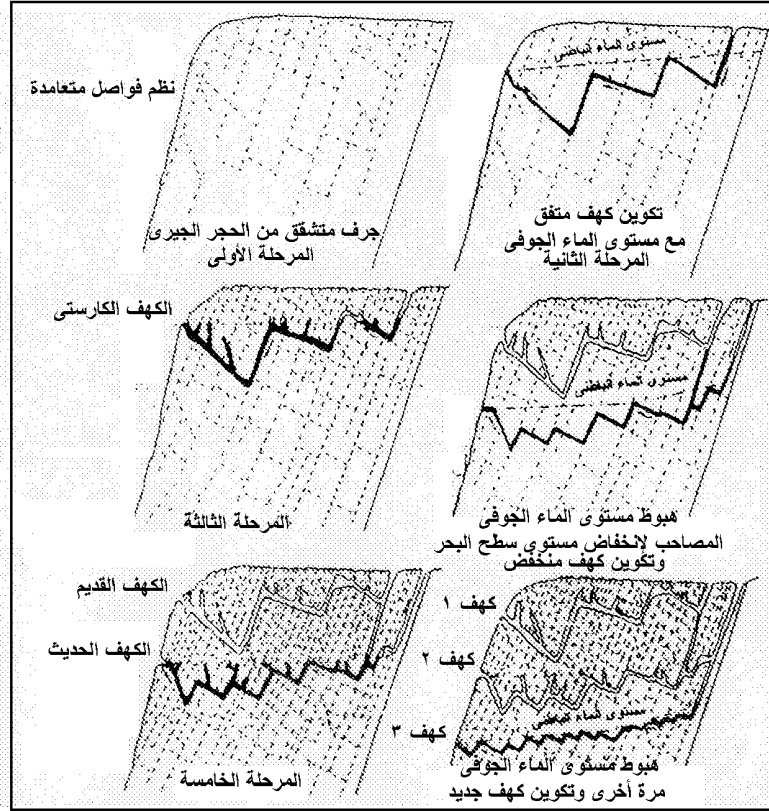
كما يمكن التعرف على مستويات المياه الجوفية وخصائصها الهيدرولوجية القديمة بصورة غير مباشرة من خلال دراسة الأشكال الجيومورفولوجية الآتية:

(أ) كهوف الكارست *Karst Caves* متعددة المستويات نتيجة توالى انخفاض مستوى الماء الجوفي المصاحب لفترات الجفاف (المتزامنة مع فترات الدفاء في العروض العليا) ، وأتيحت للباحث فرصة دراسة كهف الشقية - بمنطقة الجبل الأخضر بليبيا - الذى يتكون من ثلاثة مستويات ترتبط بثلاث نقاط تجديد شباب تظهر على قاع وادى درنة الذى يخترق مرتفعات الجبل الأخضر قبل أن يلقى بحمولته فى البحر المتوسط (أشكال ٢-٦ و ٧-٢) .

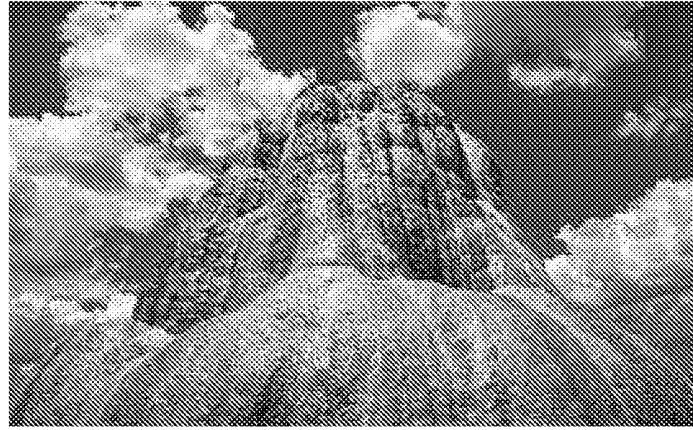
(ب) رواسب التوفا *Residual Tofa Deposites* المتبقية عن الينابيع القديمة والتي تسهم فى إمكانية دراسة خصائصها الهيدروولوجية ، ونوعية مياهها ، وطبيعة الطبقات الحاملة للمياه ، ومستويات الماء الجوفى القديم (صور ٢-١٣ و ٢-١٤) .



شكل (٦-٢) كهوف الكارست متعددة المستويات نتيجة الانخفاض المتوالى فى مستوى الماء الجوفى المرتبط بتذبذب منسوب سطح البحر.



شكل (٢-٧) مراحل تطور كهف الشقية بالجزء الأعلى من وادي درنة- الجبل الأخضر بليبيا  
(لاحظ تذبذب مستوى الماء الباطني من المستوى ١ إلى المستوى ٣ نتيجة لفترات الجفاف)



صورة (٢-١٣) رواسب التufa القبابية الشكل المتبقية  
عن إحدى العيون أو الينابيع الجافة



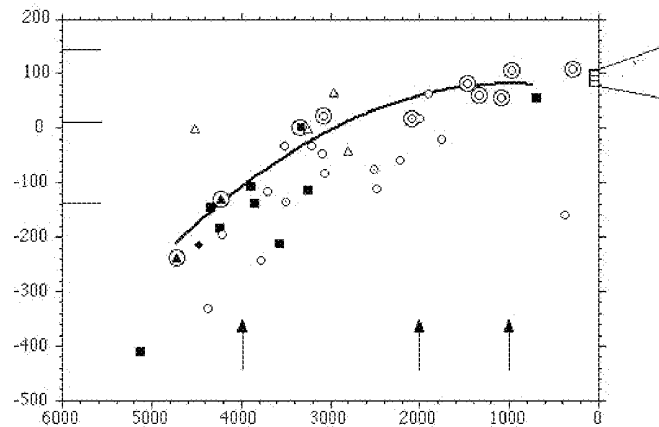
صورة (٢-١٤) ينبوع متدفق بالمياه الحارة المحتوية على رواسب الترافرتين مكونة مجموعات متتالية من المدرجات - دنزلى بجنوب تركيا

ثالثاً : أساليب قياس مستوى سطح البحر باستخدام الأقمار الصناعية :

#### ١- القياس الجيوديسى لمستويات المد والجزر :

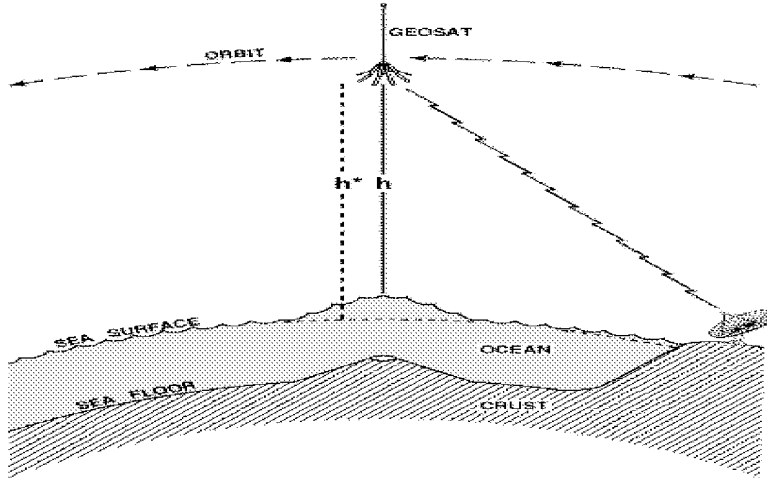
*Global Tide Gauge Sea Geodetic Fixing of Tide Gauge Bench marks Level Data by*

باستخدام الأقمار الصناعية التى تقوم بتحديد الموقع الفلكى *GPS* ، وذلك عن طريق مقارنة مستويات المد والجزر الحالية بمستويات بقايا أرصفة المد والجزر القديمة ، وبصفة خاصة على هوامش البحيرات الساحلية *Lagoons* ، والخلجان *Marine Bays* ، والمداخل البحرية *Marine Inlets* ، وأرصفة الشعاب المرجانية *Coral Reef Terraces* ، ويستخدم هذا الأسلوب فى تقدير مستويات سطح البحر القديمة ( شكل ٢-٨ ) .





شكل ( ٨-٢ ) نموذج للقياس الجيوديسي لمستويات المد والجزر بسواحل ولاية "مين" Maine بالولايات المتحدة الأمريكية المطة على المحيط الأطلسي  
(After: Kelley, J.T., et al, 1996)



شكل (٩-٢) كيفية القياس الألتيمترى لمستوى سطح البحر من الأقمار الصناعية *Altimetric Satellites* ، بتطبيق المعادلة الآتية :  $\text{Change in Sea Level} = h^* - h$   
(After: Wolf, D., 1985, PP.768-773)

٢- القياس الألتيمترى لمستوى سطح البحر الحالى من الأقمار الصناعية *Altimetric Satellites* عن طريق إرسال موجات كهرومغناطيسية من القمر الصناعى فى اتجاه سطح البحر ، وإعادة استقبالها مرة أخرى بعد انعكاسها على سطح المياه ، ويتم تقدير مستوى سطح البحر بحساب الفترة الزمنية لإنعكاس هذه الموجات إلى القمر الصناعى (شكل ٩-٢) . وتستخدم هذه القياسات فى بناء قواعد بيانات الزمنية اللازمة لانعكاس الأشعة المرتدة من المسطح البحرى نحو القمر يمكن الرجوع لها عند دراسة التغيرات فى مستوى سطح البحر التى تحدث خلال فترات زمنية محدودة *Global Sea Level Changes from Altimetry* ، وأهم هذه النظم ما يلى :

- (أ) نظام *TOREX/POSEIDON Altimeter Data* (Nerem, R.S., 1995).  
(ب) نظام *GeoSat Altimeter* (Tapley, B.D, et al., 1992).

## قرارات مُختارة فى أساليب دراسة تغير مناسيب سطح البحر :

محمود محمد عاشور ، التغيرات البيئية ، مترجم عن أندرو جودى ، مراجعة نبيل سيد امبابي ، ١٩٩٦ ، المجلس الأعلى للثقافة ، المشروع القومى للترجمة، القاهرة ، ٣٣٠ ص .  
يناقش هذا الكتاب العديد من قضايا التغيرات البيئية : أساليب الدراسة ، ملامح التغيرات البيئية وتذبذب مستوى سطح البحر ، أسباب التغير المناخى

*Abelson, P.H., 1954, Organic constituents of fossils; Carnegie Institute of Washington Yearbook, v.53, pp.97-101.*

أول من لاحظ وجود بقايا للأحماض الأمينية والبروتينات فى عينات من العظام والأصداف واستخدمها فى تأريخ الرواسب .

*Berger, G., 1988, Dating Quaternary events by luminescence, in Easterbrook, D.I., Dating Quaternary sediments, The Geological Society of America, Special paper no.227, 13-50.*

يهتم هذا البحث بأساليب التأريخ بالانبعاث الحرارى للرواسب .

*Bradley, R.S. 1985. Quaternary Paleoclimatology: Methods of Paleoclimatic Reconstruction. Chapman and Hall: London, 472 p.*

يبرز هذا الكتاب طرق وأساليب دراسة مناخ الزمن الرابع .

*Easterbrook, J. D., 1988, Paleomagnetism of Quaternary deposits, in: Easterbrook, D.I., Dating Quaternary sediments, The Geological Society of America, Special paper no.227, 111-122.*

استخدم هذا البحث أسلوب قياس المغناطيسية القديمة فى التأريخ النسبى للرواسب.

*Kelley, I.T., Dickson, S.M. and Belknap, D., 1996, Maine' History of Sea Level Changes, Natural Resources Information and Mapping Center, Special Publication.*

يناقش هذا البحث طريقة القياس الجيوديسى لمستويات المد والجزر باستخدام الأقمار الصناعية ، مع التطبيق على سواحل ولاية "مين" Maine بالولايات المتحدة الأمريكية المظلة على المحيط الأطلسى .

*Rutter, N. W., and Vlahos, C. K., 1988, Amino acid racemization kinetic in wood; Applications to geochronology and geothermometry, , ed., in Easterbrook, D.I., Dating Quaternary sediments, The Geological Society of America, Special paper no.227, 51-68.*

يتناول هذا البحث أساليب التأريخ بتقدير نسبة الأحماض الأمينية المتبقية فى عظام الحيوانات والأصداف البحرية والأخشاب المتحجرة .

Miller, G. H., & Hare, P. E., 1980, *Amino acid geochronology; Integrity of the carbonatic matrix and potential molluscan fossils*, in Hare, P. E., Hoering, T. C., and King, K. Jr., eds., *Biogeochemistry of amino acids*; New York, Jon Wiley & Sons, pp.415-444.

يعد هذا البحث أول من اقترح استخدام أسلوب التأريخ بتقدير نسبة الأحماض الأمينية في الكربونات وبقايا الرخويات .

Nerem, R. S., 1995, *Global Mean Sea Level Variations from TOPEX/POSEIDON Altimeter Data*, *Science*, 268, pp. 708-710.

يناقش هذا البحث أساليب استخدام القياس الألتيمترى لمستوى سطح البحر الحالي من الأقمار الصناعية بنظام TOPEX / POSIDON .

Tapley, B.D, Shum, C. K., Rise, J., Suter., R., and Schutz, B. E., 1992, *Monitoring Changes in Global mean sea level using Geosat Altimeter in sea level changes : Determination and effects*, *Geophysical monograph* 69, IUGG v.11, AGU.

يستخدم البحث نظام القمر الصناعي Geosat في قياس مستوى سطح البحر.

Wehimiller, J.F., Belknap, D. F., Boutin, B S., Mirecki, J. E., Rahamin, S, D., and York, L. L., 1988, *A Review of the aminostratigraphy of Quaternary mollusks from United States Atlantic Coastal Plain sites*, in Easterbrook, D.I., ed., *Dating Quaternary sediments*, *The Geological Society of America, Special paper no.227*, 69-110 .

يعتمد هذا البحث على قياس التتابع الأميني لبقايا الرخويات البحرية واستخدامها في تأريخ رواسب الزمن الرابع ، مع التطبيق على مواضع مختارة من السهل الساحلى الشرقى للولايات المتحدة الأمريكية .

Wolf, D., 1985, *An improved estimate of lithospheric thickness based on a reinterpretation of tilt data from Pliocene Lake Algonquin*, *Can. J. Earth Sci.*, 22, 768-773.

يوضح هذا البحث أسلوب القياس الألتيمترى لمستوى سطح البحر من الأقمار الصناعية من خلال دراسة قدمت لقياس سمك الغلاف الصخري لكوكب الأرض مع التطبيق على بقايا بحيرة "ألجونكن" البلايستوسينية في كندا.

### الفصل الثالث

نتائج أهم الدراسات التي تناولت ظواهر التغير في مستويات البحار العالمية خلال  
الزمن الرابع

أ.د. محمد مجدى تراب

- أولاً : تغيرات عصر البلايستوسين .
- ثانياً : تغيرات عصر الهولوسين .
- ثالثاً : التغيرات المعاصرة.

### الفصل الثالث

## نتائج أهم الدراسات التي تناولت ظواهر التغير في مستويات البحار العالمية منذ بداية الزمن الرابع

تعرض مستوى البحر خلال التاريخ الجيولوجي لكوكب الأرض لعدد من الذبذبات أمكن رصدها ، وتحديد مناسبتها ، وتأريخها باستخدام الوسائل والطرق التي تناولناها في الفصل الأول ، وكانت محاولات الباحثين تقتصر خلال النصف الأول من القرن العشرين على دراسة بقايا خطوط السواحل المرتفعة ، لسهولة التعرف على شواهدا وتحليل بقاياها معملياً ، نظراً لصعوبة جمع البيانات عن خطوط السواحل الغارقة ، ولكن مع تطور تقنيات حفر الآبار العميقة *Boring* ، واستخدام وسائل سبر الأعماق بصدى الصوت *Echo-Sound* ، والتصوير الراداري بالأقمار الصناعية *Radar Satellite* ، تمكن الباحثون من دراسة خصائص الرفوف القارية *Continental Shelves* ، والأشكال الجيومورفولوجية الغارقة مثل سواحل "الرياس" *Rias Shores* ، والمصببات الخليجية *Estuaries* ، ومقدمات الدالات النهرية *Front Delta* ، وأفادت هذه الأساليب كثيراً في رسم خطوط السواحل المغمورة تحت سطح البحر ، وتأريخ عمرها ، وتخطيطها جيومورفولوجياً .

وسوف نعرض أهم نتائج الدراسات التي تناولت مظاهر التغيرات في مستوى البحر من خلال تتبع المراحل التاريخية لهذه التغيرات منذ بداية الزمن الرابع حتى الوقت الحاضر ، ثم استعراض نتائج أهم الدراسات التي حاولت التوقع بالتغيرات المستقبلية في مستويات البحار العالمية :

**أولاً: تغيرات مستوى سطح البحر خلال عصر البلايستوسين *Pleistocene***  
تعرض العديد من البحوث والدراسات لرصد وتسجيل ملامح التغيرات التي حدثت لمستويات البحار العالمية خلال الزمن الرابع وفيما يلي عرض لأهم نتائجها :

#### ١ - التحديد الزمني لبداية الزمن الرابع :

قامت جامعة كامبردج *Cambridge University* بعمل مشروع بحثي دولي استمرت أعماله لمدة ٤٠ عاماً ، بهدف تحديد بداية الزمن الرابع أي عصر البلايستوسين ، تم خلالها جمع وتحليل عدد كبير من عينات الرواسب من قيعان المسطحات البحرية في أجزاء الكرة الأرضية ، وتطبيق أساليب التأريخ الآتية :

- تحليل رواسب قاع البحر العميقة *Deep-water deposits* .
- التتابع الاستراتيجرافي للكائنات الحية الدقيقة الطافية "البلانكتون" *Planktonic Biostratigraphy* التي كانت تعيش طافية فوق مياه البحار القديمة .
- التتابع الاستراتيجرافي للمغناطيسية *Magnetostratigraphy* .
- تحديد العمر بقياس الطاقة الإشعاعية لرواسب قيعان البحار *Radiometric age determination* .

وأشار التقرير النهائي لهذا المشروع البحثي أن عصر البلايستوسين أول عصور الزمن الرابع قد بدأ منذ ١.٨١ مليون سنة من الوقت الحاضر ، وأن هذا التحديد يتزامن مع بداية الفترة الجليدية الأولى من الفترات الأربع التي حدثت لكوكب الأرض ( *Couvening, V. & John, A., 1998* ) .

## ٢- البحوث والدراسات المناخية والبيئية :

يقدم قسم الجيولوجيا بالاشتراك مع قسمي الجغرافيا والأنثروبولوجيا بجامعة كلورادو (*The University of Colorado at Boulder, 1999*) حالياً مشروعاً بحثياً لم تنشر نتائجه حتى الآن ، وتدعم هذا البحث عدة جهات علمية من بينها هيئة المساحة الأمريكية *U.S. Geological Survey*، ومعهد البحوث القطبية والألبية *INSTAAR* ، وهو يهدف لدراسة خصائص التغيرات المناخية والبيئية التي حدثت خلال الزمن الرابع ، ومحاولة ربط ومضاهاة الذبذبات الجليدية في العروض العليا مع التغيرات في مستوى سطح البحر ، وتعتمد هذه الدراسة على تطبيق وسائل وطرق تأريخ عينات الرواسب والكائنات الحية الدقيقة التي جمعت من سواحل مختلف المسطحات البحرية في العالم .

## ٣-دراسات تحديد مناسيب سطح البحر ومحاولة تأريخها :

كانت خطوط سواحل البحر المتوسط خلال عصر البلايستوسين تنحصر حتى منتصف القرن العشرين في مجموعة الأرصفة البحرية التالية (جودة ، ١٩٩٧ ص ١٧٥) ، وهي تمثل الأساس الذي بنيت عليه الدراسات التي أجريت على الذبذبات الإيوستاتية *Eustatic Changes* في سواحل البحار المفتوحة في العالم :

(أ) الرصيف الكلابري *Calabrian* الذي درست بقاياه على سواحل جنوب إيطاليا، ويشمل جميع الدرجات الساحلية التي تقع فيما بين منسوب ١٠٠ إلى ٢٠٠ متر فوق مستوى البحر الحالي .

(ب) الرصيف الصقلي *Sicilian* الذي ميزت بقاياه على سواحل جزيرة صقلية فيما بين منسوبي ٨٠-١٠٠ متر فوق مستوى البحر الحالي ، وتم تأريخه بالفترة الدفيئة التي حدثت قبل جليد جونز .

(ج) الرصيف الميلازي *Millazian* المعروف باسم شبه جزيرة ميلازو *Millazzo* الواقعة شمال جزيرة صقلية ، وهو يقع بين منسوبي ٥٠-٦٠ متر فوق مستوى البحر الحالي ، وأرخ هذا الرصيف بالفترة الدفيئة الفاصلة بين جليد جونز / جليد مندل .

(د) الرصيف التيراني *Tyrrhenian* التي تظهر بقاياه على سواحل البحر التيراني على مناسيب تتراوح بين ٣٥-٤٠ متر فوق مستوى البحر الحالي ، وتم تأريخه بالفترة الدفيئة الفاصلة بين جليد مندل / جليد ريس .

(هـ) الرصيف المونستيري *Monasterian* المعروف باسم بلدة مونستير على الساحل التونسي حيث تبدو بقاياه على منسوب يتراوح بين ١٥ و ١٨ متر فوق مستوى البحر الحالي ، وتم تأريخه بالفترة الدفيئة بين جليد ريس / جليد فورم .

(و) الرصيف المونستيري المتأخر على منسوب يتراوح بين ٧ ، ٨ أمتار ، وتم تأريخه أيضاً بالفترة الدفيئة بين جليد ريس / جليد فورم .

(ز) رصيف الطغيان الفلاندرى أو الطغيان الفرسيلى الذى تظهر بقاياه على سواحل منطقة *Versilla* إلى الشمال من بلدة "بيزا" في إيطاليا ، وهو الطغيان الذى حدث بعد انصهار جليد فورم .

وخلال النصف الثانى من القرن العشرين ازداد الاهتمام بأساليب التأريخ وتحديد عمر التغيرات في مستوى سطح البحر باستخدام تقنيات حديثة في وسائل التحليل المعملية ، ساهمت في التعرف على عدد من مناسيب الذبذبات الإيوستاتية في مستوى سطح البحر ، وتحديد أعمارها ، إلا أنه قد لوحظ وجود بعض الاختلافات في نتائج هذه الدراسات ترجع إلى ظروف جمع العينات واحتمال تلوثها بالمواد العضوية بالطبقات المتاخمة لها ، أو تسرب المحاليل من الطبقات التي تعلوها ، إلى جانب تفاوت الدقة النسبية لنتائج أساليب التحليل المختلفة ، وفيما يلي عرض لبعض نتائج الدراسات الحديثة التي اهتمت بتأريخ مستويات سطح البحر خلال الزمن الرابع :

- قدم قسم العلوم البيئية بالمعمل الوطني *Environmental Science Division, National Laboratory* بولاية تنسي الأمريكية دراسة بعنوان : أوربا خلال الـ ١٥٠ ألف سنة الأخيرة، تتبع فيها التطور المناخي للقارة الأوروبية بعد المرحلة الجليدية الأخيرة، اعتماداً على طرق وأساليب تأريخ الرواسب بالنظائر المشعة ، ويوضح جدول رقم (١-٣) أهم نتائج هذه الدراسة التي تفيد في استنتاج الفترات التي ارتفع خلالها منسوب البحر المتوسط بسبب الدفء الذي أدى لانصهار جزء من الغطاءات الجليدية وانسيابه نحو البحار والمحيطات في العالم ، كما ترتبط فترات انخفاض مستوى سطح البحر بفترات البرودة التي ساعدت على انحباس جزء من مياه الأمطار على شكل غطاءات وأودية جليدية في العروض العليا من الكرة الأرضية (Adams, J.W. et al., 1999) :

جدول رقم (١-٣) التطور المناخي لقارة أوربا خلال ١٥٠ ألف سنة الأخيرة وفقاً لنتائج دراسة قسم العلوم البيئية بالمعمل الوطني *Environmental Science Division, National Laboratory* بولاية تنسي الأمريكية (After Adams, J.W. et al., 1999)

| العمر من الوقت الحاضر بالآلاف سنة | الطور المناخي                 |
|-----------------------------------|-------------------------------|
| ١١٥-١٣٠                           | دفيئ رطب نسبياً               |
| ٧٠                                | جاف                           |
| فترة غير محددة                    | معتدل                         |
| ١٣-٢٢                             | جاف                           |
| ١٢                                | دفيئ رطب مشابه للمناخ الحالي  |
| ١١                                | بارد جاف                      |
| ١٠                                | أدفاً قليلاً من المناخ الحالي |
| ٨ر٢                               | بارد                          |
| ٢-٣ر٥                             | جاف مع اندثار الغطاء النباتي  |
| ٢ر٦                               | بارد                          |

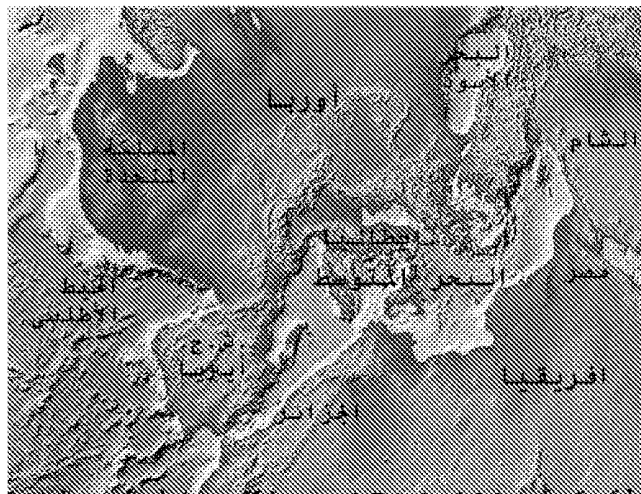
نلاحظ من الجدول السابق أن أوربا قد تعرضت لثلاث مراحل دفيئة ساهمت في ارتفاع مستوى سطح البحر، حدثت الفترة الأولى منها منذ ١٣٠-١٥٠ ألف سنة، والفترة الثانية منذ ١٢ ألف سنة ، والفترة الثالثة منذ ١٠ آلاف سنة من الوقت الحاضر (أواخر الجليد). كما تعرضت القارة لثلاث مراحل من البرودة عملت على انخفاض مستوى سطح البحر منذ ١١ ، ٨ر٢ ، ٢ر٦ ألف سنة على التوالي .

- وقد رجحت نتائج الدراسات التي قام بها "أندل وتزداكيس" *Andel, V. & Tzedakis, N., 1996* على حدوث فترة "إميان" *Eemian* الدفيئة منذ حوالي ١٢٠-١٣٠ ألف سنة على سواحل أوربا ، بما يتفق مع النتائج التي توصل لها قسم العلوم البيئية بالمعمل الوطني ، كما أشارا إلى حدوث فترة باردة

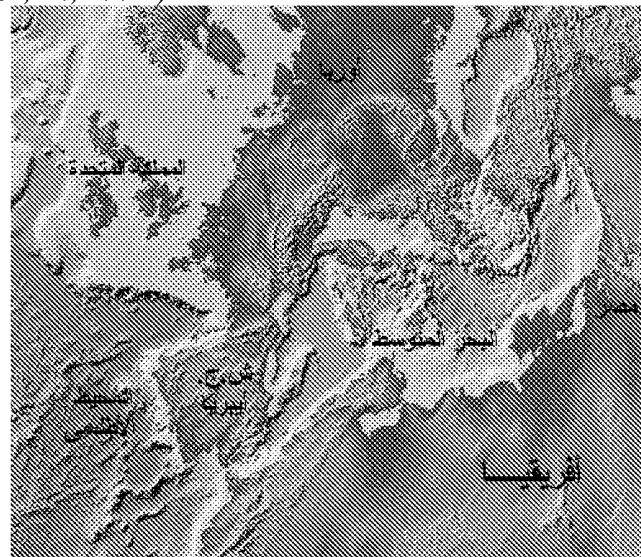
<sup>٢</sup> يطلق على هذه الفترة الدفيئة عدة مسميات منها : إيم *Ehm* في شمال أوربا ، وويسكونسن *Wisconsin* في أمريكا الشمالية (جودة ، ١٩٩٧ ص ص ١٣٧-١٥٠) .

جافة بلغت ذروتها منذ ٦٥ ألف سنة ، ساهمت في انخفاض مستوى سطح البحر إلى منسوب ٧٥ متر تحت مستواه الحالي .

- قدم الباحث "سترنر" (Sterner, R., 1996) مجموعة خرائط رقمية *Digital Maps* توضح الحدود القصوى لتغيرات خطوط السواحل التي حدثت في العالم خلال ١٥٠ ألف سنة من الوقت الحاضر ، وتم إنشاء هذه الخرائط بالحاسب الآلى *Computerized* اعتماداً على تحليل قاعدة بيانات تضم عدداً كبيراً من نتائج البحوث والدراسات التي قدمتها الجامعات الأوروبية، وتبين هذه الخرائط شكل خط الساحل على المناسيب الآتية ( شكل ٣-١-١، شكل ٣-٢) :
- ١- خط الساحل على منسوب ١٤٠ متراً تحت مستوى سطح البحر الحالى .
  - ٢- خط الساحل على منسوب ٦٥ متراً فوق مستوى سطح البحر الحالى .



شكل (١-٣) خريطة رقمية *Digital Map* توضح شكل سواحل البحر المتوسط علي افتراض انخفاضها إلى منسوب ١٤٠ متراً تحت مستوى البحر الحالي ، خلال الفترة الجليدية الأخيرة *Last Glacial Maximum*  
(After: Sterner, R., 1996)



<sup>3</sup> قام الباحث بتعديل هذه الخرائط لتظهر حوض البحر المتوسط فقط باستخدام برنامج Photoshop 5



شكل (٢-٣) خريطة رقمية *Digital Map* توضح شكل سواحل البحر المتوسط على افتراض ارتفاعها إلى منسوب ٦٥ متراً فوق مستوى البحر الحالي وهو ما يتفق مع مستوى المدرج الميلاري  
(After: Sterner, R., 1996)

### ثالثاً: تغيرات مستوى سطح البحر خلال عصر الهولوسين *Holocene*

- حاول " فلمنج وزملاؤه " (Fleming, K., et al., 1998) تأريخ تغيرات مستوى سطح البحر منذ الفترة الجليدية الأخيرة باستخدام أساليب التأريخ بالنظائر المشعة وإعادة رسم ملامح خط الساحل القديم ، وتشير النتائج التي توصلوا إليها أن مستوى سطح البحر خلال الفترة الجليدية الأخيرة *Last Glacial Maximum* كان ينخفض عن منسوبه الحالي بنحو ١٢٥ متر بمستوى دقة  $\pm$  خمسة أمتار ، ثم بدأ في الارتفاع التدريجي خلال الفترة من ٢١-١٧ ألف سنة بمعدل يتراوح بين ٦ أمتار/١٠٠٠ سنة في بداية هذه الفترة ، وحوالي ١٠ متر/١٠٠٠ سنة في نهايتها ، كما رجحت نتائج دراستهم أن مستوى سطح البحر قد ارتفع من ٣ إلى ٥ أمتار خلال السبعة آلاف سنة الأخيرة ولازال في ارتفاع مستمر حتى الوقت الراهن
- درس "شنن وزملاؤه" بوحدة بحوث خط الساحل بجامعة درم *Sea-Level Research Unit, University of Durham* الهولوسين ، اعتماداً على أساليب تأريخ الرواسب المعملية ، ولاحظوا أن مستوى سطح البحر قد تذبذب بين المناسب التي يوضحها (جدول ٢-٣) (Shennan, I., et al., 1994, pp.261-284)

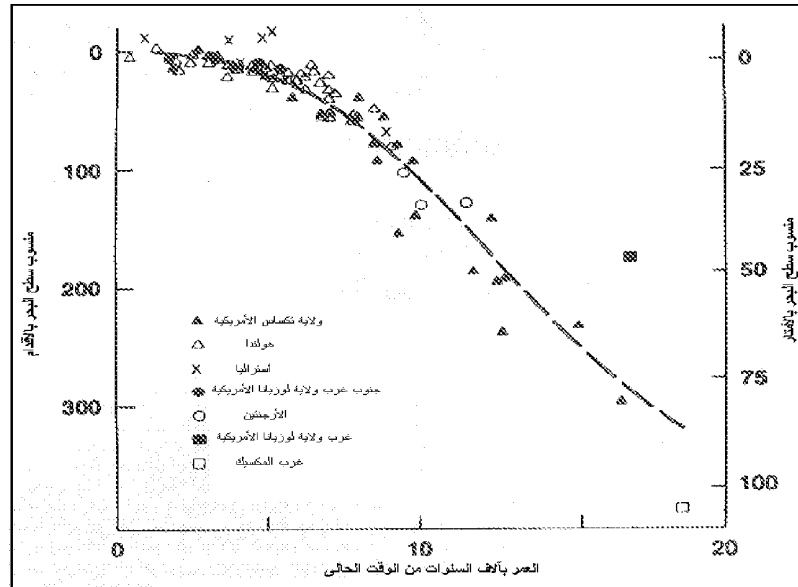
جدول رقم (٢-٣) مراحل تطور مناسيب سطح بحر الشمال خلال أواخر عصر الهولوسين ، وفقاً لنتائج دراسات " شنن وزملاؤه عام ١٩٩٤ "

| العمر من الوقت الحاضر بالسنوات | منسوب سطح البحر بالأمتار |
|--------------------------------|--------------------------|
| ١١٨٠٠                          | ١٧ر٨+                    |
| ١٠٧٠٠                          | ٩ر٣+                     |
| ١٠٥٠٠                          | ٦ر٣+                     |
| ١٠٠٠٠                          | ٥ر٢+                     |
| ٨٣٠٠                           | ٦ر٣+                     |
| ٦٦٠٠                           | ؟                        |
| ٤٠٠٠                           | ٦ر٣+                     |
| ٣٤٠٠                           | ٥ر٢+                     |

- دعم قسم الأنثروبولوجي بجامعة كاليفورنيا مشروعاً بحثياً يهدف لإنشاء خريطة لقارة أوروبا منذ ١٠ر٠٠٠ سنة من الوقت الحاضر أى خلال عصر الهولوسين ، وتهدف هذه الخريطة لإبراز ملامح الغطاء النباتي وشكل خط الساحل خلال هذه الفترة الزمنية ، واعتمد رسم هذه الخريطة على استخدام نظم المعلومات الجغرافية *G I S* في تحليل العلاقات المكانية للبيانات التي تضمها قاعدة معلومات بيئية مستخلصة من نتائج عدد كبير من الدراسات والبحوث ونتائج التأريخ الرسوبي (Syrett, M. D., 1995) .
- وبدراسة نتائج هذا المشروع البحثي (Syrett, M. D., 1995) نلاحظ أن البحر الأسود كان مجرد بحيرة مغلقة يفصلها عن البحر المتوسط معبران أرضيان يشغلان مكان مضيق البسفور والدردينيل وتتوسطهما بحيرة صغيرة المساحة تمثل بقايا بحر مرمرة ، كما نلاحظ أن جزيرتي كورسيكا وسردينيا كانتا متصلتين خلال هذه الفترة، وكان البحر

المتوسط أصغر مساحة من الوقت الراهن . ولم تقتصر التغيرات على السواحل الجنوبية لأوروبا بل كان بحر المانش أرضاً يابسة ، وكانت تتصل الأراضى الدنماركية بشبه جزيرة اسكندناوه التى كانت مغطاة بغطاء جليدى Ice Cap خلال أوائل عصر الهولوسين .

- قدم "برزولى وبلوت" (Pirazzoli, P.A., & Pluet, J., 1992) أطلساً متكاملًا عن تغيرات خط الساحل خلال عصر الهولوسين فى مختلف المسطحات المائية فى العالم ، ويعد هذا الأطلس أحد الأعمال الرائدة فى الدراسات البيئية ، وهو يتناول تسجيلاً تفصيلياً لمسببات ومظاهر تغيرات مستوى سطح البحر خلال العشرة آلاف سنة الأخيرة ، ويعرض فى قسمه الأول أسباب هذه التغيرات ، ويحتوى فى قسمه الثانى على أكثر من ١٠٠ قطاعاً و٧٧ جدولاً توضح نتائج تأريخ عينات الرواسب وبقايا الكائنات الحية والحفريات التى قاموا بجمعها وتحليلها من مختلف المسطحات البحرية ، كما يشتمل القسم الثالث من الأطلس على مجموعة كبيرة من الخرائط التفصيلية تبين ملامح خطوط السواحل القديمة ، وُذيل الأطلس بمعجم لشرح أهم المصطلحات الواردة به ، وفهرس للمواقع الجغرافية ، وثبت للمراجع يضم أكثر من ٧٥٠ مرجعاً (شكل ٣-٣) .



شكل (٣-٣) تطور مستوى سطح البحر على سواحل مختارة من العالم منذ ٢٠ ألف سنة

After: Shepard, 1963

- تقوم حالياً شبكة بيئة الزمن الرابع التابعة لجامعة "أدليد" University of Adelaide بإنشاء أطلس شامل للظروف البيئية لكوكب الأرض خلال الزمن الرابع ، ولا يزال هذا الأطلس فى دور الإعداد ، ولم تنتشر منه سوى بعض الخرائط التى تتناول خصائص العناصر المناخية وأنماط الغطاء النباتى السائدة فى قارات العالم فى أثناء الفترات الدفينة من الزمن الرابع ، ويتم إنشاء هذا الأطلس بالاعتماد على تحليل النظائر المشعة فى العينات الرسوبية والبقايا الحيوية ، وفيما يلى مجموعة نماذج من خرائط هذا الأطلس توضحها (أشكال ٤-٣ ، ٥-٣) .

- أشارت أبحاث "هوجزر وإسارين" (Huijzer, & Isarin, 1997) إلى حدوث ذبذبة برودة وجفاف نسبى منذ ٤١-٤٣ ألف سنة ، أدت لحدوث انخفاض فى مستوى سطح البحر ،

كما رجح "جوت" (Guiot, D., 1989) حدوث ذبذبة برودة تالية لها حدثت منذ ٢٨-٢٥ ألف سنة ، ساهمت في حدوث انخفاض آخر في مستوى سطح البحر ، وأشارت أبحاث "فرنزل" (Frenzel, S., 1992) حدوث ذبذبة جليدية ثالثة رجح حدوثها منذ ٢٢ ألف سنة ، ساهمت في انخفاض مستوى سطح البحر ، أعقبها ذبذبة دفينة رجح "أتكينسون" (Atkinson, N., 1987) حدوثها منذ ١٣ ألف سنة واستمرت لمدة ألف عام (Anderson, N., 1997) ، أعقبها ذبذبة باردة رابعة حدثت منذ ١٠ آلاف سنة ، تليها ذبذبة باردة خامسة حدثت منذ ٨-٩ آلاف سنة، ثم ذبذبة من الدفء بلغت ذروتها منذ ٥-٧ آلاف سنة ساهمت في ارتفاع مستوى سطح البحر ، ثم حدثت ذبذبة برودة سادسة منذ ٤ آلاف سنة ، ثم ذبذبة رطبة منذ ٦-٢ ألف سنة وذبذبة باردة سابعة حثت منذ ٤-١ ألف سنة .

نخلص من العرض السابق أن التغيرات المناخية وتحول المناخ للبرودة ساهم في انخفاض مستوى سطح البحر عدداً أكبر من الذبذبات خلال عصر البلايستوسين والهولوسين عما كان معروفاً من قبل<sup>٤</sup> ، وحدثت هذه المجموعة من الذبذبات بعد الفترة الجليدية الأخيرة " فورم "، وبلغت ثلاث ذبذبات على الأقل يتفاوت عمرها بين ٣-١٥٠ ألف سنة من الوقت الحاضر ، إلى جانب سبع ذبذبات أخرى حدثت خلال ال ٣-٤ ألف سنة الأخيرة.

---

<sup>٤</sup> تنقسم فترة فورم الجليدية إلى ثلاث مراحل هي : أوائل الفترة ، وأوج الفترة ، وأواخر الفترة ، كما تنقسم كل فترة منها إلى عدد من الأدوار Phases ، وتحدث خلال كل دور منها عدد من الذبذبات في مستوى سطح البحر .

### ثالثاً : التغيرات المُعاصرة فى مستوى سطح البحر :

تعرضت مستويات سطح البحر لتغيرات ملحوظة خلال القرن المنصرم ، إذ تشير نتائج أهم الدراسات التى أجريت على أجزاء متفرقة من سواحل العالم أن مستوى سطح البحر قد ارتفع خلال هذه الفترة بمعدل عام يصل لنحو ١,٧ ملليمتر سنوياً ، وذلك نتيجة ارتفاع درجة حرارة الغلاف الجوى بين درجتين إلى سبع درجات خلال الفترة الزمنية ذاتها *Hansen et al., 1988, Bretherton et al., 1990, Wigley & Raper, 1993* ويوضح الجدول التالى (٣-٣) معدلات ارتفاع مستوى سطح البحر وفقاً لنتائج أهم هذه الدراسات :

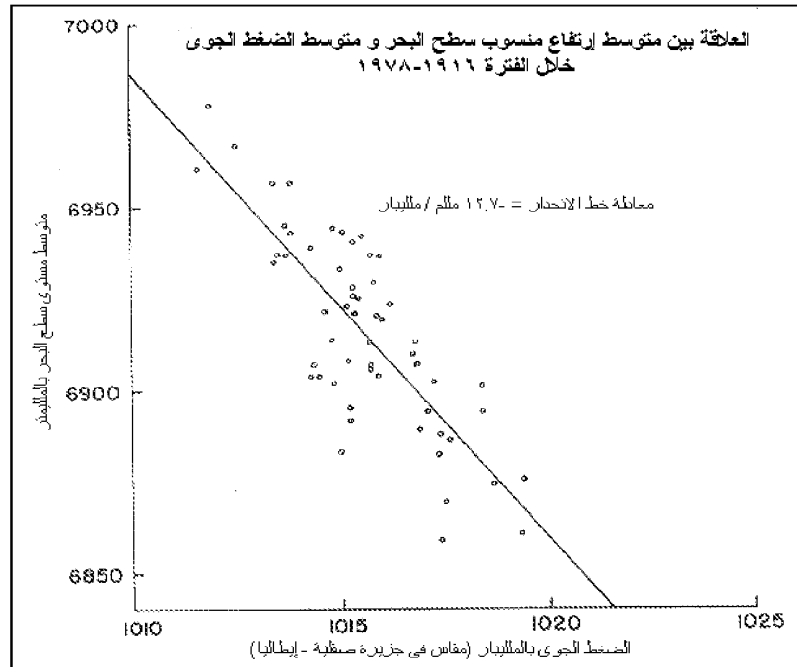
جدول (٣-٣) معدلات ارتفاع مستوى سطح البحر وفقاً لنتائج مجموعة من الدراسات المختارة التى أجريت فى مناطق متفرقة من سواحل العالم

| المرجع                                       | معدل ارتفاع مستوى سطح البحر (ملليمتر / سنة) | مسلسل        |
|--|---|--------------|
| <i>Thorarinsson, 1940</i>                    | ٠,٥   | ١            |
| <i>Guetenburg, 1941</i>                      | ٠,٨ ± ١,١                                   | ٢            |
| <i>Kuenen, 1950</i>                          | ١,٤ – ١,٢                                   | ٣            |
| <i>Lisitzin, 1958</i>                        | ٠,٤ ± ١,١                                   | ٤            |
| <i>Fairbridge &amp; Krebs, 1962</i>          | ١,٢   | ٥            |
| <i>Emery, 1980</i>                           | ٣,٠   | ٦            |
| <i>Gornitz et al., 1982</i>                  | ٠,١ ± ١,٢                                   | ٧            |
| <i>Klinge, 1982</i>                          | ١,٥   | ٨            |
| <i>Barnett, 1983</i>                         | ٠,١٥ ± ١,٥                                  | ٩            |
| <i>Barnett, 1984</i>                         | ٠,١٤ ± ١,٤                                  | ١٠           |
| <i>Gornitz &amp; Lebedeff, 1987</i>          | ٠,١ ± ١,٠                                   | ١١           |
| <i>Barnett, 1988</i>                         | ١,١٥  | ١٢           |
| <i>Peltier &amp; Tushingham. 1989 ; 1991</i> | ٠,٩ ± ٢,٤                                   | ١٣           |
| <i>Trupin &amp; Wahr, 1990</i>               | ٠,١٣ ± ١,٧٥                                 | ١٤           |
| <i>Wahr &amp; Trupin, 1990</i>               | ٠,٣٣ ± ١,٦٧                                 | ١٥           |
| <i>Douglas, 1991</i>                         | ٠,١ ± ١,٨                                   | ١٦           |
| <i>Shennan et al., 1992</i>                  | ٠,١٥ ± ١                                    | ١٧           |
| من حساب الباحث                               | ١,٣٨  | المعدل العام |

كما قامت وحدة بحوث خط الساحل التابعة لجامعة درم *Sea-Level Research Unit, University of Durham* بتطوير مركز البحوث البيئية *Environmental Research Center* التابع لها خلال السنوات العشر الأخيرة ، ووضعت على عاتقها مهمة دراسة التغيرات البيئية لخط الساحل التى حدثت أواخر الزمن الرابع ، ودراسة انعكاسات الارتفاع المرتقب فى مستوى سطح البحر على حياة السكان ، وقدمت الوحدة العديد من الدراسات خلال هذه الفترة أهمها أعمال " شنن وزملاؤه " ( *Shennan, I., et al., 1987, 1990, 1992* ) ، ( *1993, 1994, 1995, 1996* ) ، التى استخدموا فيها نظم المعلومات الجغرافية *GIS* عند تخزين وتحليل وربط ومقارنة نتائجها ، حيث قاموا ببناء قاعدة معلومات بيئية متكاملة تضم مجموعات من الخرائط والبيانات الوصفية للمعلومات الطبيعية الآتية : نتائج تفسير المرئيات

الفضائية *Satellite Image* ، الخرائط الطبوغرافية للمناطق الساحلية ، خرائط خطوط الأعماق المتساوية ، توجيه وسرعة التيارات البحرية ، بيانات تيارات المد والجزر ، معدلات تغير مستوى سطح البحر ، وبيانات الأنشطة البشرية مثل خرائط استخدام الأرض ، وأنماط العمران ، وبيانات تعدادات السكان ، وقاموا بتغذية نظم المعلومات الجغرافية بهذه البيانات وتحليلها مكانياً *Spatial Analysis* ، ووضعوا بذلك خرائط لتطور خطوط السواحل خلال الهولوسين ، كما قدموا صورة مستقبلية لاحتمالات التغير في مستوى سطح البحر واقتروا الحلول الملائمة لمواجهة أخطارها .

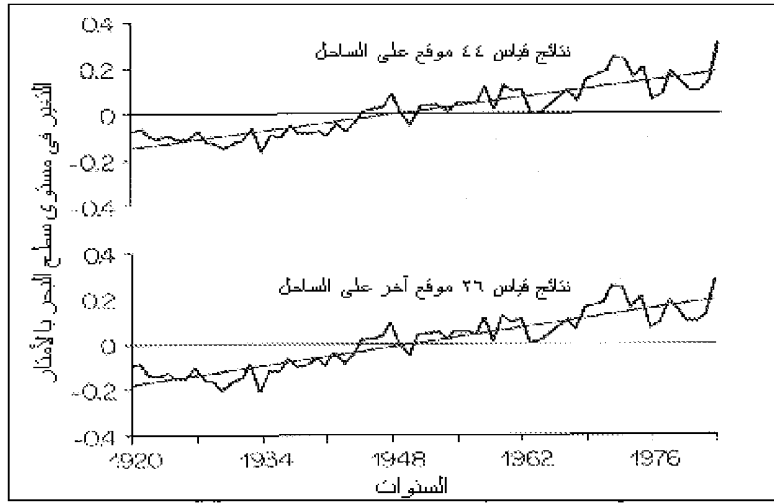
درس "بوغ" (Pough, 1987) العلاقة بين الضغط الجوي و مستوى سطح البحر على سواحل جزيرة صقلية خلال الفترة من ١٩١٦ إلى ١٩٧٨ وتبين أن هناك علاقة ارتباط عكسية قوية ، إذ صاحب الإنخفاض المتوالى في منسوب البحر المتوسط ارتفاع ملحوظ في قيمة الضغط الجوي ( شكل ٣-٤ ) .



After : (Pugh, 1987)

**شكل ( ٣-٤ ) العلاقة بين متوسط ارتفاع منسوب سطح البحر ومتوسط الضغط الجوي خلال الفترة ١٩١٦ - ١٩٧٨**

كما درس " أوبراي وإماري" (Aubrey & Emery, 1993) معدلات تغير مستوى سطح المحيط الأطلسي خلال الفترة من ١٩٢٠ إلى ١٩٨٠ بالاعتماد على قياس مناسب المد والجزر في ٧٠ نقطة قياس على الساحل الشرقي للولايات المتحدة باستخدام الأقمار الصناعية (شكل ٣-٥) ، وأشارت نتائج هذه الدراسة إلى ارتفاع مستوى البحر بحوالي ٣٠ سنتيمتر خلال فترة القياس .



شكل (٣-٥) معدلات التغير في مستوى سطح البحر على السواحل الشرقية للولايات المتحدة بين عامي ١٩٢٠-١٩٨٠  
After: Aubrey & Emery, 1993

نستخلص مما سبق أن مستويات البحار العالمية قد تعرضت للارتفاع المتوالي خلال القرن العشرين بمعدل يتفاوت فيما بين الدراسات التي تناولت هذا الموضوع بين نصف ملليمتر إلى ثلاثة ملليمترات سنوياً ، أى أن منسوب سطح البحر قد ارتفع خلال هذه الفترة بقيمة إجمالية تتراوح بين ٥ و ٣٠ سنتيمتر ، وهو ما تؤكد مشاهداتنا لسواحل المسطحات البحرية في مختلف أرجاء العالم خلال العقود الأخيرة من القرن العشرين .

قراءات مختارة في نتائج أهم الدراسات التي تناولت ظواهر التغير في مستويات البحار العالمية :  
جودة حسنين جودة (١٩٦٦): العصر الجليدي ، أبحاث في الجغرافيا الطبيعية لعصر البلايستوسين ، منشورات جامعة بيروت العربية .  
 ----- (١٩٧١): عصور المطر في الصحراء الكبرى الأفريقية ، بحث في الجيومورفولوجية المناخية لعصر البلايستوسين والزمن الرابع . مجلة كلية الآداب - جامعة الإسكندرية .  
 ----- (١٩٩٧): الجغرافيا الطبيعية للزمن الرابع "زمن الجليد والمطر" ، دار المعرفة الجامعية ، الإسكندرية .

Adams, J., W., & Faure, H., 1999, Europe during the last 150000 years, [www.esd.ornl.gov/projects/qen/europe.html](http://www.esd.ornl.gov/projects/qen/europe.html)

Alego, T.J., & Sestavinsky, K. B., 1995 a, The Paleozoic world continental flooding hypsometry and sea level, American Journal of Science, V.295, PP.787-822.

Alego, T.J., & Sestavinsky, K. B., 1995 b, Reconstructing epeirogenic and eustatic trends from paleo-continental flooding data, in Haq, B.U., ed., Sequence stratigraphy and depositional to eustatic, Tectonic and climatic forcing, dordrecht, Kluwer, PP. 209-246.

**Andel, V., & Tzedalkis, N., 1996,** *Late Quaternary sea level changes and archeology*, *Antiquity* 64: 151-2.

**Anderson, N., 1987,** *Europe soon after the onset of interglacial conditions – 13,000 14 C ya*, in : [www.cup.org/Titles/34/0521341159.html](http://www.cup.org/Titles/34/0521341159.html)

**Atkinson, N., & Jalut, E., 1987,** *Europe under full glacial conditions* in : [www.cup.org/Titles/34/0521341159.html](http://www.cup.org/Titles/34/0521341159.html)

**Briand, F., & Maldonado, A., ed., 1999,** *Transformations and evolution of the Mediterranean coastline*, CIESM Science Series 3, *Bulletin se l'Institut oceanographique*, Monaco, n&deg.

**Bradley, R.S. (ed.). 1991.** *Global Changes of the Past*. University Corporation for Atmospheric Research: Boulder. 514p.

**Bradley, R.S. 1994.** *Perspectives on the climate of the last 500 years*. In: *The Solar Engine and its Influence on Terrestrial Atmosphere and Climate* (ed. E. Nesmé-Ribes). Springer-Verlag: Berlin, 437-448.

**Bradley, R.S. 1996.** *Are there optimum sites for global paleotemperature reconstruction?* In: *Climate Variations and Forcing Mechanisms of the Last 2000 years*. (P.D. Jones, R.S. Bradley and J. Jouzel, eds.). Springer-Verlag: Berlin, 603-624.

**Bradley, R.S. and P. D. Jones (eds). 1992.** *Climate Since A.D. 1500*. Routledge: London. 679p. Bradley, R.S. and P.D. Jones. 1994. *Recent developments in studies of climate since A.D. 1500*. In: *Climate Since A.D. 1500 [Revised Edition]* (eds. R.S. Bradley and P.D. Jones). Routledge: London, 666-679.

**Bradley, R.S., F.T. Keimig and H.F. Diaz. 1992.** *Climatology of surface-based inversions in the North American Arctic*. *Journal of Geophysical Research-Atmospheres* 97, D14, 15,699-15,712.

**Bradley, R.S., and 10 others. 1993.** *Evaluating strategies for reconstructing global changes: what and where are the gaps?* In: *Global Changes in the Perspective of the Past* (eds. J. Eddy and H. Oeschger). J. Wiley, 145-171

**Bradley, R.S., M.J. Retelle, S.D. Ludlam, D.R. Hardy, B. Zolitschka and S.F. Lamoureux. 1996.** *The Taconite Inlet Lakes Project: a systems approach to paleoclimatic reconstruction*. *Journal of Paleolimnology* 16, 97-110.

**Braun, C., 1997.** *Streamflow and sediment transport prediction in two arctic watersheds, Nunavut, Canada*. M.S. Dissertation.

**Fleming, K., Jouhnston, P., Zwart, D., Yokoyama, Y., Lambeck, K., and Chappell, J., 1998,** *Refining the eustatic sea-level curve since the Last Glacial Maximum using far and intermediate –field sites*, *Earth and Planetary Science Letters*, V.163,N.1-4, pp.327-342.

**Frenzel, S., 1992, Europe during the last 150000 years,**  
[www.esd.ornl.gov/projects/qen/europe.html](http://www.esd.ornl.gov/projects/qen/europe.html)

**Jones, P.D., R.S. Bradley and J. Jouzel, (eds.) 1996. Climate Variations and Forcing Mechanisms of the Last 2000 years.** Springer-Verlag: Berlin, 649p.

**Guiot, D., 1989, H., Europe during the last 150000 years,**  
[www.esd.ornl.gov/projects/qen/europe.html](http://www.esd.ornl.gov/projects/qen/europe.html)

**Huijzer, F. & Isarin, 1997, Europe during the last 150000 years,**  
[www.esd.ornl.gov/projects/qen/europe.html](http://www.esd.ornl.gov/projects/qen/europe.html)

**Lamoureux, S.F. and R.S. Bradley, 1996. A late Holocene varved sediment record of environmental change from northern Ellesmere Island, Canada. Journal of Paleolimnology 16, 239-255.**

**Lean, J., J. Beer and R.S. Bradley. 1995. Reconstruction of solar irradiance since A.D. 1600: implications for climate change. Geophysical Research Letters 22, 3195-3198.**

**Mann, M.E., J. Park and R.S. Bradley. 1995. Global inter-decadal and century-scale climate oscillations during the past five centuries. Nature 378, 266-270.**

**Pirazzoli, P. A., 1990, Sea-Level Change..** Washington, D.C.: National Academy Press.

**Pirazzoli, P.A., & Pluett, J., 1992. World Atlas of Holocene Sea-level Changes.** Amsterdam: Elsevier.  
**Pirazzoli, P. A., 1996. Sea Level Changes: the Last 20,000 Years.** Chichester, U.K.: John Wiley Sons.  
**Sea Level Research Unit, University of Durham, 1999,** in: [www.dur.ac.uk/Geography/research/slru/index.html](http://www.dur.ac.uk/Geography/research/slru/index.html).

**Reid Thomas, D.C., Donoghue, D.N.M. & Shennan, I. 1995. Intertidal Vegetation Mapping Using LANDSAT 5 Thematic Mapper Data. In Heally and Doody (eds) Directions in European Coastal Management. Samara Publishing Limited, Cardigan. 213-222.**

**Shennan, I. 1989. Holocene crustal movements and sea-level changes in Great Britain. Journal of Quaternary Science, 4, 77-89..**

**Shennan, I. and Sproston, I. W. 1990. Possible impacts of sea-level rise: a case study from the Tees estuary, Cleveland County. In: Doornkamp, J. C. (ed.). The greenhouse effect and rising sea levels in the UK, pp. 109-133. M1 Press, Nottingham**

**Shennan, I. 1992. Late Quaternary sea-level changes and crustal movements in Eastern England and Eastern Scotland: an assessment of models of coastal evolution. Quaternary International, 15/16, 161-173.**



**Shennan, I., and Woodworth, P. L., 1992.** A comparison of Holocene and twentieth-century sea-level trends from the UK and North Sea region. *Geophysical Journal International*, 109, 96-105.

**Shennan, I. 1993.** Geographic information systems and future sea-level rise. In: Warrick, R. A., Barrow, E. M. and Wigley, T. M. L. (eds.), *Climate and Sea Level Change: observations, projections and implications*, pp. 215-228. Cambridge University Press, Cambridge.

**Shennan, I., and Tooley, M.J., Innes, J. B., Long, A. J., Sproxton, I.W., and Zong, Y., 1993,** Climate change, sea level rise and associated impacts in Europe, Final report for the EC.

**Shennan, I. 1994.** Sea-level and coastal evolution: Holocene analogues for future changes. *Coastal Zone Topics: Process, Ecology & Management*, 1, 1-9.

**Shennan, I., Innes, J.B., Long, A.J. and Zong, Y. 1994.** Late Devensian and Holocene relative sea-level changes at Loch Nan Eala, near Arisaig, Northwest Scotland. *Journal of Quaternary Science*, 9, 261-283.

**Shennan, I., Innes, J. B., Long, A. J., and Zong, Y., 1995,** Holocene relative sea-level changes at Kentra Moss, Argyll, northwestern Scotland. *Marine Geology*, 124: 43-60.

**Shennan, I., Innes, J.B., Rutherford, M. M., and Walker, K.J. 1996.** Lateglacial sea-level and ocean-margin environmental changes interpreted from biostratigraphical and lithostratigraphical studies of isolation basins in NW Scotland. In: Andrews J.T., Austin W.E.N. and Bergsten H.E. (eds.) *The Lateglacial Palaeoceanography of the North Atlantic Margins*. Geological Society Special Publication. 229-244

**Sterner, R., 1996,** Extreme sea level changes, in : [www.fermi.jhuapl.edu/globe/Syrett](http://www.fermi.jhuapl.edu/globe/Syrett), M.D., 1995, How the map of Europe at 10000 B.P. was created, Department of Anthropology, University of California, [www.anth.ucsb.edu/projects/Europe10k/10klop.html](http://www.anth.ucsb.edu/projects/Europe10k/10klop.html)

**University of Colorado at Boulder, Department of Geological Sciences, 1999,** Record of Global change, in: [www.clorado.edu/GeolSci/surficial.html](http://www.clorado.edu/GeolSci/surficial.html).

**قائمة بمراجع مختارة تهتم بدراسة أسباب وملامح الارتفاع المعاصر في مستوى سطح البحر :**  
**Bradley, R.S., F.T. Keimig and H.F. Diaz. 1992.** Recent changes in the Arctic boundary layer in winter. *Journal of Geophysical Research-Atmospheres* 97, D5, 8851-8858.

**Bradley, R.S., L.G. Ahern, and F.T. Keimig. 1994.** A computer-based atlas of global instrumental climate data. *Bulletin of the American Meteorological Society* 75, 35-41. (plus CD-ROM: Atlas of Global Instrumental Climate Data, Version 1.0)

**Diaz, H.F. and R.S. Bradley. 1995.** *Documenting natural climatic variations: how different is the climate of the 20th century from that of previous centuries? In: Natural Climate Variability on Decade-to-Century Time Scales.* D.G. Martinson,

**Warrick, R.A., Barrow, E.M., and Wigley, T.M.L.,1993,** *Climate and Sea Level Change, Observations, Projections, and Implications,* Cambridge University Press, New York.

## الباب الثانى

### تطبيقات لأجزاء مختارة من سواحل الخليج العربى وخليج عُمان

مقدمة : الملامح الجغرافية للخليج العربى.

الفصل الرابع: السواحل الغربية لدولة الإمارات :

- المبحث الأول : ساحل إمارة أبوظبى .
- المبحث الثانى : سواحل جزيرة صير بنى ياس .
- المبحث الثالث : مقدمات دلتا وادى الببح .

الفصل الخامس: الساحل المحصور بين مسقط ورأس الحد –  
سلطنة عُمان.

الفصل السادس: شبه جزيرة مُسندم –سلطنة عُمان.

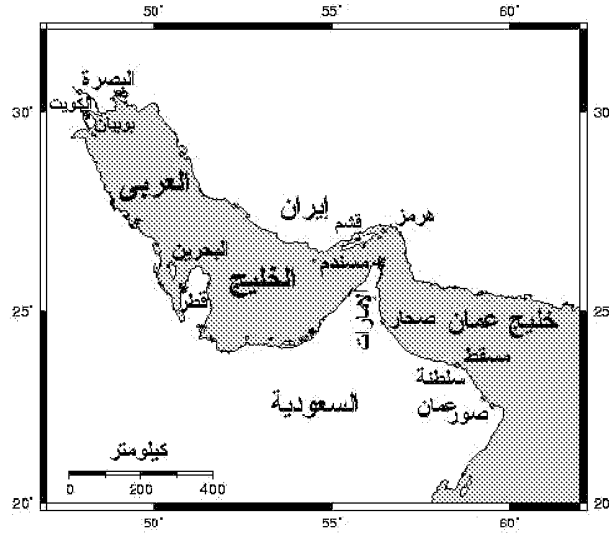
الفصل السابع : سواحل جزيرة قشم –إيران.

الفصل الثامن : سواحل دولة الكويت .

## مقدمة

### الملاحج الجغرافية للخليج العربي

ينحصر الخليج العربي فيما بين دائرتي عرض  $23^{\circ}42'$  ،  $29^{\circ}20'$  شمال خط الاستواء ، وخطي طول  $47^{\circ}55'$  ،  $56^{\circ}10'$  شرق جرينتش ، ويقع بين هضبة إيران الالتوائية في الشمال الشرقي ، وكتلة شبه جزيرة العرب الأركية القديمة في الجنوب الغربي . ويمتد الخليج العربي إمتداداً عاماً من الشمال الغربي للجنوب للشرقي ، ويبلغ متوسط طوله من طرفه الشمالي الغربي عند شط العرب إلى طرفه الجنوبي الشرقي عند مضيق هرمز حوالي ٩٧٠ كيلومتر ، ويتراوح عرضه بين ٤٧ إلى ٣٧٠ كيلومتر ، وتصل مساحته المائية لنحو ٢٣٠ ألف كيلومتر مربع ، ويبلغ أقصى عمق لقاعه إلى ١٠٢ أمتار عند مدخله في مضيق هرمز ، ولكن لا يتعدى متوسط عمقه أكثر من ٣٥ متراً (شكل ٤-١) .



شكل ( ٤-١ ) الموقع الفلكي والجغرافي للخليج العربي

وتشرف مرتفعات زاجروس الالتوائية على سواحلها الشمالية الشرقية ، بجروف بحرية شاهقة في معظم أجزائها تتخللها مصبات الأودية التي تمكنت من شق مجاريها في نطاق المرتفعات ، كما تطل مرتفعات عُمان على سواحلها الجنوبية الغربية بجروف بحرية إنكسارية النشأة عند رأس مُسندم ، أما بقية السواحل العربية المُطلّة على الخليج في الإمارات ، وقطر ، والسعودية والكويت فتتميز بانخفاض مناسيبها وقلة تضاريسها ، وامتداد سهولها الساحلية المستوية ، وعدم وجود عوائق تضاريسية تمنع من توغل مؤثرات الخليج المناخية إلى داخل الكتلة القارية الداخلية .

ويتميز الخليج العربي بقلّة أعداد جزره بصفة عامة إلا أن الساحل العربي للخليج يتميز بكثرة أعداد جزره بالمقارنة بالساحل الإيراني ، وأهم الجزر العربية بوبيان الكويتية ، والبحرين ، ومجموعات الجزر الإماراتية وأبرزها جزر دلمة ، صير بني ياس ، أبوظبي ، صير أبونعير ، طنّب الكبرى والصغرى ، أبو موسى ، أما أهم الجزر الإيرانية فهي هرمز ، كيش ، لارك ، وهناك المتاخمة لجزيرة قشم التي تعد أكبر جزر الخليج على الإطلاق (شكل ٤-٢) .



شكل ( ٢-٤ ) الملامح الجغرافية لسواحل الخليج العربي

## الفصل الرابع

### السواحل الغربية لدولة الإمارات العربية المتحدة

- **المبحث الأول :** دلائل تذبذب مستوى سطح البحر على السبخات الساحلية بإمارة أبوظبي (أ.د.محمد مجدى تراب).
- **المبحث الثانى :** شواهد تغيرات مستوى سطح البحر خلال الزمن الرابع على سواحل جزيرة بنى ياس - إمارة أبوظبي (أ.د.محمد مجدى تراب).
- **المبحث الثالث:** تذبذب مستوى سطح البحر عند مقدمات مروحة (دلتا) وادى البيح - إمارة رأس الخيمة (د / أسماء الفراج الكتبي).

## الفصل الرابع

### مقدمة

### السواحل الغربية لدولة الإمارات العربية المتحدة

الموقع الفلكي والجغرافي :

تطل السواحل الغربية لدولة الإمارات على الخليج العربي ، وتبدو على شكل قوس ينحصر بين دائرتي عرض ٢٢° ، ٢٣°٤٢' شمال دائرة الاستواء وخطي طول ٥١°٤٠' ، ٥٦°١٠' شرق جرينتش ، ويمتد الساحل بين قرية " شعم " بالقرب من الحدود الشمالية لدولة الإمارات مع سلطنة عُمان (رأس مُسندم) ، وقرية السلع عند أقصى الطرف الغربي لدولة الإمارات ، ويبلغ طول خط الساحل الكلي أكثر من ٦٤٩ كيلومتر ٥ ( شكل ٤-٣).

شكل خط الساحل :

يمكن تقسيم خط الساحل إلى أربعة أقسام متباينة الشكل نحصرها فيما يلي :

١. القسم الشمالي : وهو يأخذ اتجاهاً شمالياً شرقياً / جنوبياً غربياً ، يمتد من بلدة " شعم " شمالاً حتى "رأس غناضة " جنوباً لمسافة تبلغ حوالي ٢٣٠ كيلومتر ، ويتميز هذا القسم من خط الساحل باستقامته وقلة تعرجاته إلى حد ما على الرغم من تداخل بعض الأذرع المائية داخل كتلة اليابس على شكل أخوار ضيقة تتعتمد في أغلب الأحيان على خط الساحل، من أهمها أخوار "خوير ، الرمس ، ند أبوطبل ، معيريض ، رأس الخيمة ، أم القيوين ، الحميرية ، الشارقة ، الخان ، دبي ". كما يتميز هذا القسم من خط الساحل بقلة أعداد الجزر المتاخمة له ، ويقتصر الأمر على جزر أبو موسى ، طناب الكبرى ، طناب الصغرى ، صرى ، وهي جميعاً بعيدة عن خط الساحل ، ولا تقترب من سوى جزيرة السينية المواجهة لمدينة أم القيوين (شكل ٤-٣) .

<sup>5</sup> يبلغ طول خط الساحل الغربي لدولة الإمارات ٦٤٠ كيلومتر بدون حساب تعرجات خط الساحل ، ويزيد هذا الطول بحوالى تسعة كيلومترات إذا ما وضعنا في إعتبارنا هذه التعرجات .



شكل ( ٣-٤ ) الملامح الجغرافية للقسم الأوسط من الساحل الغربى لدولة الإمارات العربية المتحدة

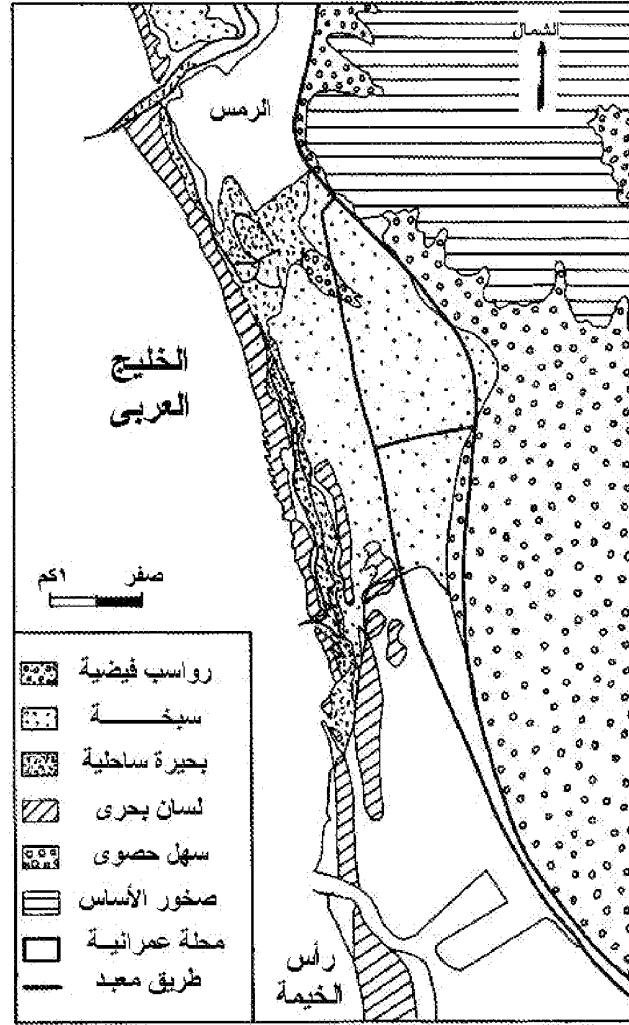
٢. **القسم الشمالى الأوسط :** وهو يمتد بين "رأس غناضة والمرفأ " لمسافة تكاد تصل لنحو المائتى كيلومتر ، ويظهر على شكل قوس أو جزء من محيط دائرة تكاد تحتل مركزها حقل زاكوم النفطى ، ويتميز هذا القسم من خط الساحل بشدة تعرجه على الرغم من انعدام ظهور الأخوار به ، ولكنه يضم معظم الجزر التابعة لدولة الإمارات فى الخليج العربى ، وتبدو معظم جزر هذا القسم من خط الساحل طولية الشكل ، موازية لخط الساحل وقريبة منه ، ومنخفضة المنسوب ، ويتشابه تكوينها الجيولوجى مع اليابس المجاور لها مما يشير إلى أنها قد انفصلت عنه خلال فترات إرتفاع مستوى المياه فى الخليج العربى ، وأهمها جزر الجير ، رأس غراب ، بلغيم، الجبيل ، السعديات أم النار ، أبوظبى (التي تحتلها عاصمة الدولة) ، حديريات ، الفطيسى ، حالة البحرانى ، بوكشيشة ، أبو الساييف ، الرفيق ، أبو الأبيض (أكبر جزر دولة الإمارات) ، صلاحة .

٣. **القسم الغربى الأوسط :** وهو يمتد بين " المرفأ و الظنة " لمسافة تقدر بنحو ١١٠ كيلومترات ، ويبدو شكل هذا القسم من خط الساحل مسنناً ومتعرجاً تكثر به الرؤوس البحرية التي تفصلها مجموعات من الخلجان والتداخلات البحرية المحدودة الاتساع ، وتظهر بالقرب منه مجموعات من الجزر يغلب على معظمها الشكل البيضاوى والدائرى ، مثل جزر جناة ، مروح ، الفييى ، البزم الغربى بوطنى ، خصيفة ، عش ، زركوه ، الصيليا ، حالة علاق ، صير بنى ياس .









شكل ( ٦-٤ ) الملامح الجيومورفولوجية للمنطقة المحصورة  
بين بلدة الرمس ومدينة رأس الخيمة  
بتصرف عن ( AL-Farraj, 2002 )



صورة (١-٤) منظر جوى لمدخل خور (تصويرد/أسماء الفراج ، ٢٠٠١)



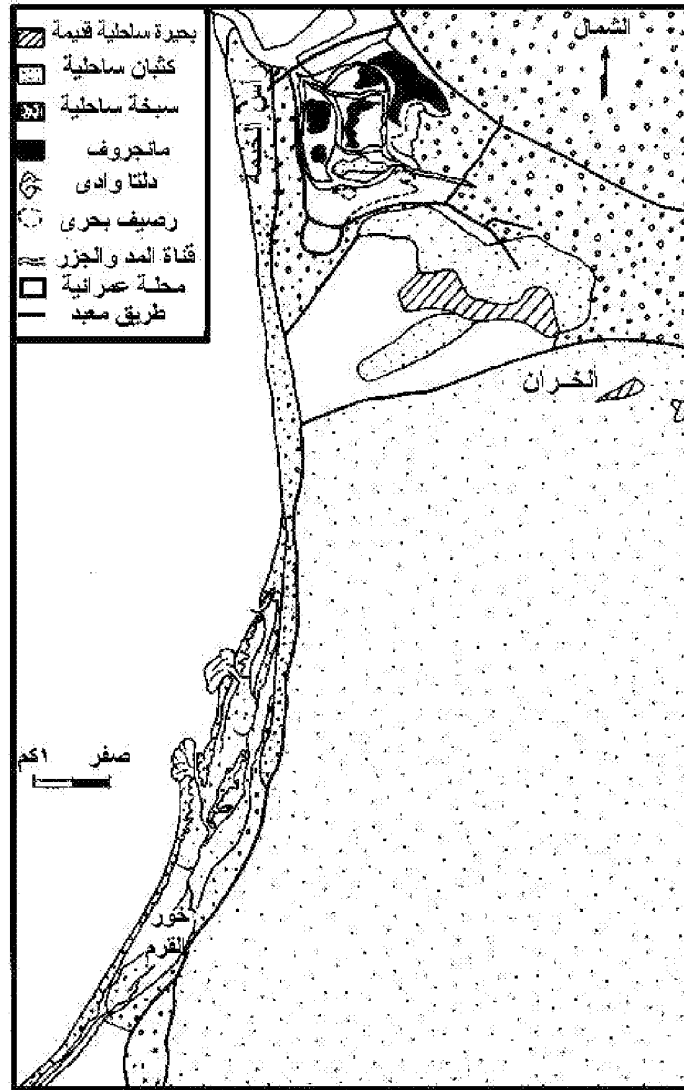
صورة (٢-٤) منظر جوى لحاجز بحري وبحيرة ساحلية (تصويرد/أسماء الفراج ، ٢٠٠١)



صورة (٣-٤) منظر جوى لحاجز بحري وخط الساحل القديم خلال عصر الهولوسين (تصويرد/أسماء الفراج ، ٢٠٠١)

٢. يتسم السهل الساحلى الغربى بسهولة تضرسه ، وتموج سطحه ، وخلوه من التباينات التضاريسية الحادة ، إلا المنطقة الواقعة إلى الشمال من مدينة رأس الخيمة بسبب إقتراب رؤوس الجبال من خط الساحل ، ومنطقة جبل الظنة . ويشرف السهل الساحلى على الخليج بمناسيب منخفضة تقل فى بعض الجهات عن مستوى سطح البحر ، مما ساعد على تكوين السبخات الساحلية الرحبة مثل سبخة مطى التى يصل اتساعها لأكثر من ٢٥ كيلومتر (أشكال من ٤-٤ إلى ٧-٤).

٣. يتميز الساحل الغربى بكثرة التعرجات والتداخلات البحرية والخلجان الهلالية ، والدوحات الدائرية ، والأخوار ، التى يرى الباحث أنها تمثل المصببات القديمة لمجموعات من الأودية الفيضية ، لكنها تعرضت لظروف الجفاف وانحسار البحر عنها خلال عصر الهولوسين ، حيث يمتد معظمها عمودياً على خط الساحل ، ويقترن بعضها حتى الآن بالمجارى المائية المسببة لتكوينها حتى الآن وبصفة خاصة مجموعة الأخوار الواقعة إلى الشمال من مدينة رأس الخيمة، كما تمتد بعض الأخوار منثنية ومنعطفة بما يتشابه مع أشكال المجارى المائية فى مرحلة الشيخوخة ، ولكن يتطلب هذا الموضوع المزيد من الدراسات المستفيضة وجمع عينات رسوبية من قيعان وضاف هذه الأخوار وتحليلها معملياً وتقدير أعمارها بأساليب التحليل الإشعاعى (صور من ٤-١ إلى ٤-٣) .



شكل ( ٤-٧ ) خصائص بعض الظواهر الجيومورفولوجية المتكونة خلال عصر الهولوسين فى إمارة رأس الخيمة

بتصرف عن (AL-Farraj, 2002)

٤. يغطي إقليم السهل الساحلى بعض الكثبان والنباك الرملية تبرز وسط محيط من الفرشات الرملية المنقولة بالأمواج و الرياح الداخلية ، والتي يمكن التمييز بين مصادرها عن طريق اختلاف السحنة الرسوبية لكل منهما حيث يغلب على الرمال المنقولة بالأمواج اللون الأبيض الناصع ، وتختلط بها مكسورات وشظايا الأصداف البحرية والشعاب المرجانية والمحاريات والطحالب الجافة ، وترتفع نسب مركبات الكالسيوم فى تركيبها المعدنى . أما الفرشات الرملية المنقولة بالرياح الجنوبية فيغلب عليها اللون الأصفر المائل للحمرة نتيجة إرتفاع نسب المواد الحديدية فى مركباتها ، وهى متحللة من الصخور النارية والمتحولة فى الكتل الصخرية المكونة للمرتفعات الشرقية ، التى جلبت فى بطون الأودية أثناء السيول ، ثم تعاود الرياح تزييتها نحو إقليم السهل الساحلى الغربى ، كما يبدو المظهر المورفولوجى العام لهذه الغطاءات الرملية تباين انحداراتها ، حيث تشير الانحدارات الهينة إلى الجهة التى تهب منها الرياح ، وتدل الانحدارات الشديدة إلى منصرف الرياح (أشكال من ٤-٤ إلى ٤-٨) .

٥. إنتشار مجموعة من المنخفضات الطولية الموازية لخط الساحل الحالى ، وتفصلها عنه الكثبان الرملية الشريطية ، مما يسهم فى تجمع مياه الأمطار والمياه تحت السطحية ، وتسربها نحو هذه المنخفضات مكونة نطاقات طولية من المستنقعات ، والبرك الموسمية ، والسبخات ، التى يرتفع منسوب المياه فيها خلال فصل الشتاء ، وأثناء فترات المد نتيجة تسرب المياه من الخليج ، ولكن كثيراً ما تتحول هذه المستنقعات إلى مسطحات ملحية جافة خلال فصل الصيف الطويل بعد تبخر المياه بفعل الحرارة المرتفعة وترسب قشرة ملحية متصلبة على السطح ، وقد يسهم جفافها ونمو بعض النباتات المحبة للملوحة على ترسب حبيبات الرمال المنقولة بالرياح على شكل نباك قبابية الشكل محدودة الارتفاع تتركز هذه المسطحات الملحية حتى حلول فصل المطر التالى لتعاود دورتها من جديد .

٦. انتشار أشكال الإرساب البحرى على معظم أجزاء الإقليم ومن أبرزها :  
الشواطئ الرملية والحصوية ، الألسنة البحرية ، البحيرات الساحلية ، البرك الموسمية ، المستنقعات الساحلية ، التمبولو (لسان رملى يصل بين خط الساحل وجزيرة صخرية) ، ويدل انتشار هذا النمط من الظاهرات الجيومورفولوجية إلى جنوح بيئة المنطقة الساحلية للبناء والترسيب نتيجة للظروف البيئية الآتية :  
• ضحولة المنطقة الساحلية مما يعوق تحرك الأمواج واصطدامها بالقاع ووصولها لخط الساحل مستنفذة القوة وغير قادرة على النحت .  
• هدوء الأمواج معظم فترات السنة وضعف طاقتها الهيدرولوجية على عملية النحر البحرى .  
• عظم الفارق المدى بين مستوى المد والجزر مما يساهم فى نقل الرواسب البحرية مع تيار الجزر ومساهمتها فى بناء الشاطئ الرملى .  
• قدرة التيارات البحرية الموازية لخط الساحل على نقل الرواسب من نطاق إلى آخر ، فقد يكون مصدر هذه الرواسب بحرئى أو قارى النشأة

( منقول بالرياح أو الأودية) ثم يعاد تشكيله بالتتيار البحرى وإعادة ترسيبه على الشاطئ مرة أخرى بفعل الأمواج أو تيارات المد والجزر .  
 ٧. كثرة وجود الجزر المقطعة من اليابس المتاخم لها ، وتبرز هذه الجزر من الرفرف القارى ويتشابه تكوينها الجيولوجى مع اليابس المجاور لها ، وهى اقتطعت بسبب انخفاض مستوى سطح مياه الخليج العربى خلال الزمن الرابع، وتتبع دولة الإمارات العربية المتحدة حوالى ٢٠٠ جزيرة ينتشر معظمها فى الخليج العربى ، إذ ينتشر بعضها مجاوراً لخط الساحل وقريباً منه مثل الجزر المتاخمة لجزيرة أبوظبى (الوحيل و غرابى وأبو حيل والسعديات والفطيسى وحالة البحرانى ، وبوكشيشة ، وأبو الأبيض ، ومروح ، وصير بنى ياس، ولما ، والياسات) . كما توجد بعض الجزر بعيدة عن خط الساحل مثل جزر أبو موسى وطنب الكبرى وطنب الصغرى ، وداس ، وقرنين ، وزركوة. كما تختلف أشكال هذه الجزر إلى الأشكال الآتية (شكل ٤-٣) :

- جزر طولية الشكل موازية لخط الساحل مثل جزر الجير، وأبو الأبيض ، ومروح .
- جزر مستعرضة عمودية على خط الساحل مثل جزر حالة البحرانى ، وأم النار ، وبلغليم ، والجبيل ، وبوكعل، وبوشارة .
- جزر مثلثة الشكل مثل جزيرة أبوظبى .
- جزر دائرية أو بيضاوية الشكل مثل جزر دلما ، وو صير بنى ياس ، وجنانة والبزم الغربى ، والياسات العليا .
- جزر غير منتظمة الشكل مثل جزر بوكشيشة والفطيسى.

## الدراسات السابقة التي تناولت مظاهر التغير في مناسيب المياه في الخليج العربي خلال الزمن الرابع:

تناولت العديد من الدراسات مظاهر التغير في مناسيب سطح المياه في الخليج العربي خلال الزمن الرابع ، ويمكن إيجاز أهم هذه الدراسات في الجدول التالي وتصنيفها وفقاً للعصر الذي حدثت فيه هذه التغيرات ونوعها (دفينة وينجم عنها ارتفاع مستويات البحار العالمية ومن بينها الخليج العربي - باردة ينتج عنها انخفاض مناسيب سطح المياه بالخليج) :

أولاً : أهم الدراسات التي اهتمت بالفترات الدفينة من عصر البلايستوسين التي يلخصها الجدول التالي :

جدول ( ٤-١ ) نتائج بعض الدراسات التي تناولت أدلة تذبذب مستوى سطح الخليج العربي خلال الفترات الدفينة من عصر البلايستوسين

| المنطقة             | الدليل                                  | المنسوب بالأمتار | العمر ( بالسنوات من الوقت الحالي ) | المصدر   |
|---------------------|---|------------------|------------------------------------|--|
| ساحل مكران الإيراني | بقايا مدرجات بحرية مرتبطة بمصاطب نهريّة | ٨٠ - ٩٠          | صقلي                               | Butzer, 1958, Harison, 1941, Falcon, 1947 & Vita Finzi, 1975 |
|                     |   | ٦٠               | ميلازي                             |  |
|                     |   | ٣٠               | تيرانى                             |  |
|                     |   | ١٥               | مونستيري                           |  |
| جزيرة خرج الإيرانية | بقايا مدرجات بحرية                      | ٨٠ - ٩٠          | صقلي                               |  |
|                     |   | ٦٠               | ميلازي                             |  |
|                     |   | ٣٠               | تيرانى                             |  |
|                     |   | ١٥               | مونستيري                           |  |
| جزيرة قشم الإيرانية | بقايا مدرجات بحرية                      | ٣٠               | تيرانى                             |  |
|                     |   | ١٥               | مونستيري                           |  |
| ساحل مكران الإيراني | تحليل بقايا أصداف بحرية بالكربون ١٤     | ٨                | ٩٥٠ ± ٢٣٤<br>٤٠٠                   | Vita Finzi, 1975   |

ثانياً : أهم الدراسات التي تناولت الفترات الباردة من عصر البلايستوسين وهى يلخصها الجدول التالي :

جدول ( ٤-٢ ) نتائج بعض الدراسات التي تناولت أدلة تذبذب مستوى سطح الخليج العربي خلال الفترات الباردة من عصر البلايستوسين

| المنطقة                 | الدليل                             | المنسوب بالأمتار | العمر ( بالسنوات من الوقت الحالي ) | المصدر        |
|-------------------------|------------------------------------|------------------|------------------------------------|---------------|
| أمام ساحل شبه جزيرة قطر | مدرجات بحرية مغمورة تحت سطح الخليج | سالب ٥٠,٥ - ١٦,٥ | الفترة الجليدية الأخيرة ؟          | Houbolt, 1957 |
|                         |                                    | سالب ٢٠ - ٣١     |                                    |               |
|                         |                                    | سالب ٣١ - ٥١     |                                    |               |
|                         |                                    | سالب ٥٥ - ٧٣     |                                    |               |





ثالثًا : الدراسات التي تناولت الفترات الدفينة من عصر الهولوسين ونوجزها في الجدول التالي :

جدول ( ٣-٤ ) نتائج بعض الدراسات التي تناولت أدلة تذبذب مستوى سطح الخليج العربي خلال الفترات الدفينة من عصر الهولوسين

| المنطقة  | الدليل  | المنسوب<br>بالمتر | العمر<br>بالسنوات من الوقت الحالي | المصدر  |
|--|---------|-------------------|-----------------------------------|---|
| جزيرة<br>فيلكه -<br>الكويت                         | تحليل ☀ | ١,٢ -<br>١,٥      | ٤٠٠٠                              | <i>Dalongeville &amp; Sanlaville, 1987</i><br><i>Sanlaville, 1989</i>               |
| ساحل<br>الاحساء<br>بالمملكة<br>العربية<br>السعودية | تحليل * | ١,٥ - ٣           | ?                                 | <i>Cornwall, 1946</i>   |
| شط<br>العرب  | تحليل ☀ | ٢                 | ٥٥٠٠                              | <i>Sanlaville, 1989</i>   |
| الجبيل -<br>السعودية                               | تحليل * | ٤                 | ٥٠٠٠ - ٦٠٠٠                       | <i>Ridley &amp; Seeley, 1979</i>  |
|  |         | ٢,٨               | ٣٨٠٠                              |   |
| البحرين  | تحليل * | ١,٥ - ٢           | ٥٠٠٠ - ٧٠٠٠                       | <i>Dalongeville &amp; Sanlaville, 1987</i><br><i>Sanlaville &amp; Paskoff, 1986</i> |
|  |         | ١ - ١,٥           | ٤٠٠٠ - ٤٥٠٠                       |   |
| الشارقة<br>-<br>الامارات                           | تحليل ☀ | ١                 | ١٠٠٠ - ٦٠٠٠                       | <i>Dalongeville &amp; Sanlaville, 1987</i>  |
| أبوظبي<br>-<br>الإمارات                            | تحليل ☀ | ١                 | ٤٠٠٠ - ٧٠٠٠                       | <i>Evans, et al., 1969</i>  |
| قطر  | تحليل ☀ | ١,٥ - ٢,٥         | ٣٩٣٠ - ٤٣٤٥٠                      | <i>Taylor, &amp; Illing, 1969</i>   |

تحليل ☀ تحليل رواسب بحرية بالكربون ١٤

تحليل \* تحليل بقايا أركيولوجية بالكربون ١٤

رابعًا : الفترات الباردة من عصر الهولوسين :

يمكن إيجاز الدراسات التي تناولت الفترات الباردة من عصر الهولوسين في الجدول التالي :  
جدول ( ٤-٤ ) نتائج بعض الدراسات التي تناولت أدلة تذبذب مستوى سطح الخليج العربي خلال  
الفترات الباردة من عصر الهولوسين

| المنطقة               | الدليل                                       | المنسوب<br>بالمتر | العمر<br>( بالسنوات من<br>الوقت الحالي ) | المصدر                           |
|-----------------------|--|-------------------|--|----------------------------------|
| ساحل الفاو<br>العراقي | طبقة تحتوى على<br>بقايا عضوية<br>بالكربون ١٤ | سالب ٣٢           | ١٠٠ ± ٩٩١٠                               | <i>Godwin &amp; Willis, 1958</i> |

## أدلة تذبذب مستوى سطح البحر :

تأثر الساحل الغربى لدولة الإمارات بالذبذبات التى حدثت فى مستوى سطح مياه الخليج العربى خلال الزمن الرابع ، متفقاً فى ذلك مع جميع المسطحات البحرية المفتوحة فى العالم ، مما ساهم فى انتشار العديد من الظواهر الجيومورفولوجية التى تبقت عن تراجع خط الساحل ، بسبب التغيرات المناخية التى حدثت خلال الزمن الرابع ، كاستجابة لانخفاض مستوى سطح البحار العالمية نتيجة انخفاض درجات حرارة الغلاف الجوى الذى أدى لانحباس قسم من مياه البحار وتجمده على القمم الجبلية ، فقد أشار (Saranthein, 1972, p.242) أن ساحل الخليج العربى قد تراجع إلى الجنوب من مضيق هرمز نتيجة انخفاض مستوى سطح المياه إلى منسوب سالب ١١٠ أمتار خلال فترة الفيرم الجليدية (منذ ١٠٠ ألف سنة ) ، وإذا صحت هذه التقديرات فإن الخليج العربى كانت أرضاً يابسة يجرى فوقها امتداد شط العرب ، ليصب فى المحيط الهندى جنوب مضيق هرمز ، ومما يعضد من هذه النتائج الأدلة الآتية التى أشار إليها (حسن أبو العينين ، ١٩٨٩ ص ٣٢) :

- ١- ضحولة قاع الخليج العربى متفقاً فى ذلك مع خليج السويس والذى أشار ( محمد مجدى تراب ، ١٩٨٨ ) إلى أنه كان عبارة عن بحيرة مغلقة خلال فترة جليد فيرم مستنداً فى ذلك على ضحولة قاعه عن مستويات سطح البحر خلال هذه الفترة الجليدية التى كان يتراوح منسوبها بين سالب ٩٠ و ١٠٠ متر .
- ٢- ظهور مجموعة من البرك الدائرية الشكل تتشابه فى مظهرها المورفولوجى العام مع مستنقعات منطقة الأهوار الواقعة قرب المصب الحالى لشط العرب .
- ٣- انتشار رواسب الطين على أرضية الخليج العربى .
- ٤- امتداد مجموعات من الحواجز الرملية تتشابه فى مظهرها المورفولوجى العام مع الكثبان الرملية الطولية (السيوف) ، وتمتد فى إتجاه عام من الشمال الغربى إلى الجنوب الشرقى متفقة مع إتجاه هبوب الرياح الشمالية السائدة فى الإقليم ، مما يشير إلى أن هذه الأجزاء من الخليج كانت مكشوفة على سطح الأرض وتعرضها لعمليات الترسيب بالرياح قبل انغمارها بمياه الخليج.
- ٥- وجود عدد من الحواجز المرجانية تمتد على قاع الخليج بصورة موازية لخطوط سواحلها الحالية ، مما يدل على شكل ومنسوب خط الساحل القديم، والتعرف على خصائص بيئته المواتية لنمو حيوان المرجان ، وبصفة خاصة ارتفاع نسبة ملوحة المياه ونقاؤها وصفائها وخلوها من المواد العالقة.

وأوضحت نتائج الدراسات التى أجريت على سواحل الخليج أن مستوى سطح المياه بدأ فى الارتفاع التدريجى خلال مرحل متتالية بدأت فى نهاية فترة فيرم منذ ٤٥ ألف سنة واستمرت عملية الارتفاع حتى عصر الهولوسين حيث تجاوز منسوب الخليج مستواه الحالى ، وذلك بالاعتماد على نتائج تحليل البقايا العضوية وهياكل الأسماك والأصداف والرواسب غير العضوية المنتشرة والرواسب القارية المنقولة بعوامل التعرية المتراكمة على قاع الخليج .

وقد ميز كل من ( كراى Curray, 1961 ، فيربريدج Fairbridge, 1961 ، سارنثين Saranthein, 1972 ، كسلر Kessler, 1973 ) وقام (حسن أبو العينين ، ١٩٨٩ ) بعرضها ، وأمكن تمييز عدد من السواحل المغمورة على قاع الخليج على المناسيب التالية والتى يوضحها (شكل ٤-٨) :

- 
- After: Samthein, 1971

ويمكن تصنيف أدلة وشواهد الذبذبات المناخية التي حدثت لسواحل الخليج العربي إلى النوعين الآتيين :

- ١- المدرجات البحرية.
- ٢- البحيرات الساحلية.
- ٣- الألسنة البحرية.
- ٤- الحواجز البحرية.
- ٥- السبخات الساحلية.

- ١- نقاط تجديد الشباب .
- ٢- المصاطب التوأمية المزدوجة .
- ٣- تطور دالات (مراوح) الأودية .

74

قائمة بأهم المراجع :

أولاً : مراجع باللغة العربية :

١- أبو العينين ، حسن سيد أحمد ، ١٩٨٩ :

" الخليج العربى - تطوره الباليوجرافى وتذبذب مستوى سطح مياهه خلال عصر البلايستوسين " ، رسائل جغرافية ، وحدة البحث والترجمة ، قسم الجغرافيا ، جامعة الكويت ، العدد ١٢٥ ، ص ٥٥ .

٢- محمد مجدى تراب ، ١٩٨٨ :

جيومورفولوجية حوض وادى بدع - جنوب غرب السويس - الصحراء الشرقية المصرية ، رسالة دكتوراة ، كلية الآداب ، جامعة الإسكندرية .

ثانياً : مراجع بلغات أجنبية :

1. **Al-Farraj,A.M., 2002,**  
*Sabkha and Coastal Plain Development and Evolution on the Northeastern Coast of the U.A.E Gulf Coast, In: Barth & Boer (eds), Sabkha Ecosystems, 315-321.*
2. **Bush,P 1973,**  
*Some Aspects of the Diagenetic History of the Sabkha in Abu Dhabi, Pesian Gulf, 395-408, In: Purser, B.H, The Persian Gulf, Springer-Verlag, Berlin.*
3. **Butzer,K.w.,1958,**  
*Quaternary Stratigraphy and Climate in the Near East, Bonner Geographische Abhandlungen.24, 1-57.*
4. **Cornwall,P.B., 1946,**  
*Ancient Arabia: Explorations in Hasa, 1040-1041, Geogr. Journ., 107 28-50.*
5. **Curray, J.R., 1961,**  
*"Late Quaternary sea-level: a discussion." Geological Society of America, Bulletin, 72: 1707-1712.*
6. **Dalongville, R. and Sanlaville, P.1987**  
*"Confrontation des datation isotopiques avec les donnees geomorphologiques et archeologiques a propos des Variations relatives du niveau marin sur la rive arabe du Golfe Parsique" In: O. Aurenche, J. Evin and F. Hours (eds), Chronologies in the Near East. B.A.R. Int. Ser., Oxford, vol. 379: 567-583.*
7. **Evans, G. , Schemidt, v., Buch, P., Nelson, H., 1969**  
*Stratigraphy and Geologic History of the Sabkha, Abu Dhabi, Persian Gulf. Sedimentology 12, 145-159*
8. **FairBridge, R.w., 1989,**  
*"Eustatic changes in sea-level," Physics and Chemistry of the Earth, 4: 99-185.*

9. **Falcon, N.L., 1947,**  
*Raised Beaches and Terraces of the Iranian Makran Coast, Geog. Journ., 109, 149-151.*
10. **Godwin, H.S. & Willis, E.H. 1958,**  
*Radiocarbon Dating of Eustatic Rise in Ocean-level, Nature, 181, 1518-1519.*
11. **Harrison, J.V, 1941,**  
*coastal Makran, Geogr. Journ., 97, 1-17.*
12. **Houbolt, J.J.H.C., 1957,**  
*Surface Sediments of the Persian Gulf near the Qatar Peninsula, The Hague, Mouton.*
13. **Kassler, P., 1973,**  
*"The Structure and Geomorphologic Evolution of the Gulf.", In: Purser, B.(ed.) The Persian Gulf, Springer-Verlag, Berlin, 11-32.*
14. **Sanlaville, P., 1989,**  
*"Consideration Sur l'Evolution de la Basse-Mesopotamie au Cours des Derniers Millenaires." Paleorient, 15(2): 5-27.*
15. **Sanville, P. and Paskoff, R., 1986,**  
*"Shoreline Changes in Bahrain Since the Beginning of human occupation. In: S. Haya, A. Al Khalifa and M. Rice (eds), Bahrain Through the Ages. KPI, London, 15-24.*
16. **Sarnthein, M., 1972**  
*"Sediments and history of the postglacial transgression in the Persian Gulf and North West Gulf of Oman." Marine Geology, 12: 245-266.*
17. **Taylor, J.C. and Illing, L.V., 1969,**  
*"Holocene Intertidal Calcium Carbonate Cementation, Qatar, Persian Gulf." Sedimentology, 12: 69-107.*
18. **Vita-Finzi, C., 1975**  
*"Quaternary deposits in the Iranian Makran" Geographical Journal, 141: 415-420.*

الفصل الرابع  
(المبحث الأول)  
دلائل تذبذب مستوى سطح البحر على السبخات الساحلية بإمارة  
أبوظبي

أ.د. محمد مجدى تراب

**دلائل تذبذب مستوى سطح البحر على السبخات الساحلية بإمارة أبوظبي**

أصل مصطلح السبخة عربى ويقصد به المسطحات المغلقة التى يتغير مستوى مياهها الباطنية ، حيث تظهر المياه على سطحها حينما يرتفع مستوى الماء الباطنى حاملاً معه بعض الأملاح الذائبة، فتترسب على سطح السبخة خلال فصل الجفاف مكونة قشرة ملحية صلبة (صورة ٣-٤) .

### الموقع الفلكي والجغرافي :

تمتد سبخات إمارة أبوظبي كشرائط مواز لساحل الخليج تكاد تتوسطه دائرة عرض ٢٤° ، هذا إذا ما استثنينا سبخة مطي التي تتجاوز الحدود الجنوبية لدولة الإمارات عند دائرة عرض ٢٣° ش ، كما يمتد نطاق أبوظبي السبخي بين خطي طول ٤٨' ٢٤° و ٥١' ٥٠° شرقاً ، وهو يشغل معظم السهل الساحلي لإمارة أبوظبي من رأس غناصة شرقاً حتى الحدود الغربية لدولة الإمارات غرباً ، ويتفاوت اتساعه بين كيلومترين بين مدينتي طريف والمرفأ ، ويصل لحدده الأقصى في سبخة مطي لتتجاوز المائة كيلومتر ( شكل ١٤- أ ) .



شكل ( ١٤-١ ) الحدود الفاصلة بين سبخات أبو ظبي الساحلية ونطاق الغطاءات والكثبان الرملية التي تحفها من الجنوب



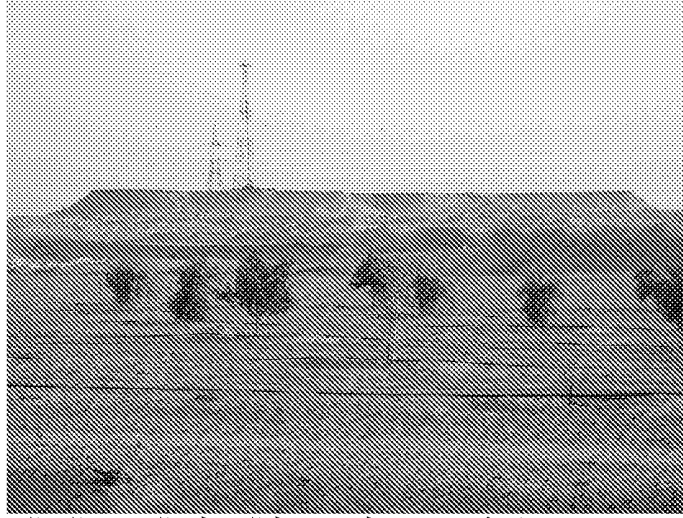
ويتوقف اتساع هذا النطاق من السبخات على مدى تراكم الكثبان والغطاءات الرملية على تخومها الجنوبية ، فليس هناك حد واضح بين هذين النطاقين ، بل يتفاوت عرض نطاق السبخات خلال فصول السنة ، حيث تقل عروضها كثيراً عند هبوب الرياح الجنوبية ، فتتحرك مجموعات الكثبان الرملية بتودة فتجور على سباح الساحل ، وفي بعض الأحوال تتقدم الكثبان الرملية نحو الساحل وتشرف عليه مباشرة لتختفي مسطحات السبخات تحت رمالها .

وحيثما تهب رياح الشمال تشند الأمواج وتسرّب مياه الخليج تحت سطح السبخة ، فترفع منسوب مياهها الباطنية وتتوغل لمسافات أكبر داخل اليابس، فتتسع مساحاتها وتتشبع تخومها بالمياه ، لتتصد قطرات الماء المشبعة بالأملاح نحو سطح السبخة بالخاصية الشعرية ، لتتسرب الأملاح على السطح في موسم الجفاف مكونة قشرة ملحية متصلبة . وتتباين أشكال السبخات ومدى صلابتها قشرتها الملحية وفقاً لتركيبها المعدني .

وتتراوح مناسيب سبخات إمارة أبوظبي بين متر واحد وثلاثة أمتار في أغلب أجزائها ، ولا يخلو الأمر من بعض الأحواض المغلقة التي تنخفض سطوحها إلى مادون مستوى البحر ، فتساعد على تكوين بعض البرك والمستنقعات الموسمية ، إلا أنها قصيرة العمر فهي سرعان ما تتحول إلى مسطحات ملحية أثناء فصل الصيف ، مع اشتداد القيط فيعجل من تبخر مياهها بمعدلات لا تلاحق التعويض الشحيح بالتسرب من مياه الخليج ولا سيما في فترات المد . كما تبرز من مسطح السبخات مجموعات متناثرة من الموائد الصحراوية *Mesas* والتلال الشاهدة *Buttes* لا يتجاوز ارتفاعها الأمتار الثلاثة، و تتميز باستواء وتمائل مناسيب سطوحها ، وتشكل على سطوحها قشرة جيرية متصلبة، يميل لونها للرمادي الداكن ، وتعمل على حماية كتلة المائدة الصحراوية من النحت ، وتتكون هذه التلال من الأحجار الرملية الجيرية الميوسينية ، وتبدو منحدراتها الجانبية مقوسة وغائرة للداخل بتأثير النحت بالرياح ، و نشع المحاليل الملحية للسطح فتجوى مكوناتها ، وتسهل من مهمة نهشها بالرياح (صور ١٤-أ ، ١٤-ب) .



صورة ( ١٤-أ ) تل شاهد *Butte* يبرز وسط المسطح السبخي غرب مدينة المرفأ بحوالي ١٨ كيلومتر



صورة ( ٢٤- ) مائدة صحراوية *Meza* تظهر وسط المسطح السبخى إلى الشرق من مدينة بينونة بحوالى ٤٢ كيلومتر

#### أدلة تذبذب مستوى سطح البحر :

يمكن تمييز عدد من الأدلة الجيومورفولوجية على أجزاء السبخات الساحلية بإمارة أبوظبي ، تشير إلى تذبذب مستوى سطح المياه فى الخليج العربى خلال الزمن الرابع ، وأهم هذه الأدلة ما يلى :

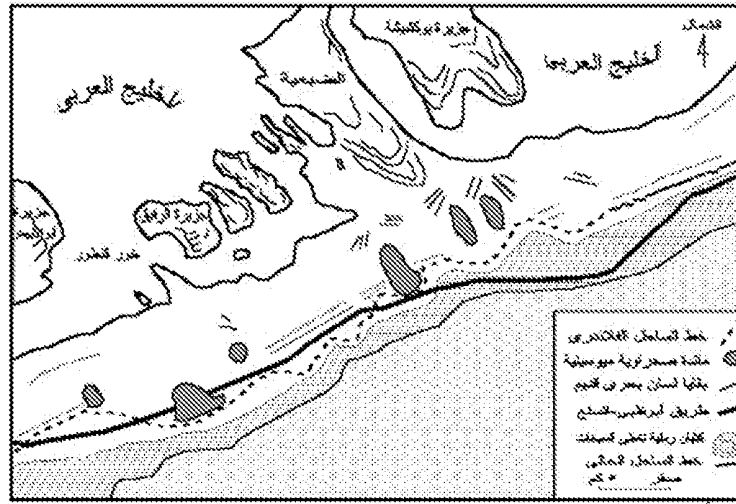
١. تبرز وسط المحيط السبخى المستو مجموعة متوازية من الحواجز الطولية *Longitudinal Bridges* ، تمتد موازية لخط الساحل الحالى على الهوامش الشرقية للسبخات الساحلية ، لا يتجاوز ارتفاعها أكثر من بضعة عشرات من السنتيمترات وأقل من المتر الكامل ، تتباين ألوانها بين البترقالي والبني ، تتألف من رمال خشنة الحبيبات مختلطة بشظايا الأصداف البحرية من نوع *(Gastropods)* ، ومكسورات الشعاب المرجانية ، والكتل الصخرية المقطحة (كتل دائرية الشكل رقيقة السمك) بتأثير التعرية بالأمواج واحتكاك هذه الكتل بتكوينات المنطقة الساحلية *Coastal Zone* ، كما تُحدد منحدراتها المشرفة على الساحل مجموعات من قنوات الجزر *Tidal Channels* الحديثة التشكيل (شكل ٢٤-٣) . ويرجح تكون هذه المجموعة من الحواجز البحرية إبان فترة الطغيان الفلاندرى *Flandrian Transgression* فى مستوى سطح مياه الخليج العربى الذى حدث منذ ألف عام . تبرز وسط المسطح السبخى للإقليم مجموعة من أشكال الشواهد الصحراوية *Zeugen*<sup>٦</sup> مثل التلال الشاهدة والموائد الصحراوية ، تتميز باستواء سطوحها وتمائل مناسبها بدرجة جديرة بالملاحظة ، ومغطاة بقشرة جيرية صلبة تحميها من عوامل النحت بالرياح ، وتقسم هذه المجموعة من التلال إلى مجموعتين وفقاً لأعمارها :

- المجموعة الأولى منهما تبدو على شكل تلال شاهدة *Buttes* صغيرة الحجم لا يتجاوز ارتفاعها بضعة أمتار فوق المسطح السبخى المستو ، تتميز بلونها الرمادى الفاتح ، وتتشابه تكويناتها الرملية مع رواسب أرضية السبخة ،

<sup>٦</sup> أطلق مصطلح الشواهد الصحراوية على مجموعة من التلال المتباينة الأشكال إلا أنها تتفق فى أن سطوحها مستوية ومتماثلة المنسوب ، وتشهد على وجود سطح تعرية قديم ، وتعدد أشكال هذه التلال وفقاً لمدى تأثرها بعوامل التعرية بالرياح والتحلل الكيميائى بمياه المطر والرطوبة الجوية ، وأهم أشكالها : الموائد الصحراوية ، قواعد التماثيل ، التلال الشاهدة ، التلال المزدوجة القمم ، عش الغراب وغيرها .. للدراسة التفصيلية راجع (محمد مجدى تراب ، أشكال الصحارى المصورة ، ١٩٩٦ .

وتنتشر بها شظايا الأصداف البحرية (صورة ١-٤)، رجع العديد من البحاثة أنها قد تكونت خلال عصر البلايستوسين ، أثناء فترات ارتفاع مستوى سطح مياه الخليج العربى (Evans & Kirkham, 2002,p.11)

- وتتميز المجموعة الثانية من أشكال الشواهد بكبر أحجامها وارتفاع مناسيبها ، وتكونها من الأحجار الجيرية الميوسينية الصلبة ، وتميل ألوانها للرمادى الداكن ، وتتميز سطوحها بالاستواء ، وتظهر على منحدراتها الجانبية آثار التحلل الكيميائى بمياه المطر والرطوبة الجوية ، كما تتقوس جوانبها بالبرى بالرياح ، وتحزرها المسيلات المائية الشديدة الانحدار Gullies. ولكن هناك بعض الدلالات التى تشير إلى أنها أقدم عمراً من تلال المجموعة السابقة ، إذ تظهر على منحدراتها مجموعة من المصاطب والدرجات الصخرية ترتبط فى مناسيبها مع تلال المجموعة الأولى البلايستوسينية المحدودة الارتفاع (صورة ٢-٤).



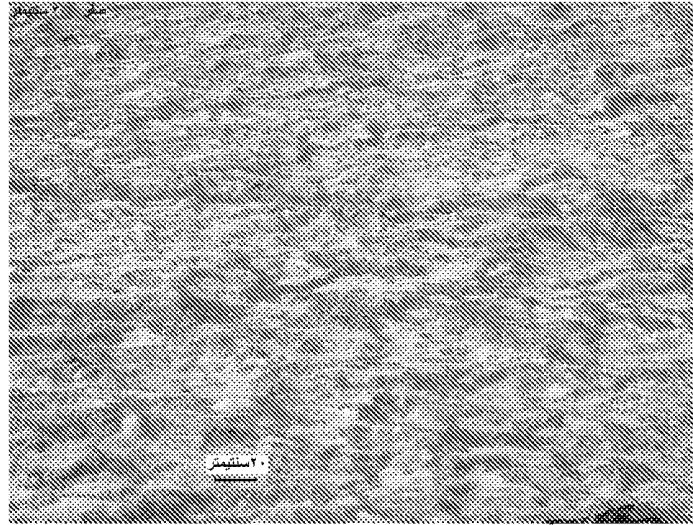
شكل ( ٢-٤ ) العلاقة بين خط الساحل خلال فترة الطغيان البحرى الفلاندري والموائد الصحراوية الميوسينية (After:Kirkham,1997)

٢. تبرز من القاع الضحل لمياه الخليج المتاخمة للسبخات الساحلية بأبوظبي ، مجموعة من الجزر الطولية المنخفضة المنسوب المتوازية من ناحية ، والموازية لخط الساحل من ناحية أخرى ، وأهمها الجزر المتاخمة لجزيرة أبوظبىسى (الوحييل وشرابى وأبو حنبل والسعديات والفطيسى وحالة البحرانى ، وبوكشيشة ، وأبو الأبيض ، ومروح ، وحسير بنى ياس ، ودلمسا ، والنياسات) ، وهى تتميز بتكويناتها الرملية المفككة المختلطة بالأصداف البحرية والشعاب المرجانية ومكسوراتها، وتبدو على سواحلها مجموعتين من المدرجات البحرية يتراوح منسوب الأولى منهما بين ٦ و ٨ أمتار ، ويتأرجح منسوب المجموعة الثانية حول المترين ، بما يتفق مع مستويات بقايا المدرجات البحرية التى تم تمييزها على سواحل جزيرة صير بنى ياس (شكل ٥-٤).

٣. أظهرت عمليات الحفر فى أرضية المسطحات السبخية المتاخمة لخليج "سلوى" التى قام بها (Darwish & Conley,1989)، وجود حقول للكثبان الرملية الحفرية مدفونة تحت رواسب السبخة ، مما يشير إلى سيادة تأثير عامل الجفاف ، قبل فترة الانغمار الفلاندري وطغيان مياه الخليج العربى على اليابس المجاور.







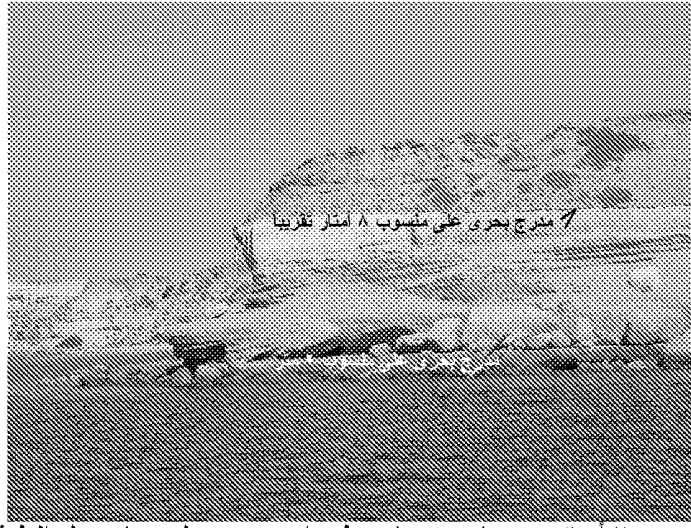
صورة (٣-٤) القشرة الملحية التي تغطي المسطح السبخى



صورة (٤-٤) منظر عام للقبة الملحية في جبل الظنة



صورة (٥-٤) ثلاث مدرجات بحرية تظهر على مناسيب ١٩ و ٨٠٣٠ و ١٠٩٠ متر ، على الجانب الشرقى لميناء جبل الظنة



صورة (٦٤-٦) مدرجان بحريان يظهران عند مدخل ميناء جبل الظنة

قائمة المراجع :  
 أولاً : مراجع باللغة العربية :  
 ١ . محمد مجدى تراب، أشكال الصحارى المصورة ، الإسكندرية، ١٩٩٦ .  
 ثانياً : مراجع بلغات أجنبية :

1. **Al-Farraj,A.M.,2002:**  
*Sabkha and Coastal Plain Development and Evolution on The Northeastern Coast of the U.A.E. Gulf Coast, In: Barth & Khuwer (Eds.) Sabkha Ecosystems, Kluwer Academic Publishers, Netherlands , pp.315-321.*
2. **Darwish,A.H. and Conley, C.D., 1989:**  
*Pleistocene-Holocene Sedimentation and Diagenesis Along the King Fahd Causeway between Saudi Arabia and Bahrain, JKAH Earth Science, Vol.3.Special Issue !st Saudi Symposium on Earth Sci. Jeddah,pp.63-79.*
3. **Evans, G. and Kirkham, A.,2002:**  
*Distribution of Sabkhat Within the Arabian Peninsula and the Adjacent Countries, The Abu Dhabi Sabkha In: Barth & Khuwer (Eds.) Sabkha Ecosystems, Kluwer Academic Publishers, Netherlands pp.7-20.*
4. **Evans, G., Schmidt,P. , Bush., H. Nelson, 1969:**  
*Stratigraphy and Geological History of the Sabkha, Abu Dhabi, Persian Gulf, Sedimentology, V.12,P.145-159.*
5. **Farbridge,R.W., 1961:**  
*Eustatic Changes in Sea-Level, Physics and Chemistry of the Earth , V.4,pp.99-185.*
6. **Kassler,P., 1973:**  
*The Structural and Geomorphic Evolution of the Persian Gulf, In Purser,B.H. (Ed.)The Persian Gulf, Berlin, Springer-Verlag,pp.11-32.*
7. **Kendall,C.G., Al-Sharhan,A.,S. & Cohen, A., 2002:**  
*The Holocene Tidal Flat Complex of the Arabian Gulf Coast of Abu Dhabi, In Barth & Khuwer (Eds.) Sabkha Ecosystems, Kluwer Academic Publishers, Netherlands,pp.21-35.*
8. **Kirkham,A.,1997:**  
*Shoreline Evolution, Aeolian Deflation and Anhydrite Distribution of the Holocene, Abu Dhabi, Geo-Arabia, Vol.2, No.4, Gulf Petro-Link, Bahrain, pp.403-416.*



## الفصل الرابع

### (المبحث الثانى)

شواهد تغيرات مستوى سطح البحر خلال الزمن الرابع  
على سواحل جزيرة صير بنى ياس

أ.د. محمد مجدى تراب

## المبحث الثانى

# شواهد تغيرات مستوى سطح البحر خلال الزمن الرابع على سواحل جزيرة صير بنى ياس

## مقدمة :

تقع جزيرة صير بنى ياس<sup>٨</sup> فى مواجهة رأس جبل الظنة بالجزء الغربى من ساحل إمارة أبوظبى التابعة لدولة الإمارات العربية المتحدة ، عند تقاطع دائرة عرض ٢٤° ٣٤' شمالاً مع خط طول ٥٢° ٤٠' شرقاً ، وتبعد عن الساحل بحوالى ثمانية كيلومترات ، وتبلغ مساحتها حوالى ٢٣٠ كيلومتر مربع ، وأضيفت إليها جزيرة صناعية بمساحة ١٠ كم<sup>٢</sup> تستغل فى زراعة الخضروات والفاكهة ومحطة للتجارب الزراعية ، و بذلك تتبوأ جزيرة صير بنى ياس المركز الثالث بين جزر دولة الإمارات من حيث المساحة (شكل ٤ ب - ١ ، شكل ٤ ب - ٢) .

وتبدو الجزيرة على شكل بيضاوى مسحوب إلى اتجاه اليباس ، ولذلك فهى تظهر على الخرائط على شكل قطرة من الماء كأنها تنساب نحو خط الساحل عند منطقة جبل الظنة ، وعلى ذلك يبلغ طول الجزيرة عند محورها الشمالى / الجنوبى حوالى ١٠ كم ، أما عرضها الممتد من الشرق للغرب فلا يتعدى أكثر من ٨ كم (شكل ٤ ب - ٣) .

## تاريخ الاستيطان البشرى فى الجزيرة :

تبوح عمليات التنقيب الأثرى التى أجريت فى أنحاء متفرقة من الجزيرة أنها كانت موطناً للاستيطان البشرى منذ حوالى سبعة آلاف سنة ، إذ تمكنت بعض البعثات الأثرية من العثور على بعض الأدوات الحجرية كان يستخدمها سكان الجزيرة الأوائل فى الصيد والقنص خلال العصر الحجري ، وأشارت نتائج تأريخ عمرها بالعناصر المشعة أنها ترجع لفترة زمنية تتراوح بين ٥ و ٧ آلاف سنة من الوقت الحاضر ، واستمر استقرار السكان فى الجزيرة حتى نهاية العصر الاسلامى ، إذ اكتشفت آثار لثلاث قرى ترجع إلى أوائل القرن التاسع عشر ، هى قرية "عوافى" على الساحل الغربى للجزيرة ، وقريتى "الضهير" و"الدنان" على ساحلها الشمالى ، كما تم التنقيب على بقايا مسجد قديم وبعض الآبار والقنوات المائية المحفورة بغرض رى المزارع وشجيرات الزيتون ونخيل التمر، وكان يحترف سكان هذه

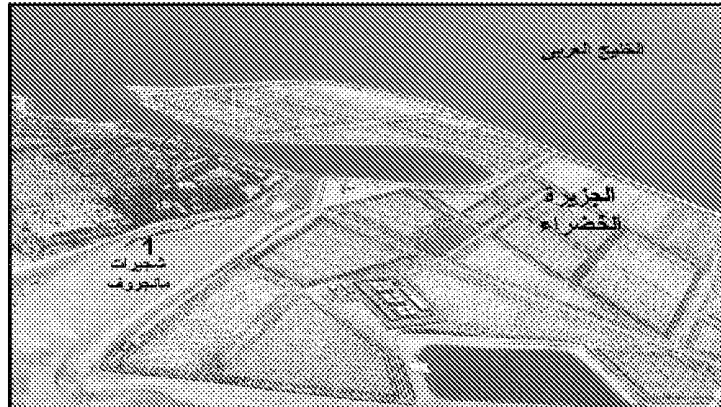
<sup>8</sup> تعنى كلمة صير رقعة من الأرض يمتلكها شخص بالميراث ، أو على المناطق الصخرية المرتفعة ، كما تطلق باللهجة الإماراتية المحلية على المكان الذى تتوافر به المياه العذبة (هيئة أبحاث البيئة والحياة الفطرية وتنميتها ، بدون تاريخ ص ١) .

القرى صيد الأسماك والغوص لاستخراج محار اللؤلؤ ، ولكن هجر سكان الجزيرة قراهم العامرة ورحلوا عنها منذ حوالى مائة عام ، بعد جفاف الآبار وانقطاع الغيث بعد تحول المناخ للجفاف ( صورة ٤ ب-١ ، شكل ٤ ب-٤ ) (Potts, D.T., 1997).

وتم تحويل الجزيرة إلى محمية طبيعية عام ١٩٧٠ وجعلها ملاذا وموئلا لحماية بعض الحيوانات والطيور المهددة بالانقراض ، وهى تضم أكثر ٦٠ ألف رأس تنتمى لنحو ٢٢ نوع من الحيوانات البرية خاصة المها العربى والزراف والأيائل والكباش الأغنام البرية وظباء الماء والبقر الوحشى ، وحوالى ٨٦ نوعاً من الطيور من بينها الحبارى والنعام والسمان والشكور والبلابل والبط وغيرها (شكل ٤ ب-٥ ، صورة ٤ ب-٢) .



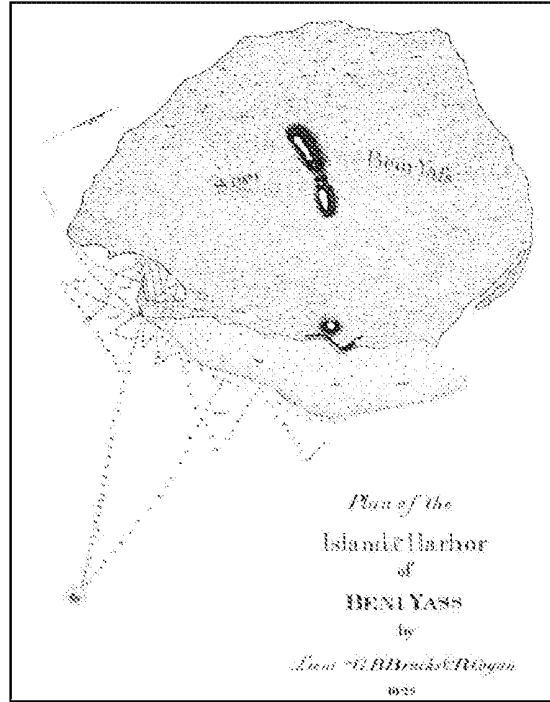
شكل ( ٤ ب-١ ) الموقع الجغرافى لجزيرة صير بني ياس



شكل ( ٤ ب-٢ ) ملامح الجزيرة الخضراء تكسوها مزارع الفواكه التى أضيفت بردم الأجزاء الجنوبية من جزيرة صير بني ياس

المصدر : Vine, P., 1999 p.41





شكل (٤ ب-٤) خريطة تاريخية كانت تستخدم فى الملاحة البحرية على سواحل جزيرة صير بنى ياس عام ١٨٢٢ ويظهر بها اللسان البحرى الجنوبى الذى يستخدم فى الوقت الحالى كمرفأ للقوارب- المصدر : Vine, P., 1999 p.14

#### الهدف من الباحث وأساليبه ووسائله :

تعتمد الدراسة الحالية على الرفع الميدانى للشواهد والأدلة المتبقية عن الذبذبات المناخية التى حدثت فى الزمن الرابع ، باستخدام أساليب التصوير الرقمى سواء الفوتوغرافى أو بأشرطة الفيديو<sup>٩</sup>، باتباع أسلوب الحصر الشامل لسواحل الجزيرة ووحداتها الجيومورفولوجية الأخرى ، وتمت هذه العملية من خلال زيارتين ميدانيتين تمت خلال شهر مايو ٢٠٠٢<sup>١٠</sup>، واستغرقت كل زيارة منهما يومى عمل ، تنقل خلالها بسيارة دفع رباعى . وقام الباحث بإعادة

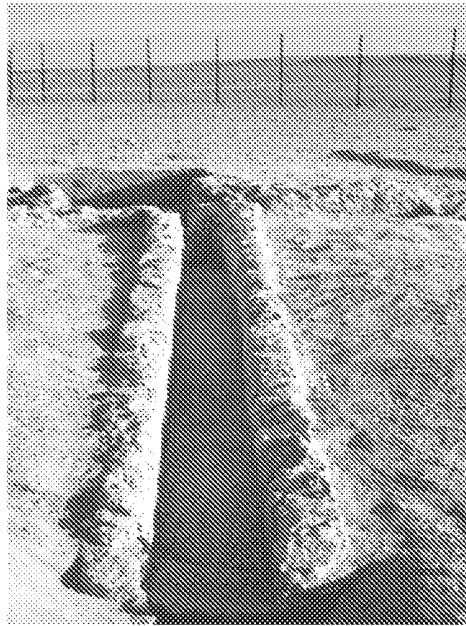
<sup>٩</sup> بلغ عدد الصور الفوتوغرافية الرقمية Digital Photography حوالى ٥٠٠ صورة مقسمة إلى ١٤ موقع ميدان ، ويرتبط كل موقع منها بفيلم فيديو قصير Video Clip مدته حوالى ١٠ دقائق وهو يشتمل على ملامح أحد المواقع بالجزيرة مع تسجيل الملاحظات الميدانية صوتياً أثناء التصوير ، مع تحديد الموقع الميدان وترميزه على خريطة أساس Base Map. مستمدة من مرئية فضائية (NASA-Challenger) مأخوذة فى ٢٤ أكتوبر ٢٠٠١ بمقياس ١ : ١٠٠٠٠

<sup>١٠</sup> وفرت إدارة الحماية الطبيعية بالجزيرة مشكورة الإقامة والإعاشة الكاملة أثناء الزيارتين ، وأمدته بسيارة دفع رباعى مع مرافق من العاملين بالحماية ، كما سمحت له بالتجول فى أنحاء الجزيرة بلا قيود ، وأمدته ببعض البيانات اللازمة لإنجاز هذا البحث . كما قدم الباحث بدوره لإدارة الحماية خريطة سياحية قام بإنشائها للمعالم الجغرافية للجزيرة بنسختين إحداها باللغة العربية والثانية باللغة الإنجليزية .

تفريغ وفرز البيانات وتبويبها مكتبياً قبل توقيع النتائج على مرئية فضائية حصل عليها من إدارة المحمية الطبيعية بالجزيرة .

#### الدراسات السابقة :

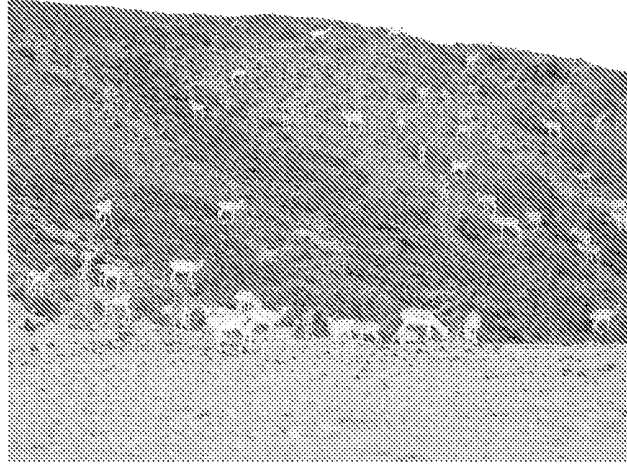
لم تتل جزيرة صير بنى ياس بحظها من الدراسات التفصيلية التى تعنى بتتبع مظاهر تذبذب سطح البحر ، ولكنها كانت مسرحاً للعديد من الدراسات التى تناولت الخصائص الترسيبية لسواحل الجزيرة ضمن أعمال تناولت سواحل إمارة أبو ظبى وسبخاتها ، أو اهتمت بسواحل دولة الإمارات أو الخليج العربى بصفة عامة ، ومن أهمها الدراسة الرائدة التى قدمها (Purser, B.H., et al, 1973) والتى تشتمل على ٢١ بحث يتناول خصائص رسوبيات المياه الضحلة لسواحل الخليج خلال عصر الهولوسين وهى دراسات معمقة استفاد الباحث منها كثيراً عند إعداد هذه الدراسة ، والمجلد الذى أصدره المكتب الإقليمى لليونسكو فى الخليج بالتعاون مع هيئة أبحاث البيئة والحياة الفطرية وتنميتها بدولة الإمارات ، وقام بجمع وتحرير بحوثها والتعليق عليها (Bath, H & Boer, B., 2002) ، ويضم هذا المجلد حوالى ٣٠ بحث تتناول خصائص النظم الحيوية فى سبخات شبه الجزيرة العربية والدول المتاخمة لها .



صورة (٤ ب - ١) قناة مائية قديمة كانت تستخدم فى رى المزارع

فى العصر الإسلامى ، مصدر الصورة :- <http://www.adias>

[uae.com/adiasgallery.html](http://uae.com/adiasgallery.html)



صورة (٤ ب ٢) قطيع من الغزال العربى تمرح طليقة  
على سفوح القبة الملحية التى تتوسط الجزيرة

#### الخصائص الطبيعية :

تتوسط الجزيرة قبة ملحية تشكل عمودها الفقرى على شكل دائرة يبلغ قطرها حوالى ٤ كم ، ويصل منسوب قممتها لنحو ١٥٠ متر ، تحزرها مجموعة من المسيلات الجبلية الإشعاعية ، شاركت هذه النظم الفيضية فى بناء نطاق من الباهادا أو الباجادا مكونة من المواد الرسوبية المنقولة بالماء الجارى سواء خلال الفترات المطيرة من الزمن الرابع أو أثناء السيول المتساقطة خلال فترات الجفاف الحالية .

كما تتحدد سواحل الجزيرة بسهل ساحلى تختلط به حبيبات الطفل الفيضى مع الرسوبيات البحرية التى تتألف من شظايا الأصداف و المحاريات والشعاب المرجانية وهياكل الكائنات البحرية المتكلسة مع حبيبات الرمل والحصى والحصباء والكتل الحجرية المجواه (أشكال من ٤ ب ٦ إلى ٤ ب ٨) .

شيكلي (٤-ب-٥) الملاح الجغرافية للجزيرة (مسح ميداني للباحث)

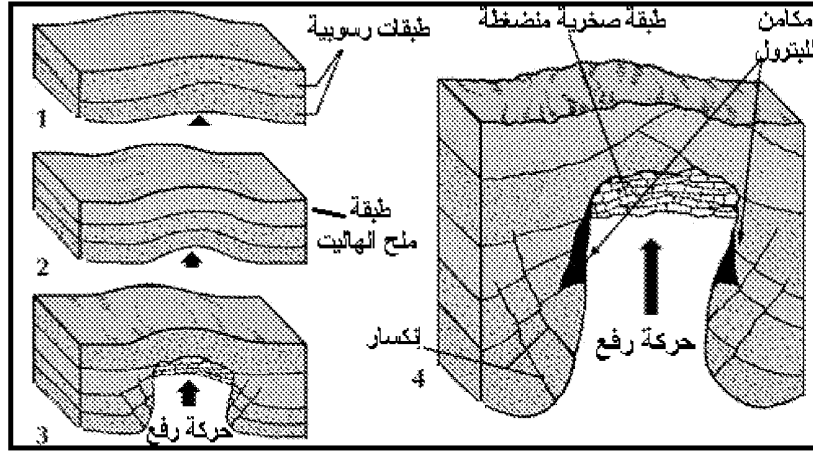








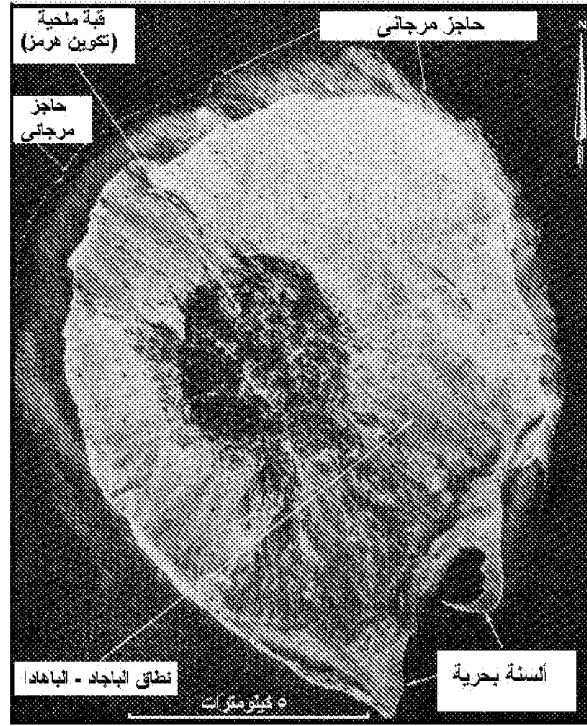
الضغط الجوفية *Tectonic Forces* ، فتعمل على بروزها ورفعها نحو سطح الأرض (شكل ٤ ب-٩) .



شكل (٤ ب-٩) مراحل تكوين القباب الملحية

ثانيهما : العوامل الخارجية وهي تنقسم بدورها إلى ثلاث مجموعات فرعية من العوامل الخارجية هما :

١- عوامل التعرية : وهي تتمثل بصورة أساسية في تساقط الأمطار القديمة على القبة ، وساهم جريان مياه المطر سطحياً في حفر بعض القنوات المائية والمسيلات الجبلية *Gullies* الإشعاعية ، التي تنبع من القمة الجبلية للقبة وتصب عند سواحل الجزيرة ، وشاركت هذه النظم الفيضية القديمة في بناء النطاق الرسوبي الذي يحيط بالقبة الملحية (الباهادا *Bahada* أو الباجادا *Bajad*). ولكن مع تحول المناخ إلى الجفاف تغير نظام جريان هذه الشبكة إلى الجريان الموسمي المتقطع المرتبط بتساقط السيول الفجائية النادرة الحدوث. أما التعرية البحرية فكان لها تأثيراً كبيراً في تعديل المظهر المورفولوجي لسواحل الجزيرة وبناء سهلها الساحلي من ناحية وتكوين نطاق من حواجز الشعاب المرجانية التي تحيط بسواحلها واختلاط الرواسب البحرية المصدر مع الرواسب القارية المنشأ سواء المجواه أو الفيضية أو المنقولة بفعل الرياح (شكل ٤ ب-١٠).

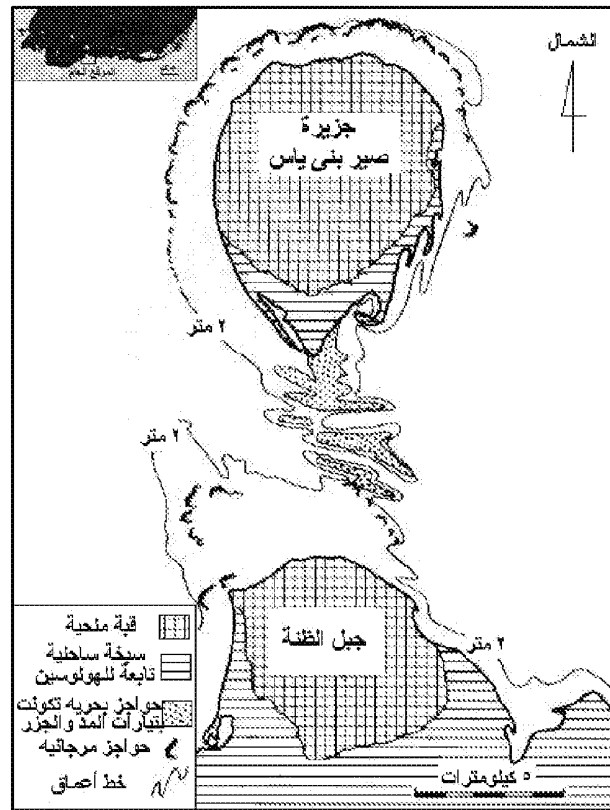


شكل (٤ ب - ١٠) صورة جوية رأسية لجزيرة بنى ياس توضح ملامحها الجيومورفولوجية خلال النصف الثاني من القرن العشرين (غير محددة التاريخ) مصدر الصورة: Purser, 1973 p.18

## ٢- تغيرات مستوى سطح المياه فى الخليج العربى : هناك نوعان من الذبذبات فى مستوى سطح المياه هما :

- التغيرات التى تحدث بصورة يومية بتأثير تيارات المد والجزر والتى ساهمت ولا تزال تشارك - إلى جانب الأمواج والتيارات البحرية - فى إعادة توجيه الرواسب البحرية ونقلها سواء من المسطح البحرى نحو الجزيرة مع تيار المد ، أو العكس أى من يابس الجزيرة نحو مسطح الخليج مع تيار الجزر ، ولذلك فى تسهم فى تشكيل الملامح المورفولوجية لسواحل الجزيرة وتكوين بعض الظواهر المنتشرة على سواحل الجزيرة والقاع الضحل المتاخم لها مثل الألسنة البحرية *Marine Spit* والحواجز البحرية الرملية والحصوية *Sand & Shingle Bars* ، سواء البارزة فوق سطح البحر بصفة دائمة أو التى تظهر أثناء فترات الجزر فقط ، أو المغمورة تحت

سطح المياه بصفة دائمة ، وينتشر هذا النوع من الحواجز المغمورة على القاع الضحل المحصور بين يابس الجزيرة وساحل منطقة جبل الظنة (شكل ٤ ب - ١١) ، سهول الشاطئية الرملية والحصوية Sand & Shingle Beaches والبحيرات الساحلية Lagoons والسبخات الساحلية Coastal Sebkha وغيرها<sup>١١</sup>.



شكل (٤ ب - ١١) الحواجز البحرية المغمورة على قاع الخليج في المنطقة المحصورة بين جزيرة بني ياس وجبل الظنة والسبخات الساحلية التي تكونت في عصر الهولوسين -

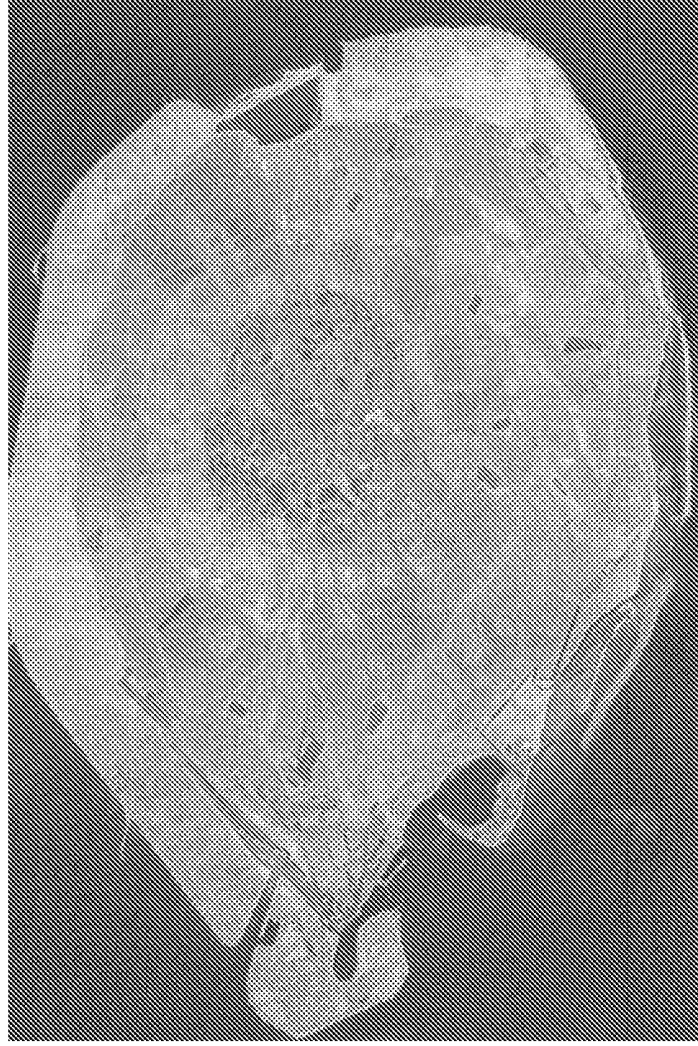
المصدر: Loreau , & Purser, 1973 p.288

- التغيرات التي حدثت في مستوى سطح مياه الخليج خلال الزمن الرابع بتأثير التغيرات المناخية ، وهي التي سنركز عليها في بحثنا هذا ، التي كان لها تأثيراً واضحاً في مورفولوجية الجزيرة ورسم

<sup>11</sup> للدراسة التفصيلية في ظاهرات النحت والإرساب البحري راجع : محمد مجدى تراب ، أشكال السواحل المصورة ، منشأة المعارف ، الإسكندرية ، ١٩٩٧ .

سواحلها بل واتصالها باليابس خلال بعض فترات انخفاض مستوى سطح الخليج إلى مادون المترين أو الأمتار الخمسة فى بعض الفترات ، وهو أقصى عمق للمنطقة التى تفصل الجزيرة عن اليابس المتاخم لها (شكل ٤ ب-١١) . ولذلك تنقسم الشواهد الجيومورفولوجية الناتجة عن تذبذب مستوى سطح البحر إلى نمطين هما : الأدلة الناتجة عن التغيرات الموجبة أى ارتفاع مستوى المياه الناجم عن الدفء وارتفاع درجة حرارة الغلاف الجوى وذوبان بعض الكتل الجليدية من المناطق القطبية وشبه القطبية وإضافتها للمساحات البحرية فى العالم وهى التى تمكن الباحث من رصدها على سواحل الجزيرة ، والنمط الثانى هو الشواهد الناجمة عن التغيرات السالبة أى انخفاض مستوى المياه المصاحب للفتترات المناخية الباردة مما يسهم فى انحباس جزء من المياه على القمم الجبلية فى العروض الباردة فى صورة قلنسوات وغطاءات *Ice Caps & Ice Sheets* من الثلج فتخفض من مستويات البحار العالمية ومن بينها الخليج العربى ، ولذلك فهى مغمورة تحت مستوى سطح البحر الحالى ، ولم يتمكن الباحث بالوسائل التى أتاحت له من رصدها ودراستها .

٣-التغيرات البشرية : وهى تشمل على التدخلات البشرية التى حدثت سواء خلال مراحل الاستيطان البشرى القديمة أو الناتجة عن تحويلها لمحمية طبيعية للمحافظة على بعض الحيوانات والطيور من الاندثار ، وتشتمل على إنشاء المراسى لرسو القوارب والمنائر لإرشادها إنشاء الإبحار ، أو حفر آبار المياه داخل اليابس وتمهيد ونقل الرواسب الفيضية من بطون الأودية وسهل الباجادا نحو ساحلها الساحلى، وتعديل بعض ملامح خط الساحل (شكل ٤ ب-١٢) .



شكل (٤ ب-١٢) مرئية فضائية (NASA-Challenger) مأخوذة في ٢٤ أكتوبر ٢٠٠١،  
توضح التغيرات المورفولوجية التي حدثت للجزيرة بتأثير التدخل البشرى وإضافة أجزاء إلى  
سهولها الساحلية

#### شواهد تغيرات مستوى سطح البحر:

أسفرت نتائج الدراسة الميدانية عن الكشف على مجموعة من الشواهد والأدلة تشير  
إلى مستويات سطح الخليج العربى خلال فترات الدفاء من عصر الهولوسين ، ويمكن تقسيم  
هذه النتائج إلى نوعين من الشواهد يتعلق النوع الأول منهما ببقايا المدرجات البحرية  
*Marine Terraces* ، أما النوع الثانى فيختص بالأدلة المرتبطة بالألسنة والحواجز البحرية  
*Marine Spits & Bars* التى ترجع لعصر الهولوسين (شكل ٤ ب-١٣) :

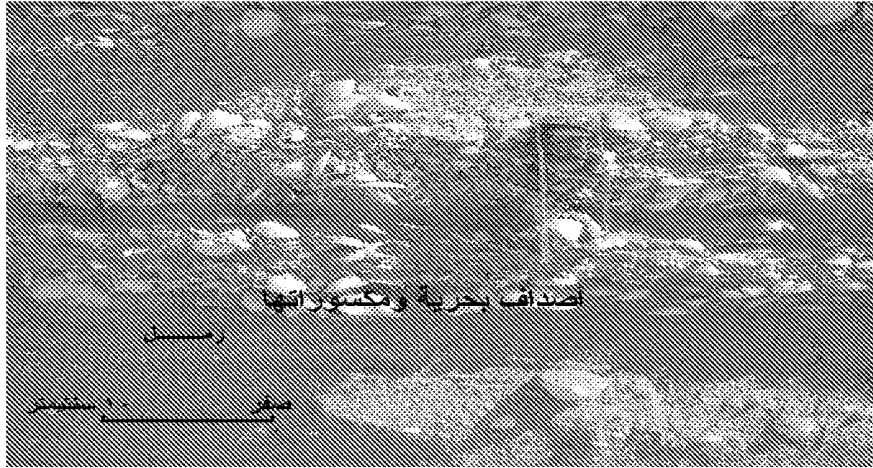


## ١- بقايا المدرجات البحرية :

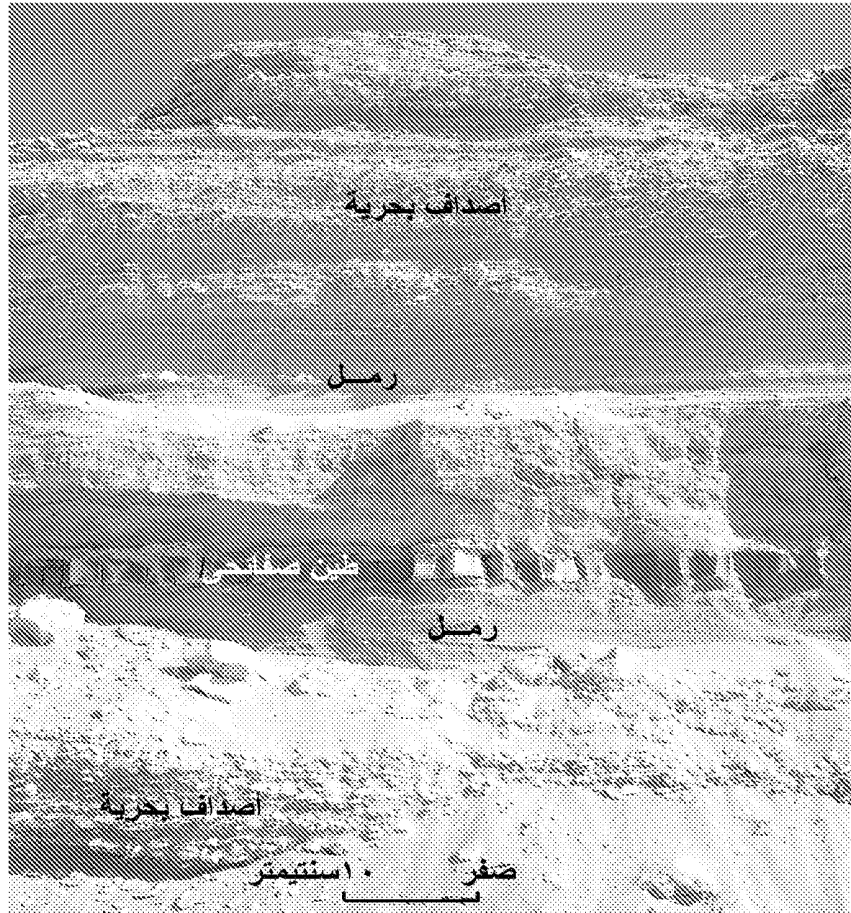
لوحظ وجود بقايا لمدرجين بحريين على أجزاء مبعثرة بالقرب من سواحل الجزيرة الحالية ، ويتميز هذين المدرجين بمجموعة من السمات والخصائص الجيومورفولوجية والرسوبية الآتية :

- تتوزع بقايا المدرجين على جميع أنحاء الجزيرة بلا استثناء، بعد استبعاد السهل الساحلى الذى تم ردمه بالتدخل البشرى ، راجع التوزيع الجغرافى لهذه البقايا (شكل ٤ ب-١٣) .
- تتميز أسطح هذه البقايا بالاستواء أو الانحدار الهين فى اتجاه خط الساحل الحالى ، وتتحدّر مقدماتها فى اتجاه الساحل انحداراً شديداً بل وجرفياً فى معظم الأحيان .
- يظهر المدرج السفلى (الأحدث) بصورة أكثر قرباً من خط الساحل ، وتتبعثر خلفه بقايا المدرج الأعلى (الأقدم) داخل يابس الجزيرة .
- تتكون بقايا المدرج العلوى (الأقدم) وبصفة خاصة فى مدرج خضيرة على الساحل الغربى للجزيرة ، من حبيبات رملية مندمجة مع أصداف كاملة ومكسوراتها والمحاريات والشعاب المرجانية على شكل أفق متتابعة مع أفق رقيق لا يزيد سمكه عن ثلاثة سنتيمترات يتألف من الطين الصفائى المتصلب، وهو يشير إلى حدوث فترة من الجريان الفيضى القديم مصاحبة لفترة مطيرة لكن لم يتمكن الباحث من تحديد عمر هذه الفترة بسبب عدم توافر وسيلة لتأريخ عيناتها بالتحلل الاشعاعى أو البقايا الحيوية المنطمة بها ( صور من ٤ ب ٣- إلى ٤ ب ٥) .





صورة (٤ ب -٤) منظر تفصيلي يوضح انتشار الأصداف البحرية ومكسوراتها في مدرج خضيرة



صورة (٤ ب -٥) مقطع تصويرى فى رواسب مدرج خضيرة يوضح تتابع الأفاق المتكونة من الرمل وطين الصفائحى والأصداف البحرية

- تتشابه مكونات المدرج السفلى (الأحدث) مع نظيرتها الأقدم لكنها تتميز عنها بانتشار بعض الحصى والكتل الصخرية تتراوح أقطارها بين سنتيمتر واحد إلى ١٨ سنتيمتر ، وتختلف ألوانها بين اللون الرمادى الفاتح إلى الأحمر المتباين الدرجات ، ويرجح أن بعض هذه الكتل قد نقلت من القبة الملحية مع اندفاع الجريان السطحي ، ثم أعيد نقلها بالتدحرج أو الجر *Attrition* ، وإعادة ترسيبها مع حركة الأمواج ، إذ أن أشكالها تتميز بالتفطح - أى أنها دائرية الشكل وقليلة السمك، مما يدل على تأثر هذه الكتل بالنحت البحرى (صورة ٤ ب-٦) .

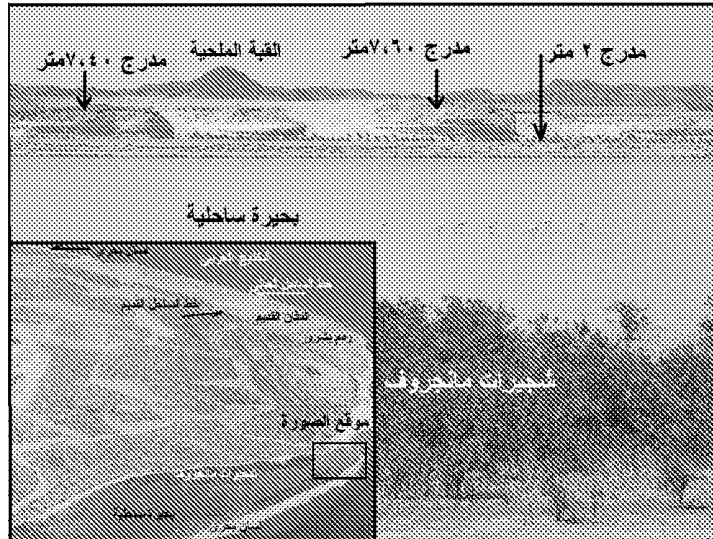
- تندمج فى بقايا المدرجين البحرين قطع ومكسورات من الشعاب المرجانية الميتة ، ولوحظ وجودها بصفة خاصة فى البقايا المتمثلة على السواحل الشمالية للجزيرة ، فى منطقتى وادى الملح ووادى النخيل ، وربما يرجع ذلك إلى ملائمة الخصائص الطبيعية لمياه الخليج أثناء فترات تكوين هذين المدرجين لنمو حيوان المرجان ، مما يشير إلى أن حرارة مياه الخليج فى هذه الفترات كانت مرتفعة بصورة تتشابه مع الوقت الراهن ، كما أن مياه الخليج كانت خالية من الشوائب والمواد العالقة التى تعوق نمو المرجان ، مما أدى إلى تركيز نمو المرجان القديم على السواحل الشمالية الأقرب من سطح الخليج المفتوح ، حيث تقلل التيارات البحرية من تعلق حبيبات الطمي بمياه الخليج (أشكال ٤ ب-٣ ، ٤ ب-١٢ ، ٤ ب-١٣ وصور ٤ ب-٧ ، ٤ ب-٨) .

- تظهر بقايا المدرجين البحرين على منسوب يتراوح بين ٦،٢٠ و ٨،٩٠ متر للمدرج الأعلى (الأقدم) ، وفيما بين ١،٧٠ و ٢،٢٠ متر للمدرج الأسفل (الأحدث) مما يشير إلى أن المدرج الأقدم ينتمى لفترة المدرج المونستيرى التابع لأواخر عصر البلايستوسين ، وينتمى المدرج الأحدث لفترة المدرج الفلاندرى الحديث التابع لعصر الهولوسين ، وتقدير أعمارهما بحوالى ١٢٥ ألف سنة من الوقت الحاضر للمدرج العلوى ، وألف سنة للمدرج السفلى ، وذلك بمقارنة وربط مناسبيهما ببقايا المدرجات الأخرى التى سبق دراستها على سواحل البحر المتوسط وسواحل الخليج العربى وفقاً لدراسات (Zeuner, 1959) .

- لم تظهر على سواحل الجزيرة على مستويات أعلى من المدرجين اللذين أمكن ملاحظتهما ، ما يشير إلى أن الجزيرة لم تتأثر بهذه الفترات بسبب صلابة تكوينات القبة الملحية وعدم استجابتها لعوامل النحت البحرى خلال هذه الفترات من عصر البلايستوسين .



صورة (٤ ب -٦) كتل مفلطحة تأثرت بالنحت البحرى ، انتزعت بالأمواج الحالية من بقايا المدرج السفلى (الأحدث) المتكون فوق اللسان البحرى الجنوبى على منسوب مترين



صورة (٤ ب -٧) مدرجان بحريان على منسوب ٧,٦٠ و ٢ متر يظهران على الساحل الشمالى للجزيرة بالقرب من منطقة وادى النخيل ناظراً للجنوب

## ٢- الألسنة البحرية القديمة :

توجد على سواحل الجزيرة ستة ألسنة بحرية ، تتفق جميعها فى أنها متصلة بياص الجزيرة من جهة الشمال ، وتتجه بأطرافها نحو الجنوب ، وتفصلها عن يابص الجزيرة بحيرات ساحلية ضحلة ، تنمو على شطوطها الداخلية شجيرات المانجروف ، وتزداد كثافة هذه الشجيرات فى البحيرات الشمالية والشرقية ، بسبب وقوعها فى ظل التيار الغربى ، الذى يتهاذى على السواحل الجنوبية للخليج العربى من الغرب إلى الشرق ، إلا أنه حينما يصطدم بكتلة الجزيرة تضعف قوته على جانبها الشرقى ، مما ساهم فى زيادة معدلات الترسيب على سواحلها وألسنتها وحواجزها البحرية ، (أشكال ٤ ب ٣، ٤ ب ١٢، ٤ ب ١٣) .

ويستأثر الساحل الشرقى بثلاثة من الألسنة الستة التى تضمها الجزيرة ، ونصيب الجانب الغربى اثنين منها ، ويمتد لسان واحد بالقرب من طرفها الجنوبى ، وتتميز الألسنة الشرقية بزيادة أطوالها بالمقارنة بالألسنة الغربية، إذ تتراوح أطوالها بين ٩٠٠ وثلاثة كيلومترات ، بينما لا يتعدى طول الألسنة الغربية أكثر من ٤٥٠ متر ، أما بالنسبة لعروضها فلا يتجاوز عرضها ١٥٠ متر . إلى جانب اثنين من الحواجز البحرية تمتد موازية للساحل الشمالى والشمالى الشرقى .

وتتميز الألسنة الستة للجزيرة بارتفاع منسوبها بالمقارنة بمستوى سطح البحر الحالى بنحو المترين ، وتختص بمجموعة من الخصائص والسمات المورفولوجية نوجزها فى النقاط التالية (صور من ٤ ب ٩ إلى ٤ ب ١٢):

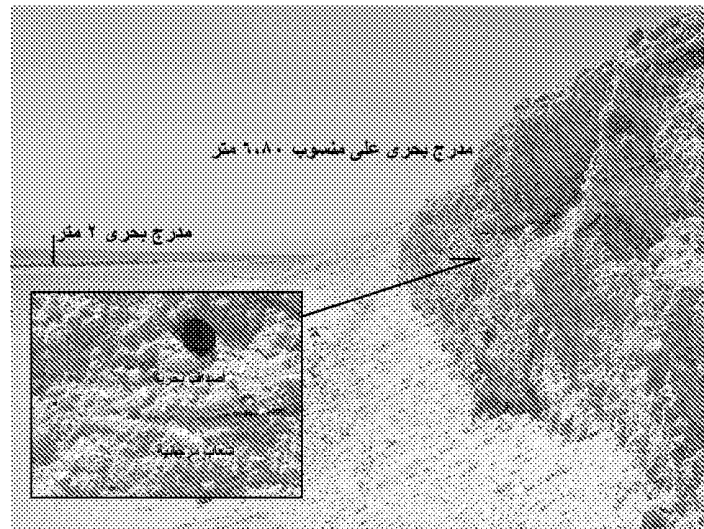
١. يتشابه منسوب الألسنة الستة مع مستويات المدرج البحرى السفلى الذى سبق تمييز بقاياه على سواحل الجزيرة .
٢. تتألف مكونات الألسنة من الرمال المندمجة مع شظايا الأصناف البحرية والشعاب المرجانية والرخويات والطحالب بصورة مشابه لمكونات المدرج السفلى .

٣. تنتشر داخل تكوينات الألسنة كتل حجرية متفاوتة الأحجام ، مفلطحة الشكل ، تميل ألوانها للحمرة مما يشير إلى أنها قد نقلت من إقليم القبة الملحية بعوامل النقل الفيضى ثم إعادة الترسيب بالأمواج والتيارات المد والجزر ، بصورة مشابه تماماً للمدرج السفلى (صور ٤ ب ٩، ٤ ب ١٠، ٤ ب ١٢) .

نستنتج مما سبق : أن مجموعة الألسنة والحواجز البحرية المتكونة على سواحل الجزيرة قد تشكلت خلال فترة زمنية معاصرة لفترة تكوين المدرج البحرى السفلى الذى سبق تمييز بقاياه على سواحل الجزيرة ، وتأريخه بفترة المدرج الفلاندرى التابع لعصر الهولوسين ويرجع عمره لحوالى ألف سنة من الوقت الحالى ، ويقتصر دور عوامل التعرية البحرية الحالية على مجرد إجراء بعض التعديلات الجيومورفولوجية المحدودة ونقل الرواسب الرملية الدقيقة الحبيبات وإعادة ترسيبها على السواحل الداخلية لهذه المجموعة من الألسنة والحواجز ، أو انثناء الأطراف الخارجية للألسنة وتحويل بعضها إلى خطاطيف بحرية *Marine Hooks* .

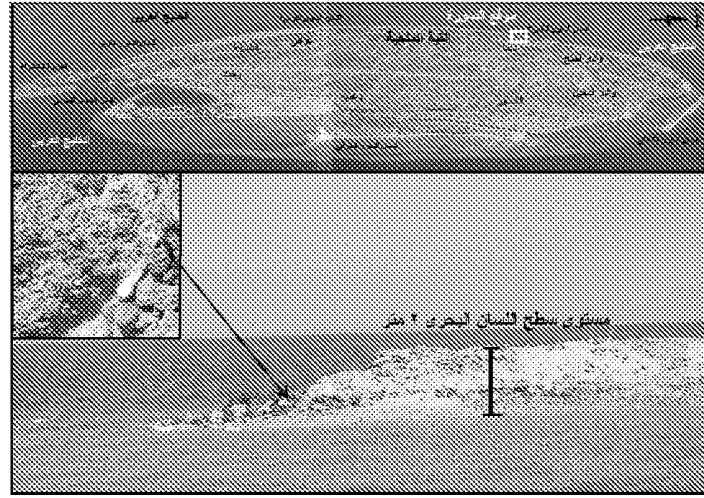
#### الخاتمة :

تأثرت سواحل جزيرة صير بنى ياس باثنتين من فترات ارتفاع مستوى سطح الخليج العربى التى حدثت خلال الزمن الرابع نتيجة ارتفاع درجات حرارة الغلاف الجوى فى هذه الأثناء ، وكان من نتيجته ذوبان قسم من جليد العروض الباردة ، مما ساهم فى ارتفاع مناسيب الخليج العربى إلى مستوى يتراوح بين ستة وتسعة أمتار أعلى من مستواه الحالى ، وكان ذلك خلال فترة تكوين المدرج المونستيرى منذ حوالى ١٢٥ ألف سنة من الوقت الحالى ، أما المستوى الثانى الأحدث فكان يرتفع مستواه بحوالى المترين عن منسوب سطح الخليج الحالى ، بما يتفق مع فترة الطغيان الفلاندرى الذى حدث منذ حوالى ألف سنة من الوقت الراهن .

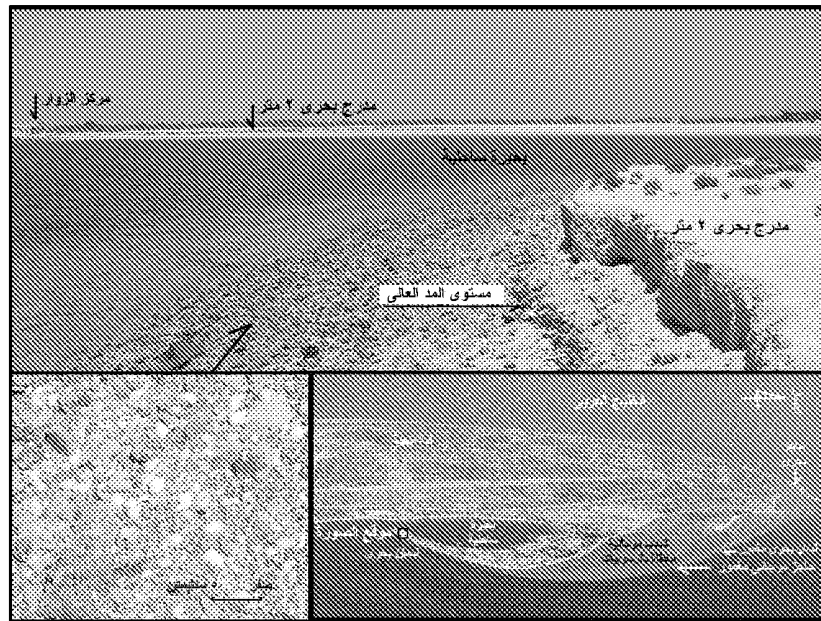


صورة (٤ ب ٨) مدرج بحرى يظهر على الساحل الشمالى للجزيرة

على منسوب ٦،٨٠ متر وتنتشر به بقايا الأصداف البحرية والشعاب المرجانية شرقى منطقة وادى النخيل ناظرا للغرب



صورة (٤ ب ٩) مورفولوجية اللسان البحرى الغربى الثالث ، لاحظ ارتفاع مستواه بحوالى المترين عن منسوب سطح البحر الحالى وتكونه من الأصداف البحرية المختلطة بتكوينات القبة الملحية المائلة للحمرة.

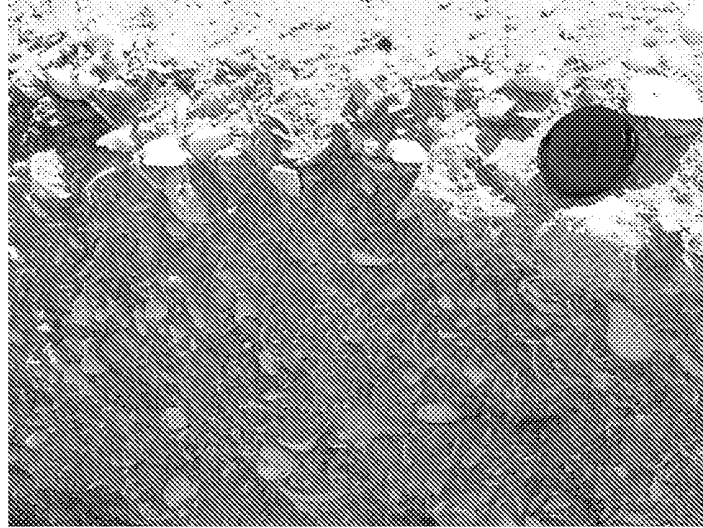


صورة (٤ ب ١٠) مورفولوجية اللسان البحرى الجنوبى للجزيرة الذى يظهر على ارتفاع مترين أيضاً وهو يتكون من شظايا الأصداف البحرية والشعاب والطحالب المختلطة بالرواسب البحرية والقارية سواء الفيضانية منها أو المنقولة بالرياح.





صورة (٤ ب - ١١) الجانب المواجه لمياه الخليج المفتوحة للسان البحرى الجنوبى، لاحظ ارتفاع مستواه عن منسوب البحر الحالى بحوالى المترين.



صورة (٤ ب - ١٢) الأفق العلوى من اللسان البحرى الذى يظهر فى الشكل السابق وهو يتركب من الأصداف البحرية المختلطة بالرمل والحصى المندمج

المصادر والمراجع :

أولا : المصادر :

- ١- مرئية فضائية تم تصويرها بمكوك الفضاء ، ومعالجتها في وكالة ناسا الأمريكية لأبحاث الفضاء (NASA-Challenger) مأخوذة في ٢٤ أكتوبر ٢٠٠١ ، بمقياس ١ : ١٠٠٠٠ .

٢- <http://www.adias-uae.com/adiasgallery.html>

ثانياً : المراجع باللغة العربية :

٣- محمد مجدى تراب ، ١٩٩٧ :

أشكال السواحل المصورة ، منشأة المعارف ، الإسكندرية ، ١٥٨ ص .

ثالثاً : المراجع باللغة الإنجليزية :

4- Bath, H & Boer, B., 2002:

*Sabkha Ecosystems, Volume 1 : The Arabian Peninsula and Adjacent Countries, Kluwer Academic Publishers, London, 333P.*

5- Loreau, J.P. & Purser, B.H., 1973 :

*Distribution and Ultrastructure of Holocene Ooids in the Persian Gulf, In The Persian Gulf, Springer-Verlag, New York, pp.279-328.*

6- Potts, D.T., 1997:

*Before The Emirates: An Archaeological and Historical Account of Developments in the Region C.5000 BC to 676 AD, In Perspectives on the United Arab Emirates, Trident Press .*

7- Purser, B.H. & Evans, G., 1973 :

*Regional Sedimentation along the Trucial Coast, SE Persian Gulf, PP.211-233.*

8- Purser, B.H., et al, 1973:

*The Persian Gulf, Holocene Carbonate Sedimentation and Diagenesis, Springer-Verlag, New York , 473p.*

9- Vine, P., 1999:

*Sir Bani Yas , In Depth Adventure Guide, Trident Press, 151P.*

10- Zeuner, F.E., 1959:

*The Pleistocene Period, 2<sup>nd</sup> ed., London.*

## الفصل الرابع

### (المبحث الثالث)

تذبذب مستوى سطح البحر عند مقدمات دلتا (مروحة) وادى البيح

دكتورة/ أسماء الفراج الكتبي  
قسم الجغرافيا جامعة الإمارات، ص.ب ١٧٧٧١ العين ،  
دولة الإمارات العربية المتحدة  
**E-mail: asma@uaeu.ac.ae**

## تذبذب مستوى سطح البحر عند مقدمات دلتا (مروحة) وادي الببح

دكتورة/ أسماء الفراج الكتيبي

### ملخص

تعتبر دلتا (مروحة) وادي الببح من المراوح الفيضية المتميزة في شمال دولة الإمارات، وذلك ليس لشكلها الارسابي المروحي المثالي فحسب، بل لأنها تعتبر أكبر المراوح الفيضية في شبه جزيرة مُسندم بأكملها - وليس في شمال دولة الإمارات فقط - التي تلامس مقدماتها مستوى سطح المياه في الخليج العربي .

وبالرغم من الاتساع النسبي لهذه الدلتا (المروحة) وطول المسافة التي تحتك فيها مقدماتها بمياه الخليج العربي، إلا أنه لا يوجد أي أثر أو دليل على تذبذب مستوى سطح البحر على هذه الدلتا (المروحة) أو المراوح الأصغر حجماً في شمالها، بالرغم من وجود أدلة لتذبذب مستوى سطح البحر في الخليج العربي في مناطق أخرى في غرب دولة الإمارات ومناطق أخرى منه على كلا جانبيه ، وقد يعود السبب في ذلك إلى الحركة الرأسية الهابطة للمنطقة كعامل أساسي، بالإضافة إلى شدة انحدار الرفرف القاري للخليج العربي في هذا الجزء منه.

### مقدمة:

بالرغم من وجود الكثير من الدراسات الجيولوجية والتكتونية لوادي الببح (مثل: Lees, 1928; Hudson et al, 1954; Hudson and Chattan, 1959; Hudson, 1960 Alleman and Peters, 1972; Glennie et al, 1973; 1974, Ricateau and Riche, 1980; Searle, 1988; Searle et al, 1983)، إلا أن الدراسات حول جيمورفولوجية وادي الببح ورواسبه قليلة ومحدودة (مثل: Al-Farraj, 1996; Al- Farraj 2002a, Al-Farraj and Harvey, 2000)، وبالرغم من وجود بعض الدراسات حول رواسب مروحته (مثل: حسن أبو العنين، ١٩٩٦؛ Nasr and Yehia, 1993)، ودراسات أخرى حول تذبذب مستوى سطح البحر في الخليج العربي وشمال دولة الإمارات (مثل: حسن أبو العنين، ١٩٩٦، Sarnthein, 1972; Kassler, 1973; Kirkham, 1997, 1998, Goudie, et al, 2000, Weijermars, R., 1999)، إلا أن الدراسات التي تربط بين رواسب دلتا (مروحة) وادي الببح وتذبذب مستوى سطح البحر في المنطقة نادرة أن لم تكن معدومة، باستثناء بعض الدراسات التي تطرقت إلى التغيرات المناخية في منطقة الدراسة بشكل عام (مثل: Al-Farraj, 1996; Al- Farraj, 2002a, Al-Farraj and Harvey, 2000)، وبالرغم من وجود بعض الدراسات حول الحركة الرأسية الهابطة لمقدمات الجبال (Vita-Finzi, 1973; Falcon, 1973a, 1973b) إلا أنه لم يتم الربط بين هذه الحركة الرأسية وعدم وجود أدلة لتذبذب مياه الخليج في هذا الجزء منه.

لذلك فإن هذه الدراسة ستهتم بالربط بين الدراسات التي تناولت الارسابات الفيضية والدراسات التي تناولت تذبذب مياه سطح البحر بالإضافة إلى الدراسات التي تناولت الحركات الباطنية

الرأسية الهابطة للمنطقة (مثل: 1973; Falcon, 1973; Vita-Finzi) لاستخلاص العلاقة بينها منذ أواخر البلايستوسين حتى الوقت الحاضر.

#### الملاحج الجغرافية لدلتا (مروحة) وادي الببح :

تقع دلتا (مروحة) وادي الببح في أقصى الشمال الشرقي لدولة الإمارات العربية المتحدة (شكل ٤-ج-١)، وهي تعتبر من أكبر المراوح الفيضية المحاذية للساحل، حيث تبلغ مساحتها ٨٤ كم<sup>٢</sup> بامتداد ١٠ كم باتجاه البحر، ويبلغ أقصى ارتفاع لها ٦٥ م عند رأس الدلتا (مروحة)، أما أقل ارتفاع فهو صفر عند مقدماتها المحاذية للساحل.

والمناخ الحالي للدلتا (مروحة) كما هو الحال بالنسبة لباقي دولة الإمارات هو المناخ الصحراوي حيث يبلغ المتوسط السنوي للمطر حوالي ١٣٥ ملم الذي ينساقط في فصل الشتاء، أما متوسط درجات الحرارة فهو أكثر من ٣٠ درجة مئوية، أما نسبة التبخر فهي تتجاوز ٢٠٠٠ ملم (U.A.E. Ministry of Communications, 1996).

وتتكون دلتا (مروحة) وادي الببح الفيضية من ارسابات نهاية البلايستوسين، حيث يتراوح حجم الرواسب الفيضية فيها من رواسب كبيرة الحجم (أكبر من ٥٠ سم<sup>٢</sup>) وراو سب متوسطة الحجم (أقل من ٢٠ سم<sup>٢</sup>)، إلى رواسب صغيرة الحجم (أقل من ٨ سم<sup>٢</sup>)، أضف إلى ذلك الرواسب الدقيقة الحجم مثل الرواسب الرملية والطينية (شكل ٤-ج-٢).

و تكونت هذه الدلتا (المروحة) نتيجة للتراكم المتوالي للرواسب الفيضية لوادي الببح، ويعتقد أن هذه الرسوبيات تعاقبت في ثلاث فترات ارسابية رئيسية منذ أواخر البلايستوسين حتى الوقت الحاضر (أنظر Al-Farraj, 1996; Al-Farraj, 2002a, Al-Farraj and Harvey, 2000).



الخليج  
إيران  
سلطنة عمان  
الإمارات  
السعودية  
موقع الخريطة

المرتفعات الشرقية  
كثبان رملية  
دلتا وادي  
سبخة ساحلية  
شجيرات مانجروف  
رواسب فيضية  
مجارى الأودية

أكم  
صفر

الرمس  
رأس الخيمة  
الجزيرة الحمراء  
أم القيوين

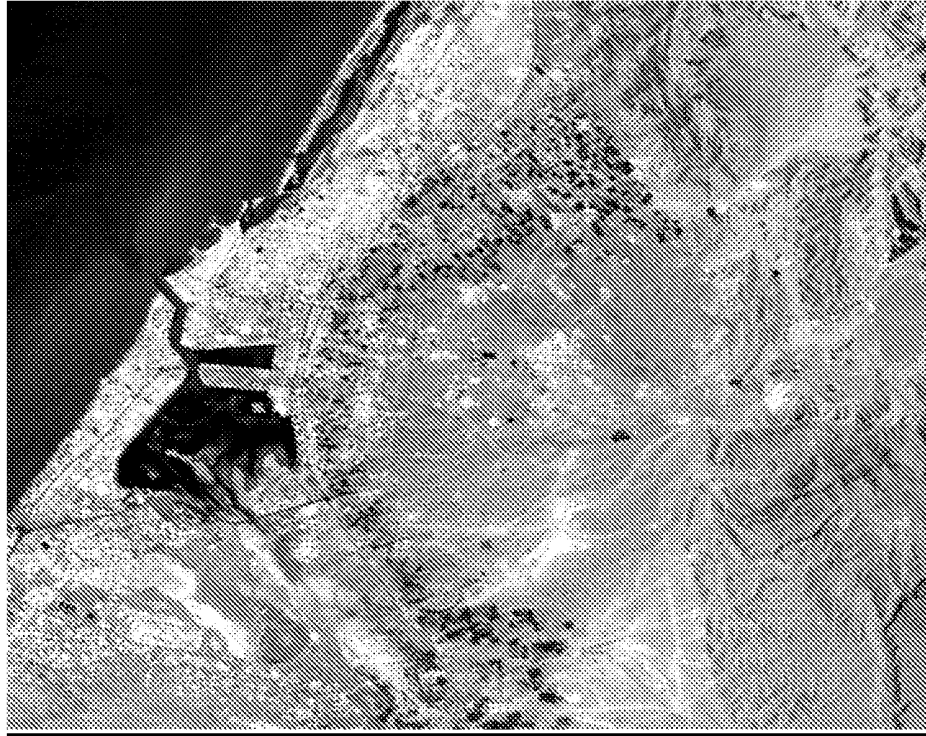
الخليج  
عُمان  
السعودية  
إيران

أشمال

ويظهر على الوجه العلوي للدلتا (مروحة) رواسب الفترة الارسابية الوسطى حسب ما أثبتته الدراسة الحقلية، وقد يعزل ذلك لأن دلتا (مروحة) وادي الببح من مراوح الارسابات التراكمية، والمراوح التراكمية لا تظهر العمر الحقيقي للرواسب فيها لأن الرواسب التي تظهر على السطح تكون حديثة نسبياً، بينما الرواسب القديمة تكون مطمورة تحتها، وتتكون المراوح التراكمية نتيجة الاحواض النهرية البسيطة الانحدار (Silva, et al., 1992).

1.6





شكل (٤-ج-٤) مرئية فضائية توضح علاقة دلتا (مروحة) وادي الببح بخط الساحل الحالي للخليج العربي

#### طريقة البحث

اعتمدت هذه الدراسة على طريقتين للبحث الأولى تحليل واستقراء الخرائط والصور الجوية والفضائية، ومن ثم التأكد من دقتها بالزيارات الحقلية للمنطقة، والثانية استقراء وتحليل المعلومات والنتائج الواردة في الدراسات السابقة عن المنطقة، ومحاولة الربط بينها بتسلسل منطقي، لاستنتاج مراحل التغيير التي مرت بها المنطقة والعوامل التي أثرت على شكل الارساب ونمطه فيها.

ولقد اعتمدت طريقة البحث الأولى على تحليل الخرائط الطبوغرافية (١:٥٠٠٠٠) والصور الجوية بالإضافة إلى الصور الفضائية لتحديد وتصنيف الارسابات البحرية والفيضية، وتحديد ابعادهما، أما في الزيارات الحقلية فلقد تم التأكد من دقة ذلك التصنيف، كما تمت عمليات مسح كاملة على سطح دلتا (مروحة) وادي الببح بالإضافة إلى المراوح الفيضية الأخرى الأصغر حجماً التي تقع إلى الشمال منها، مثل دلتا (مروحة) وادي رحيبة ووادي غليلة ووادي شعم، لمحاولة تحديد المناطق التي قد تكون تعرضت لتذبذب مستوى سطح البحر.

أما بالنسبة للدراسات السابقة فلقد تم تصنيفها على النحو التالي: دراسات تهتم بسمك الرواسب الفيضية في وادي الببح ومروحة (مثل: Elshami, and Hamdan, 1989)، وأخرى تهتم بامتداد وسمك الرواسب الفيضية باتجاه الخليج العربي (مثل: Vita-Finzi, 1973; Purser, and Evans, 1973) (شكل ٤-ج-٢). ودراسات تهتم بالحركات الباطنية في الوقت الحاضر (مثل: Falcon, 1973a; 1973b; Vita-Finzi, 1973) وأخرى تهتم بمورفومتريه الخليج العربي (مثل: Sarnthein, 1972; Kassler, 1973)، ودراسات تهتم بالتغيرات المناخية في المنطقة (مثل: Al-Farraaj, 1996; Al-Farraaj, 2002a, 2000) (Al-Farraaj and Harvey, 2000)، ودراسات تهتم بدبذبات مستوى سطح البحر في



المنطقة (مثل: حسن أبو العينين، ١٩٩٦ب، Kirkham, 1997, 1998; Weijermars, 1999; Goudie, et al, 2000; Sarnthein, 1972; Kassler, 1973).

#### النتائج

تنقسم النتائج في هذه الدراسة إلى قسمين هما: نتائج الدراسة الحقلية، ونتائج استقراء الدراسات السابقة. بالنسبة لنتائج الدراسة الحقلية فلقد تبين من المسح الحقلى للمنطقة والمناطق المجاورة لها بأنه لا وجود لآى اثر لذبذبات مستوى سطح البحر في هذا الجزء من الخليج العربى، باستثناء المصاطب البحرية عند مقدمات الجبال التى تعود إلى اوائل البلايستوسين (Lees, 1928; Al-Farraj, 2002a)، على عكس ما هو فى مناطق أخرى فى الخليج العربى وأخرى فى غرب السهل الساحلى الغربى لدولة الإمارات، وهذا قد يعود إلى أن منطقة الدراسة تقع فى مناطق نشطة تكتونيا حيث تغوص معظم المنطقة تحت لوح إيران (Falcon, 1973a; Glennie et al, 1973; 1974,) بالإضافة إلى شدة انحدار الارتفاع القارى للخليج العربى فى هذه المنطقة (Sarnthein, 1972; Kassler, 1973).

أما بالنسبة لنتائج استقراء الدراسات السابقة فلقد لخصت فى الشكل ٤ جين ٢ و٤، وهى على النحو التالى: نتيجة لتدبذب مستوى سطح البحر فى الخليج العربى تكونت فى قاعه مدرجات بحرية يعتقد أنها تكونت نتيجة لارتفاع مستوى سطح البحر (Kassler, 1973)، هذه المدرجات البحرية تعتبر شديدة الانحدار فى هذا الجزء من قاع الخليج العربى مقارنة بباقي الجانب الغربى منه (Sarnthein, 1972; Kassler, 1973,) وذلك يعود إلى أن هذا الجزء من الجانب الغربى للخليج العربى قريب من المناطق الصخرية وبالتالي تختلف فيها مستويات التدرج لقاع الخليج.

كما أن قرب هذا الجزء من المناطق الجبلية أدى إلى تأثره بالحركات الباطنية النشطة، المتأثرة بزحف شبه الجزيرة العربية باتجاه إيران (Glennie et al, 1973; ) (Falcon, 1973a and 1973b; 1974). فلقد أوضح Falcon, 1973a and 1973b أن خط الساحل فى شبه جزيرة مسندم متأثر بالخطوط الانكسارية التى تعود إلى الحقبة الثالثة، بالإضافة إلى الكتل الانزلاقية عند مقدمات الجبال فى منطقة الدراسة التى تعود إلى نفس الحقبة، ويعتقد Falcon, 1973b أن هذه الانكسارات والانزلاقات الانكسارية مازالت نشطة حتى الوقت الحاضر (Glennie et al, 1973; 1974)، وانها هى السبب فى الحركة الراسية الهابطة للمناطق الساحلية فى منطقة الدراسة. كما أكد Vita-Finzi, 1973 أن هناك هبوط فى منطقة الدراسة وصل إلى حوالى ٦٠ م خلال العشرة الاف سنة الماضية، أى بمعدل ٦ ملم فى السنة.

[illegible]

أما بالنسبة لسمك الرواسب فلقد بينت الدراسات السابقة أن سمك الرواسب الفيضية وصل إلى أكثر من ٨٠م عند المنابع الدنيا لوادي الببح (Elshami, and Hamdan, 1989)، بينما تجاوز سمكها الـ ٩٠م عند السواحل كما ذكر Vita-Finzi, 1973. وبالرغم من أن دراسة Purser, and Evans, 1973 لم توضح السمك الكامل لرواسب دلتا (مروحة) وادي الببح، فإبار الحفر كانت لعمق ٤٥م فقط، للاعتقاد بأن الرواسب تحت هذا العمق رواسب فيضية حصوية فقط، إلا أنها بينت تعاقب الرواسب في القطاع العرضي الذي أظهر تعاقب رواسب فيضية وهوائية ورواسب طينية، وأهم ما يميز هذه الدراسة هو الانسياب شبه الأفقي لهذه الرواسب، الذي يؤكد الهبوط الراسي للمنطقة.

ولقد أوضح Vita-Finzi, 1973 نتيجة لدراسة عمود صخري داخل مياه الخليج بعيدا عن شواطئ راس الخيمة (شكل ٤-ج-٥)، أن دلتا (مروحة) وادي الببح تمتد بعيدا داخل مياه الخليج، حيث تظهر صخور القاعدة عند عمق ١٤٣م تحت مستوى سطح البحر (شكل ٤-ج-٣)، وهي صخور تعود إلى فترة الايوسين، تغطيها رواسب فيضية ملتحمة ببعضها البعض بمادة سمّنتية ويصل سمك هذه الطبقة الرسوبية إلى ٩١م، وتغطي هذه الطبقة طبقة أخرى من الرواسب الفيضية المختلطة ببعض الارسابات البحرية بسمك ٤٤م، وتغطي هذه الطبقة بطبقة أخيرة من الرواسب الساحلية بسمك ٨،٥م.

وأوضحت Al-Farraj, 1996 أن انحدار مجرى وادي الببح كان شديدا أثناء الفترة الارسابية الأولى، مما يعني أن الدلتا (مروحة) الفيضية للوادي في ذلك الوقت كانت شديدة الانحدار، وأن لم يكن هناك أي تأثيرات باطنية فان دلتا (مروحة) وادي الببح ستكون تسكوبية، حتى وأن جعلت الرواسب الفيضية للوادي في الفترة الارسابية الأولى مجرى وادي أقل انحدارا، لذلك فان هذا التغيير في نمط الارساب على الدلتا (مروحة) الفيضية قد يعود للحركات الباطنية الراسية التي أخفت رواسب الفترة الأولى نتيجة للهبوط الراسي للدلتا (مروحة).

أما بالنسبة للتغيرات المناخية في الدراسات السابقة لمنطقة وادي الببح ومروحته، فلقد أوضحت تلك الدراسات أن المنطقة تعرضت لثلاث فترات ارسابية رئيسية منذ أواخر البلايستوسين حتى بداية الهولوسين (Al-Farraj, 1996; Al-Farraj, 2002a, Al-Farraj and Harvey, 2000)، وذلك باستثناء الفترات الارسابية التي قد تعود إلى أواسط البلايستوسين أو أقدم (Al-Farraj, 1996; Al-Farraj, 2002a)، ولقد قسمت تلك الدراسات الفترات الارسابية على النحو التالي:

الفترة الارسابية الأولى وهي تقدر بأكثر من ١٠٠ ألف سنة، ويعتقد أن الرواسب تراكمت في فترة باردة وبها كمية المطر كبيرة، وذلك استنادا إلى حجم الرواسب الصغيرة التي يعتقد بأنها تعرضت لعمليات تجوية فيزيائية بفعل الصقيع، بالإضافة إلى أن درجة نمو قطاع التربة ودرجة تطور الارصفة الصحراوية على سطح هذه الارسابات التي تشير إلى أنها قد تعود إلى نفس العمر (شكل ٤-ج-٥).

ويختلف حجم الرواسب في الفترة الارسابية الثانية عنه في الفترة الارسابية الأولى مما يعني اختلاف البيئة المناخية، حيث يتضح من حجم الرواسب أنها تراكمت في بيئة مناخية أقل في درجات الحرارة عن الفترة الحالية وأكثر مطرا، ووفقا لنسبة نضوج قطاع التربة وتطور الارصفة الصحراوية على سطح رواسب الفترة الارسابية الثانية فيعتقد أنها قد تعود إلى ١٢-٣٠ ألف سنة، وتعتبر الفترة الارسابية الثانية مهمة جدا لان رواسبها منتشرة بشكل كبير على امتداد وادي الببح وادوية شمال دولة الإمارات، كما أنها تكون الفرشة الأساسية لسطح دلتا (مروحة) وادي الببح. أما الفترة الارسابية الأخيرة فيعتقد أنها تعود إلى نهاية البلايستوسين وبداية الهولوسين وهي تمثل فترة قصيرة من الارساب (Al-Farraj, 1996; Al-Farraj, 2002a).

(مروحة) وادي الببح (شكل ٤ ج- ٢). (2002a, Al-Farraj and Harvey, 2000) وتظهر هذه الرواسب على أطراف دلتا

ولقد تزامنت فترات الارساب هذه التي تعود إلى الفترات الجليدية في العروض العليا (أوربا) مع فترات انخفاض مستوى سطح البحر عالميا التي شرحها Fairbridge, 1961، فيعتقد أن المياه في الخليج العربي قد تعرضت للانحسار في كل فترة جليدية، فحسب ما بينته الدراسات السابقة أن مستوى سطح البحر في الخليج العربي وصل إلى ٦٠م تحت مستوى سطح البحر الحالي قبل أكثر من ١٠٠ ألف عام، وانخفض مستوى سطح البحر إلى ١٤٠م تحت مستواه الحالي في الفترة بين ١٢-٣٠ ألف سنة، وكان عند مستوى ٢٠م تحت مستواه الحالي في نهاية البلايستوسين وبداية الهولوسين، أما في الفترات التي يرتفع فيها منسوب مياه البحر في الخليج العربي فهو قد لا يتجاوز مستواه الحالي في بعض الأحيان وأحيانا أخرى يتجاوزها بقليل (حسن أبو العنين، ١٩٩٦ ب، Kassler, 1973, Kirkham, 1997, 1999, Goudie, et al, 2000, Weijermars, R., 1998)، وفي هذه الفترات التي ارتفع فيها مستوى سطح الخليج لمستواه الحالي أو أكثر لم يترك أي أثر لذلك الارتفاع، مما يرجح تأثير الحركات الباطنية في دلتا (مروحة) وادي الببح والمراوح الواقعة في شمالها وفقا لدراسات Falcon, 1973a; 1973b و Vita-Finzi, 1973.

#### المناقشة

يتضح من السرد السابق للدراسات التي تمت على دلتا (مروحة) وادي الببح والمناطق المجاورة والتابعة لها، بالإضافة إلى البيانات التي تم الحصول عليها من الخرائط والصور الجوية والفضائية والزيارات الحقلية، أن منطقة الدراسة قد مرت بتسلسل ارسابي وجيومورفولوجي على النحو التالي:

في الفترة التي لحقت بعمليات الرفع في المايوسين تعرضت منطقة وادي الببح (جبال عمان) إلى عمليات نحت متواصلة (Al-Farraj, 1996)، وفي فترة ما في بداية البلايستوسين تكونت المصاطب البحرية عند مقدمات الجبال التي بدورها قد تكون تأثرت بعمليات الرفع والحركات الباطنية (Al-Farraj, 2002a)، تبعت فترة النحت الطويلة تلك التي أدت إلى حفر أودية وخنادق عميقة إلى امتلاء وادي الببح ومروحة بالرواسب الفيضية، ولقد وصل سمك هذه الرواسب إلى ٨٠م عند المنابع الدنيا لوادي الببح (Elshami, and Hamdan, 1989)، بينما تجاوز سمك هذه الرواسب ٩٠م في مروحة الممتدة باتجاه مياه الخليج (Vita-Finzi, 1973)، بعد هذه الفترة الأرسابية الرئيسية تتابعت ثلاث فترات أرسابية رئيسية يعتقد أنها تعود إلى أواخر البلايستوسين وبداية الهولوسين (Al-Farraj, 1996)، وقد تكون الفترة الأرسابية الأولى هي بعض من الطبقة الأرسابية الأولى الملتحمة (شكل ٤ ج- ٢) في العمود الصخري لـ Vita-Finzi, 1973.

ووفقا لتلك البيانات فإنه عندما تكون الوجه الأول للدلتا (مروحة) كان مستوى سطح البحر في الخليج العربي منخفض عند المستوى ٦٠م تحت مستواه الحالي (حسن أبو العنين، ١٩٩٦ ب، Kassler, 1973, Kirkham, 1997, 1998, Goudie, et al, 2000, Weijermars, R., 1999)، لذلك فإن أي علاقة بين الرواسب الفيضية والرواسب الساحلية ستكون غارقة تحت مياه الخليج الآن، ومما هو واضح من الدراسة الحقلية لدلتا (مروحة) وادي الببح والمراوح إلى شمالها أن رواسب الوجه الأول لتلك المراوح غير ظاهرة على السطح، وذلك يعود إلى نمط الارساب التراكمي لتلك المراوح، فالوجه الأرسابي الأول لها مغمور تحت رواسب الوجهين الثاني والثالث (شكل ٤ ج- ٢)، وقد يعود سبب تراكم الرواسب فيها إلى الحركات الباطنية النشطة في المنطقة، حيث أن مقدمات الجبال ومن ضمنها منطقة الدراسة تقع على خط انكساري، ورأس مراوح وادي الببح والمراوح المجاورة لها تقع محاذية للخط الانزلاقي الانكساري الذي يعود للحقبة الجيولوجية الثالثة، وبشكل عام فإن المنطقة تتعرض لحركة راسية حيث ترتفع منطقة جبال عمان وتغوص منطقة مقدمات الجبال (Vita-Finzi, 1973; Falcon, 1973a; 1973b)، لذلك فإن التراكم الراسي للرواسب قد يعود

تلك الحركات الرأسية الهابطة وليس لبساطة انحدار الوادي، خاصة إذا علم أن انحدار وادي الببح في الفترة الارسابية الاولى كان شديد ( Al-Farraj, 1996 p326 ) ولم يصبح بسيط الانحدار إلا بعد الفترة الارسابية الثانية، أو قد يعود ذلك إلى شدة انحدار الرفرف القاري للخليج العربي في هذه المنطقة (Sarnthein, 1972; Kassler, 1973)، التي بسببها كان انحدار الوادي شديداً، وبالتالي أدى إلى تكس الرواسب على منحدر الرفرف القاري .

أما في الفترة الارسابية الثانية، التي يعتقد أنها كانت في الفترة بين ١٢-٣٠ ألف سنة، فإن الرأي السائد أن مستوى سطح البحر في الخليج العربي وصل إلى ١٤٠م تحت مستوى الحالي، أي أن الخليج العربي كان جافاً بأكمله في تلك الفترة ومياهه تراجعت إلى خليج عمان، وبالتالي لم يكن هناك أي تفاعل بين الرواسب الفيضية والرواسب الساحلية، لأنه لم يكن هناك ساحل عند أطراف الرواسب الفيضية في الأساس، ويعتقد أنه في هذه الفترة قامت الأودية بنحت المدرجات البحرية حسب الدراسات التي قام بها Kassler, 1973، أما وجود بعض بقايا المحار بين رواسب هذه الفترة في العمود الصخري لـ Vita-Finzi, 1975 فقد يكون ما قد تركه البحر بعد انحساره وأعادت الرياح ارسابه، فكان هناك تناوب للرواسب الفيضية والرواسب البحرية الهوائية، أو أثناء ارتفاع مستوى البحر إلى مستوى الحالي أثناء وبعد تلك الفترة الارسابية، مما قد يكون نتج عنه تناوب للرواسب الفيضية والرواسب الشاطئية، وبشكل عام فإن الرواسب التي تظهر على سطح الدلتا (مروحة) في الوقت الحاضر تعود إلى الفترة الارسابية الثانية، فرواسب هذه الفترة واسعة الانتشار ليس في وادي الببح ومروحة فقط، بل في جميع أودية شمال دولة الإمارات (Al-Farraj, 2002a).

أما الفترة الارسابية الأخيرة فيعتقد أنها تعود إلى نهاية البلايستوسين وبداية الهولوسين، في هذه الفترة وصل مستوى مياه البحر في الخليج العربي إلى ٢٠م تحت مستوى الحالي، ونتيجة لقصر هذه الفترة الارسابية فإنها قليلة الانتشار حيث توجد عند المنابع الدنيا للأودية وعند أطراف المراوح الفيضية، لذلك لا يوجد لها أثر في العمود الصخري لـ Vita-Finzi, 1973 (شكل ٤-ج-٥). أما تلك الرواسب الشاطئية الموجودة في نهاية العمود الصخري لـ Vita-Finzi, 1973 فإنها حديثة تعود إلى فترة الهولوسين.

ولقد تخللت هذه الفترات الارسابية الرئيسية التي صاحبها ارتفاع في منسوب مياه الخليج العربي فترات وصل فيها منسوب المياه إلى المنسوب الحالي مرة واحدة على الأقل، لكن لا توجد أي أدلة لذلك في منطقة الدراسة، ولا حتى لذبذبات فترة الهولوسين، وقد يعود ذلك إلى الحركة الرأسية الهابطة للمنطقة، التي أكد على وجودها حتى الوقت الحالي كل من دراسات Purser and Evans, 1973، الذي يتميز بشبه استواءه ونذرة انحداره، مما قد يدل على أن المنطقة في حالة هبوط ثابتة أدت إلى تراكم الرواسب الفيضية والهوائية والشاطئية بشكل شبه مستوى .

كما قد يكون نمط الارساب عند السواحل وفي الأخوار والبحيرات الساحلية في فترة الهولوسين عامل إضافي لعدم وجود شواطئ قديمة تعود لفترة الهولوسين، فالساحل في هذه المنطقة يتعرض للتراجع نتيجة امتلاء أخواره بالرواسب الهوائية والفيضية والساحلية (Farraj, 2002b)، وتعتبر الرواسب الساحلية ليست قليلة فإنها حسب العمود الصخري لـ Vita-Finzi, 1973 تصل إلى ثمانية أمتار، وذلك يعود إلى أن هذا الجزء من الخليج العربي يتعرض لفعل الأمواج العالية الناتجة عن تأثير رياح الشمال التي تمر باتساع الخليج بأكمله قبل وصولها إلى هذا الجزء من الخليج العربي (Purser and Evans, 1973).

### الخلاصة

هناك عاملين أساسيين أثرا في النمط الارسابي التراكمي لدلتا (مروحة) وادي البيج والمراوح الاخرى الاصغر حجما التي تقع إلى شمالها، وهذين العاملين هما الحركات الراسبية الباطنية الهابطة النشطة عند مقدمات الجبال وشدة انحدار الرفرف القاري للخليج العربي في هذه المنطقة. كما أثر هذين العاملين في عدم وجود أي أدلة على تذبذب مستوى سطح البحر في هذا الجزء من الخليج العربي. فبالإضافة إلى أن الفترات الارسابية لهذه المراوح تتم عندما يكون مستوى سطح البحر منخفض أي أنه بعيد جدا عن إقدام هذه المراوح، إلا أنه لا توجد أدلة على تذبذب مستوى سطح البحر للفترات التي تخللت فترات الارساب تلك التي كان فيها مستوى سطح البحر على الأقل في مستواه الحالي، وقد يكون السبب في عدم وجود هذه الأدلة هو الحركات الباطنية الراسبية الهابطة في المنطقة.

## المراجع :

أولاً : مراجع باللغة العربية:

١- حسن أبو العينين، ١٩٩٦ (أ) :

جيومورفولوجية مروحة وادي الببح الفيضية: شرق رأس الخيمة- دولة الإمارات العربية المتحدة، دولة الإمارات العربية المتحدة دراسات وبحوث جغرافية، ص ص ٥١٧-٥٧٥.

٢- حسن أبو العينين، ١٩٩٦ (ب) :

الخليج العربي تطوره الباليوجرافي، وتذبذب مستوى سطح مياهه خلال عصر البلايستوسين. دولة الإمارات العربية المتحدة دراسات وبحوث جغرافية، ص ص ٥١٧-٥٧٥.

ثانياً : مراجع بلغات أجنبية :

Al-Farraj, A.M., 1996,

*Late Pleistocene geomorphology in Wadi Al-Bih northern UAE and Oman: with special emphasis on wadi terrace and alluvial fans [Ph.D. thesis]: Liverpool. The University of Liverpool.*

**Al-Farraj, A.M., 2002a,**

Quaternary geomorphic evolution of Wadi drainage basins in the Northern UAE, Bulletin of the Egyptian Geographical Society, 75

**Al-Farraj A.M., 2002b,**

*A short communication: Sabkha and Coastal Plain Development and Evolution on the northeastern coast of the U.A.E. Gulf coast. Barth & Boer (eds) Sabkha ecosystems, 1 315-321.*

**Al-Farraj, A.M. and Harvey, A.M., 2000,**

*Desert pavement characteristics on wadi terrace and alluvial fan surface: Wadi Al-Bih UAE and Oman, Geomorphology 35 279-297.*

**Alleman, F., and Peters, T., 1972,**

The ophiolite-radiolarite belt of the north Oman Mountains. Eclogae Geoloeae Helveticae, 65, 657-697.

**Elshami, F., and Hamdan, A.R., 1989,**

Geology and hydrogeology of Wadi Al-Bih in Ras Al-Khaimah at northern part of the U.A.E., in Proceedings, U.C., ed., Geologia/Geology'89, Havana.

**Fairbridge, R.W., 1961,**

Eustatic changes in sea-level. Physics and Chemistry of the Earth, 4, 99-185.

**Falcon, N.L., 1973a,**

The Musandam expedition 1971-1972 scientific results: Part I. Vertical and Horizontal Earth Movements. Geographical Journal, 139, 404-409.

**Falcon, N.L., 1973b,**

The Musandam (Northern Oman) expedition 1971\1972: Part I.. Geographical Journal, 139, 1-19.

**Glennie, K.W., Boeuf, M.G.A., Hughes-Clark, M.W., Moody-Stuart, W.F.H., Pilaar, and Reinhardt, B.M., 1973,**

*Late Cretaceous Nappes in Oman mountains and their geologic evolution. The American Association of Petroleum Geologists Bulletin, 57, 5-27.*

**Glennie, K.W., Boeuff, M.G.A., Hughes-Clarke, M.W., Moody-Stuart, M., Pilaar, W.H.F., and Reinhart, B.M., 1974,**

Geology of the Oman Mountains. Kon. Ned. Geol.

Minnhoukunda Genoot. Vern., 33, 423.

**Goudie, A.S., Parker, A.G. and Al-Farraj, A. 2000,**

*Coastal change in Ras Al Khaimah (United Arab Emirates): a cartographic Analysis. The Geographical Journal. 166. 14-25.*



**Harvey, A.M., 1997,**

*The occurrence and role of arid region alluvial fans, in Thomas, D.S.G. (Ed)., Arid zone geomorphology: Process, Form and Change in Drylands. 2<sup>nd</sup> edn. Wiley, Chichester, pp. 231-259.*

**Hudson, R.G.S., 1960,**

The Permian and Trias of the Oman peninsula, Arabia. *Geologica Magazine.*, 97, 299-308.

**Hudson, R.G.S., and Chattan, M., 1959,**

*The Musandam Limestone (Jurassic to lower Cretaceous) of Oman Arabia. Notes Memoirs. Moyen-Orient.*, 3, 69-93.

**Hudson, R.G.S., McGugan, A., and Morton, D.M., 1954,**

The Structure of Jebel Hagab area, Trucial Oman. *Geological Society London Quarterly Journal.*, 110, 121-152.

**Kassler, P., 1973,**

The structural and geomorphic evolution of the Persian Gulf., in Purser, B.H., ed., *The Persian Gulf*: Berlin, Springer-Verlag., 11-32.

**Kirkham, A. 1997,**

*Shoreline evolution, Aeolian deflation and anhydrite distribution of the Holocene, Abu Dhabi, GeoArabia, 2. 403-415.*

**Kirkham, A., 1998,**

*Pleistocene carbonate seif dunes and their role in the development of complex past and present coastlines of the UAE. GeoArabia, 3. 19-31.*

**Lees, G.M., 1928,**

*The geology and tectonics of Oman and parts of south-eastern Arabia. Geological Society London Quarterly Journal.*, 84, 585-670.

**Nasr, A.H. and Yehia, M.A., 1993,**

*Using landsat TM Data in supervised terrain. Proceeding International Symposium: Operationalization of Remote Sensing. ITC Enschede, The Netherlands. Volume 9 150-165*

**Purser, B.H. and Evans, G., 1973,**

*Regional sedimentation along the Trucial coast, SE Persian Gulf. In B.H. Purser (Ed), The Persian Gulf, Holocene carbonate sedimentation in shallow Epi-continental Sea. Springer-Verlag, New York. 211-323.*

Ricateau, A., and Riche, P.H., 1980,

*Geology of the Musandam peninsula (Sultanate of Oman) and its surroundings. Journal of petroleum geology.2,3.,139-152.*

**Sarnthein, M., 1972,**

*Sediments and history of the postglacial transgression in the Persian Gulf and northwest Gulf of Oman, Marine Geology., 12: Amsterdam, Elsevier Publishing Company, 245-266.*

Searle, M.P., 1988,

*Structure of the Musandam culmination (Sultanate of Oman and United Arab Emirates and the Straits of Hormuz syntaxes. Journal of the geological society, London. 145, 831-845.*

**Searle, M.P., James, N.P., Calon, T.J., and Smewing, J.D., 1983,**

*Sedimentological and Structural evolution of the Arabian continental margin in Musandam Mountains and Dibba zone, U.A.E. Geological Society of America, Bulletin, 94, 1381-400.*

**Silva, P.G., Harvey, A.M., Zazo, C., and Goy, J.L., 1992,**

*Geomorphology, depositional style and morphometric relationships of Quaternary alluvial fans in the Guadalentin depression (Murcia, southeast Spain). Zeitschrift fur Geomorphologie, 36, 325-341.*

U.A.E. Ministry of Communications, 1996,  
*U.A.E. Climate. 237p.*

**Vita-Finzi, C., 1973,**

*Late Quaternary Subsidence. The Musandam expedition 1971-1972 scientific results: Part I. Geographical Journal, 139, 413-25.*

**Weijermars, R., 1999,**

*Quaternary evolution of Dawhat Zulum (half moon bay) region eastern province, Saudi Arabia, GeoArabia, 4, 71-89.*

## الفصل الخامس

آثار تذبذب مستوى سطح البحر خلال الزمن الرابع  
على الساحل المحصور بين مسقط ورأس الحد- سلطنة عُمان

دكتور/ سالم بن مبارك الحتروشي  
قسم الجغرافيا - عميد القبول والتسجيل  
جامعة السلطان قابوس- سلطنة عُمان  
*Email: hatrushi@squ.edu.om*

## الفصل الخامس

### آثار تذبذب مستوى سطح البحر خلال الزمن الرابع على الساحل المحصور بين مسقط ورأس الحد – سلطنة عُمان •

دكتور/ سالم بن مبارك الحتروشي

#### مقدمة :

تمتد سواحل سلطنة عُمان - التي تمتاز بالتنوع الجيومورفولوجي - لمسافة تزيد على ١٧٠ كيلومتر ، ابتداء من سواحل شبه جزيرة مُسندم الصخرية ذات الأودية الغارقة ، وساحل الباطنة الرملى الذى يمتاز بمراوحه الفيضية ، إلى نطاق من السواحل الصخرية يمتد من مسقط إلى رأس الحد شرقاً ، حيث تتجلى أرصفة النحت البحرى المرفوعة ، إلى ساحل رملى تلتقى فيه الكثبان الرملية (رمال وهيبة) بالبحر ، ثم ساحل ظفار الصخرى فى الجنوب الذى يضم شواطئ رملية أبرزها شاطئ صلالة المميز بأخواره المتداخلة فى اليابس .

#### الموقع الفلكى والجغرافى :

يهتم هذا البحث بدراسة الشواطئ ومصاطب وأرصفة النحت البحرى المرفوعة التى شكلتها الأمواج فى الأزمنة القديمة ثم انحسر البحر عنها نتيجة انخفاض مستوى سطح البحر بالنسبة لليابس ، وتنحصر منطقة الدراسة فى السواحل الواقعة بين مدينة مسقط (٣٠° ٥٨' شرقاً ، ٣٨° ٢٣' شمالاً) ورأس الحد (٤٧° ٥٩' شرقاً ، ٣٢° ٢٢' شمالاً) فى سلطنة عُمان المطلّة على خليج عُمان بشقة ساحلية تمتد لحوالى ١٧٠ كيلومتر (شكل ١-٥).

يتفاوت ارتفاع المصاطب البحرية *Marine Platforms* بمنطقة الدراسة بين ٣٠٠ متر وثلاثة أمتار فوق مستوى سطح البحر الحالى ، ويختص هذا الجزء من ساحل عُمان بوضوح الأشكال الجيومورفولوجية المتبقية عن الذبذبات المناخية فى مستوى سطح البحر دون أقسام ساحل عُمان الأخرى ، مثل ساحل الباطنة ، أو سواحل الجانب الغربى للخليج العربى ، وذلك نتيجة لتضاريسها المنخفضة وتكوينها الرملى ، مما دفع الباحث للاهتمام بدراسة دلائل تغيرات سطح البحر فى هذا القسم من سواحل سلطنة عُمان .  
إن دراسة هذه الأشكال الساحلية يسهل علينا فهم تغيرات مستوى سطح البحر بالنسبة لليابس فى هذه المنطقة والمناطق المجاورة ، وكذلك تساعدنا فى فهم كيفية نشأة هذا الساحل ومراحل تطوره الجيومورفولوجى .

• البحث مُستل من رسالة دكتوراه قدمها د/ سالم بن مبارك الحتروشي لقسم الجغرافيا بجامعة ويلز ، سوانزى ، يونيو ١٩٩٥ (Al-Hatrushi, S.M., 1995).



شكل (١-٥) الملامح الجغرافية للقسم الشرقي من ساحل خليج عُمان

#### وسائل وأساليب وطرق البحث :

اعتمدت الدراسة في جمع بياناتها بشكل رئيسي على التحليل الاستريوسكوبي للصور الجوية ، والمسح الميداني الذي اشتمل على قياس ارتفاعات أرصفة النحت البحري في عدد من المواقع المختارة . كما اعتمدت على نتائج التأريخ بطريقة كربون ١٤ المشع (C14 Dating) حيث تم اختيار عدد خمس عينات لشعاب مرجانية وقواقع بحرية انتزعت من شواطئ مرفوعة تتوزع على ارتفاعات متباينة من منطقة الدراسة ، ومقارنة وربط أعمارها بنتائج بعض الدراسات الأخرى التي تناولت مناطق متاخمة لمنطقة الدراسة الحالية (شكل ٥-).

وقد تفاوتت أعمار هذه العينات بين ٢٦ ألف إلى مايقرب من ٣٠ ألف سنة قبل الوقت الحاضر، وقد أعطانا تحديد أعمار هذه العينات صورة واضحة عن أعمار التكوينات الصخرية التي وُجدت بها ، ويعطينا صورة جَلِيَّة عن تغيرات مستوى سطح البحر بالنسبة إلى يابس منطقة الدراسة خلال أواخر الزمن الجيولوجي الرابع.



شكل (٥-٢) مواقع عينات القواقع البحرية التي تم تقدير أعمارها بالكربون ١٤ المُشع في منطقة الدراسة والمناطق المتاخمة لها

#### الخصائص الجيومورفولوجية لأرصفة النحت البحري :

يعد وجود أرصفة النحت البحري المرفوعة من العلامات البارزة التي تميز منطقة الدراسة ، وهي تشتمل على الساحل الواقع بين قربات ورأس الحد. ولا نبالغ إذا قلنا أن وجود سلسلة متعاقبة لشواطئ مرفوعة على شكل مدرجات يجعل هذا الجزء من الساحل العُماني متفرداً بهذه الظاهرة. وتشترك أرصفة النحت البحري في منطقة الدراسة في صفات مشتركة تتمثل في أنها تمتد بشكل متصل وبغير انقطاع (إلا في بقاع محدودة) ، وتمتد موازية لخط الساحل الحالي ، كما توجد أدلة على أثر العمليات البحرية في هذه الأرصفة تتمثل في بقايا الأقواس والمسلات البحرية المرفوعة، وكذلك بقايا قواقع بحرية منظمرة في تكويناتها.

ورغم أن منطقة الدراسة تشكل وحدة جيومورفولوجية واحدة ، إلا أن خصائص أرصفتها البحرية تختلف من جزء لآخر ، ومن ثم فقد تم تصنيف خط الساحل إلى أربعة أجزاء يتسم كل منها بسمات أو خصائص تميزه عن الأجزاء الأخرى من منطقة الدراسة ، وهذه الأجزاء هي :

| الجزء  | خصائص الساحل            | التوزيع الجغرافي      |
|--------|-------------------------|-----------------------|
| الأول  | ساحل الجروف الصخرية     | بين "دغمر وضباب"      |
| الثاني | ساحل صخري منخفض المنسوب | بين "ضباب والشاب"     |
| الثالث | ساحل الجروف الصخرية     | بين "الشاب وقلهات"    |
| الرابع | ساحل صخري منخفض المنسوب | بين "قلهات ورأس الحد" |

أولاً : ساحل الجروف الصخرية الممتدة بين " دغمر وضباب " :  
يمتد هذا الجزء من خط الساحل باتجاه الجنوب الشرقي لمسافة ٩ كيلومتر إلى " ضباب " . تتمثل على هذا الجزء من الساحل أربعة من أرصفة النحت البحرى تمتد بوضوح وجلاء متعاقبة وموازية لخط الساحل الحالى على المناسيب الآتية (صورة ٥-٤) :

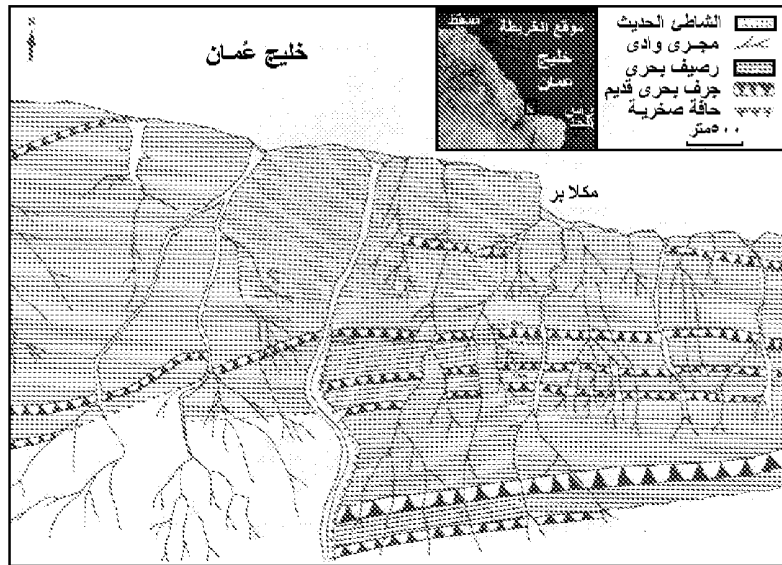
- ١- الرصيف الأعلى (الأقدم) يقع على منسوب ١٢٦ متر فوق مستوى سطح البحر الحالى .
- ٢- الرصيف الثانى يقع على منسوب ٨٥ متر فوق مستوى سطح البحر الحالى .
- ٣- الرصيف الثالث يقع على منسوب ٥١ متر فوق مستوى سطح البحر الحالى .
- ٤- الرصيف الرابع يقع على منسوب ٢٠ متر فوق مستوى سطح البحر الحالى .
- ٥- هناك رصيف خامس يقع على منسوب ١٠ أمتار فوق مستوى سطح البحر الحالى ، لكن لا تظهر منه سوى أجزاء متقطعة ومبعثرة .

ثانياً : الساحل الصخرى المنبسط الممتد بين " ضباب والشاب " :  
يمتد هذا الجزء من خط الساحل لمسافة ٣٥ كيلومتر ، ويشكل الرصيف الأول فيه سهلاً صخرياً منبسطاً تغطيه رواسب بحرية قديمة ، مختلطة بالرواسب الفيضية المنقولة فى بطون الأودية التى تشق هذا السهل الصخرى . ويبلغ ارتفاع هذا الرصيف فى الموقع الذى جُمعت فيه عينات من القواقع البحرية ١٢ متر فوق مستوى سطح البحر الحالى ، ويبلغ منسوب الرصيف الأحداث منه المتاخم لخط الساحل الحالى حوالى أربعة أمتار (صور ١-٥ ، ٢-٥ ، ٣-٥) .

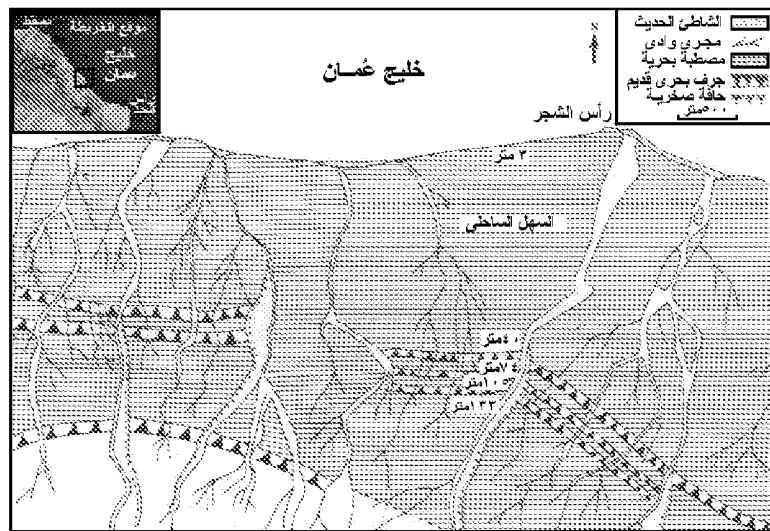
أما أرصفة النحت البحرى ذات الارتفاعات العالية فتظهر منحوتة فى جرف يتألف من الأحجار الجيرية التابعة للزمن الثالث ، ويبلغ متوسط عرض كل رصيف منها حوالى ١٠٠ متر، وتبلغ مناسيبها كالتالى (أشكال من ٣-٥ إلى ٥-٥) :

- ١- الرصيف الأعلى (الأقدم) يقع على ارتفاع ١٣٣ متر فوق مستوى سطح البحر الحالى .
- ٢- الرصيف الثانى يقع على ارتفاع ١٠٥ متر فوق مستوى سطح البحر الحالى .
- ٣- الرصيف الثالث يقع على ارتفاع ٧٤ متر فوق مستوى سطح البحر الحالى .



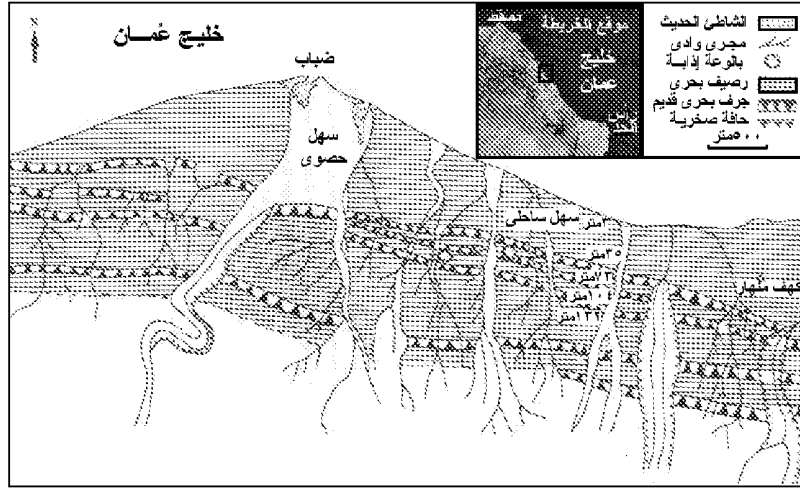


شكل (٣-٥) مورفولوجية الأرضة البحرية في منطقة " مكلا بر " الواقعة ضمن الجزء الثاني من منطقة الدراسة



شكل (٤-٥) مورفولوجية الأرضة البحرية في منطقة " رأس الشجر " الواقعة ضمن الجزء الثاني من منطقة

الدراسة

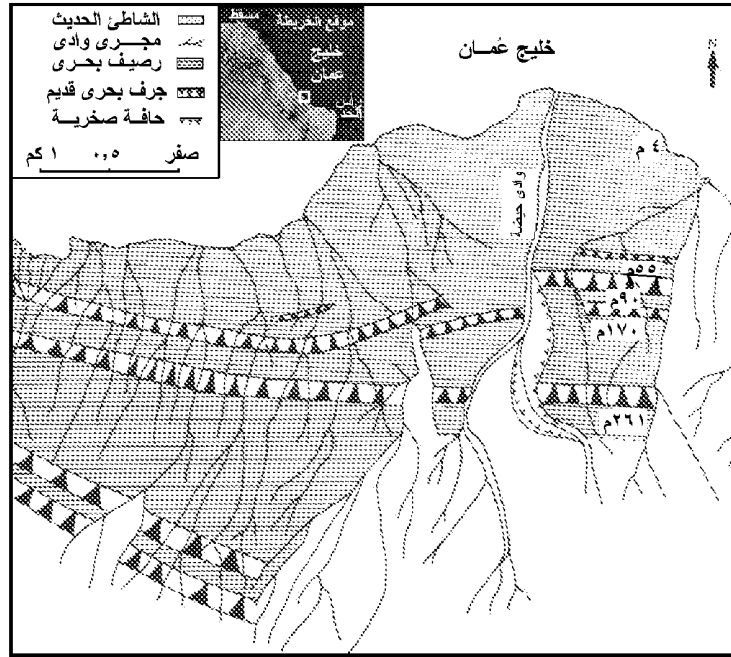


شكل (٥-٥) مورفولوجية الأرصفة البحرية في منطقة " ضباب " الواقعة ضمن الجزء الثاني من منطقة الدراسة

ثالثاً : ساحل الجروف الصخرية الممتدة بين " الشاب وقلهات " :

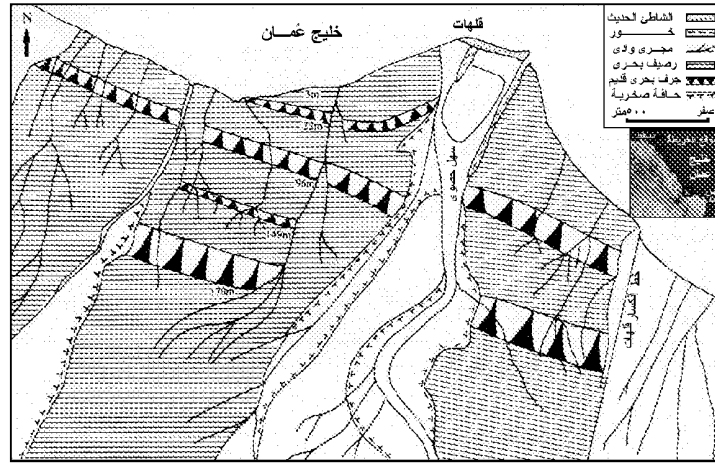
تمتاز أرصفة النحت البحري في هذا الجزء بتعددتها ، وارتفاع مناسيبها ، سطحها ضيق حيث يبلغ عرض سطح بعضها ٢٠ متر فقط ، وأنها غير متصلة تماماً ( شكل ٥-٦ و ٦-٧ ) .

- ١- يقع أعلى رصيف على ارتفاع ٢٦١ متر فوق مستوى سطح البحر .
- ٢- يقع الرصيف الثاني على ارتفاع ١٩٠ متر فوق مستوى سطح البحر ، وقد تم التعرف على ارسابات بحرية قديمة على سطحه .
- ٣- يقع الرصيف الثالث على ارتفاع ١٧٠ متر فوق مستوى سطح البحر .
- ٤- يقع الرصيف الرابع على ارتفاع ١٥٠ متر فوق مستوى سطح البحر .
- ٥- يقع الرصيف الخامس على ارتفاع ١٢٠ متر فوق مستوى سطح البحر .
- ٦- يقع الرصيف السادس على ارتفاع ٩٠ متر فوق مستوى سطح البحر .
- ٧- أما الرصيف السابع وهو الأكثر وضوحاً وامتداداً على طول خط الساحل بلا انقطاع ، يقع على ارتفاع ٥٠ متر فوق مستوى سطح البحر .
- ٨- كما يتسم الرصيف الثامن بالوضوح التام كذلك ، ويقع على ارتفاع ٣٤ متر فوق مستوى سطح البحر ، وتوجد على سطحه بقايا مسلات بحرية وأقواس منهاره .
- ٩- يقع الرصيف التاسع على ارتفاع ١٤ متر فوق مستوى سطح البحر ، وتغطي سطحه في بعض المواقع مصطبة مرجان مرفوعة *Raised Coral Terrace* وبسمك يتراوح بين متر ونصف إلى مترين .



شكل (٥-٦) مورفولوجية الأرصفة البحرية في منطقة وادي "حيضة" الواقعة ضمن الجزء الثالث من منطقة

الدراسة



شكل (٥-٧) مورفولوجية الأرصفة البحرية في منطقة "قلهات"

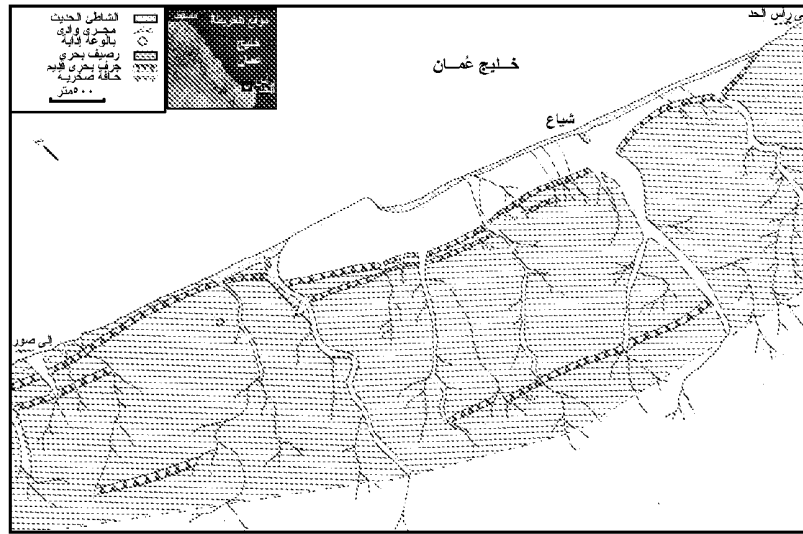
الواقعة فيما بين الجزء الثالث والجزء الرابع من منطقة الدراسة

رابعاً : الساحل الصخري المنخفض الممتد بين " قلّهات ورأس الحد " :  
يمتد هذا الجزء مسافة ٥٤ كيلومتر بين " قلّهات ورأس الحد " ، ويتكون معظمه من  
سهل صخري منبسّط تغطيه ارسابات بحرية قديمة إضافة إلى رواسب بطون الأودية ،  
كما هو الحال في الجزء الثاني من منطقة الدراسة .

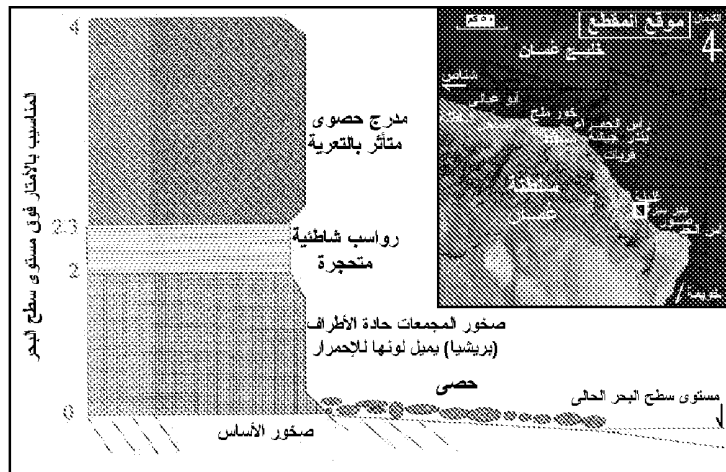
وتظهر أرصفة النحت البحري بجلاء على الشريط الساحلي الممتد بين صور ورأس الحد ، حيث تظهر أربعة أرصفة نحت بحري على المناسيب الآتية :

- ١- يقع أعلى رصيف على ارتفاع ٨٢ متر فوق مستوى سطح البحر .
- ٢- يقع الرصيف الثاني على ارتفاع ٣٧ متر فوق مستوى سطح البحر .
- ٣- يقع الرصيف الثالث على ارتفاع ٢٧ متر فوق مستوى سطح البحر .
- ٤- أما الرصيف الرابع فهو عبارة عن شاطئ مرفوع محاذي لخط الساحل الحالي، ويقع على ارتفاع ٥ أمتار فوق مستوى سطح البحر .

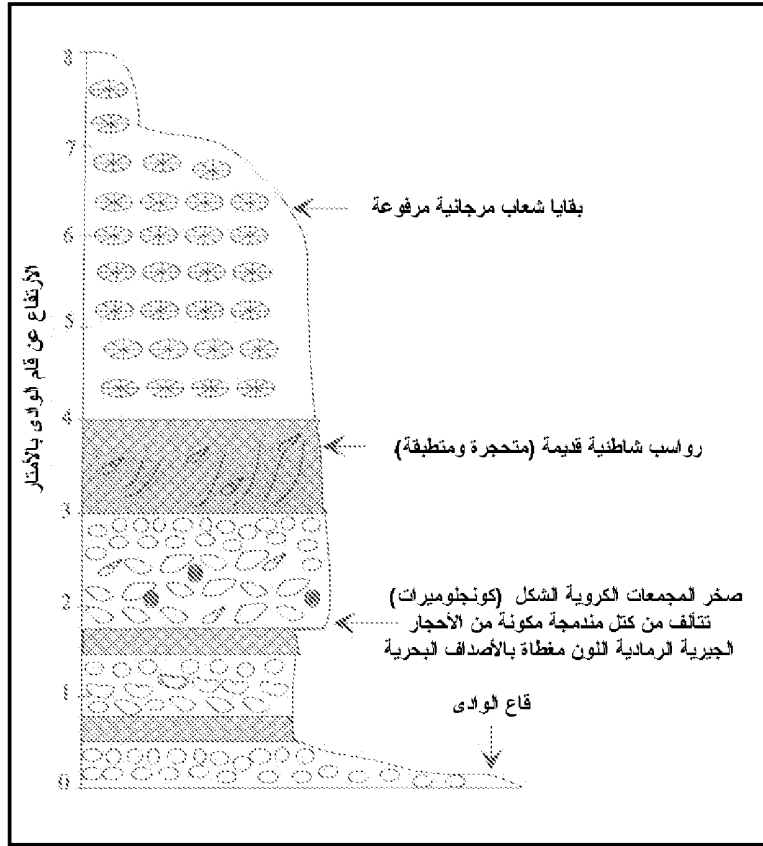
ويلاحظ أن هذه المجموعة من الأرصفة تتميز بانخفاض مناسيبها بالنسبة لبقية أجزاء منطقة الدراسة ، وقد يعود ذلك إلى انخفاض تضاريس سطحها الأولى (الأصلي) *Initial Surface* قبل تغير مستوى سطح البحر أثناء أواخر الزمن الرابع . كما أنه من الملاحظ أن البنية الجيولوجية *Geological Structure* تسهم بدور فعال في تحديد مناسيب أرصفة النحت البحري في منطقة الدراسة (أشكال من ٥-٨ إلى ١٠-٥) .



شكل (٥-٨) مورفولوجية الأرصفة البحرية في منطقة " شعاع " الواقعة ضمن الجزء الرابع من منطقة الدراسة



شكل (٥-٩) مقطع رأسي في تكوينات مصطبة بحرية مكونة من الحصى في منطقة "قلهات"



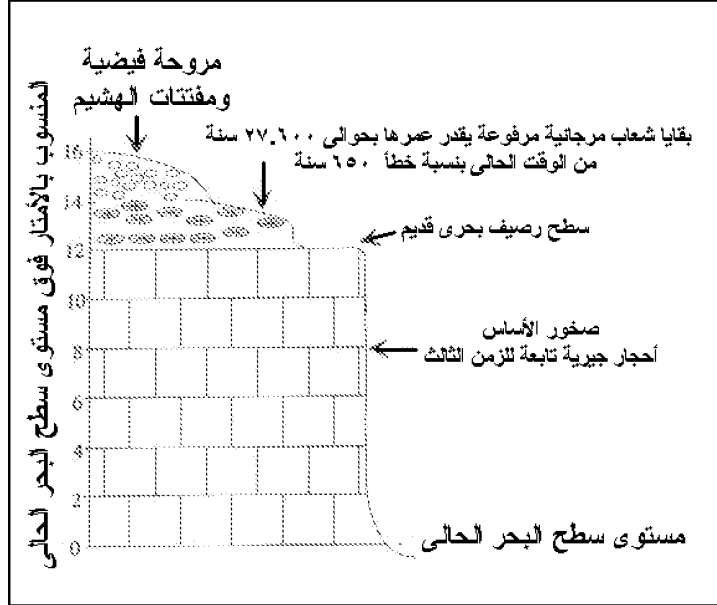
شكل (٥-١٠) مقطع رأسى فى تكوينات مصطبة بحرية جنوب  
"ضباب"

تقدير أعمار المصاطب البحرية :

اعتمدت الدراسة - كما سبق أن أوضحنا - على تقدير أعمار المصاطب الحرية بالمنطقة بتحليل بقايا الأصداف البحرية والشعاب المرجانية المجمعة من هذه المصاطب وتحليلها بأسلوب الكربون ١٤ المشع (شكل ٥-١١ و ٥-١٠)، وبلغ عدد العينات التى جمعت من مصاطب المنطقة خمس عينات موزعة على النحو التالى (جدول ٥-١) :

جدول (١-٥) نتائج تأريخ عينات الشعاب المرجانية والأصداف البحرية  
بالكربون ١٤ المُشع لساحل مسقط - رأس الحد

| رقم<br>العينة | نوع العينة   | المنسوب<br>بالمتر | الموقع الجغرافى   | العمر<br>بالسنوات<br>من الوقت<br>الحاضر |
|---------------|--|-------------------|---|---|
| ١             | شعاب مرجانية   | ١٤                | جرف بحرى تابع<br>للزمن الثالث<br>الجيولوجى يقع جنوب<br>شرق قرية طوى<br>بحوالى ٦ كم                      | ٢٧,٦٠٠<br>± ٦٥٠                         |
| ٢             | رخويات وطحالب<br>بحرية مندمجة فى<br>رواسب بحرية قديمة<br>مختلطة بكتل<br>ومجمعات كروية<br>الشكل "كونجلوميرات"<br>ومكسورات الأحجار<br>الجيرية والدولوميت | ٤,٥               | مصطبة بحرية مكونة<br>فى الأحجار الجيرية<br>التابعة للزمن الثالث<br>تقع شمال "مكلا بر"<br>بحوالى ٣٠٠ متر | ٢٩,٦٠٠<br>± ٨٠٠                         |
| ٣             |  | ٤,٥               | مصطبة بحرية<br>منسوبها ٣ أمتار، تقع<br>شمال غرب قرية "بير<br>بيرة" بالساحل<br>لمنطقة "صور"              | ٢٨,٢٠٠<br>± ٨٠٠                         |
| ٤             |  | ٣                 | مصطبة بحرية<br>منسوبها ٣ متر ، تقع<br>شمال شرق قرية<br>"ضباب" بحوالى ٣<br>كيلومترات                     | ٢٦,٤٠٠<br>± ٥٥٠                         |
| ٥             | أصداف بحرية من<br>فصيلة (Bivalves &<br>Gastropods)<br>مدفونة فى رواسب<br>بحرية مختلطة بكتل<br>المجمعات الكروية<br>الشكل "كونجلوميرات"                  | ١٢,٥              | مصطبة بحرية تقع<br>فى منطقة "رأس<br>الشجر"  | ٤٠,٠٠٠ >                                |



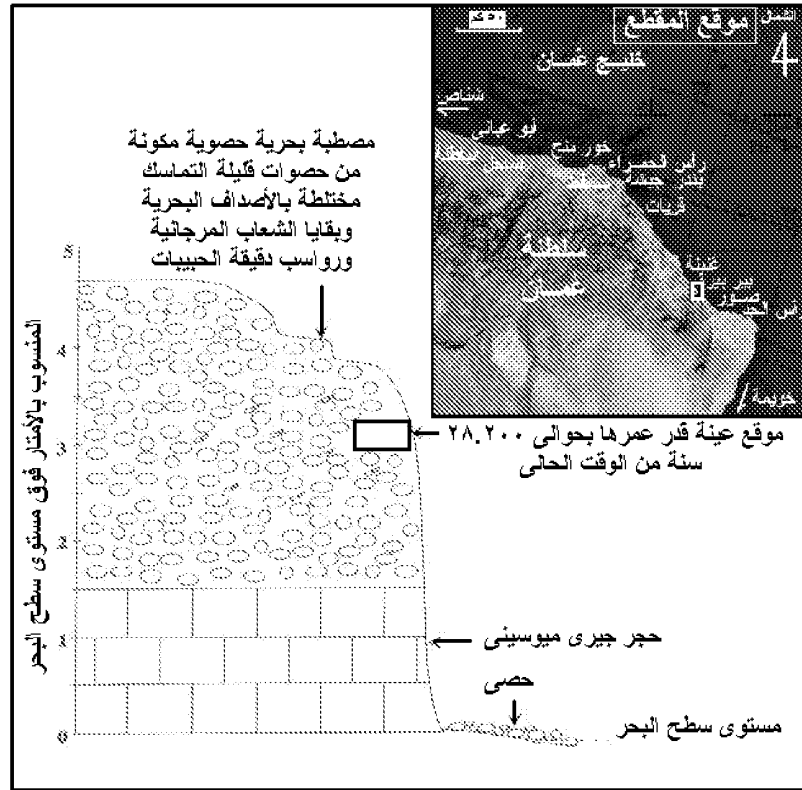
شكل (٥-١١) مقطع رأسى فى موقع العينة الأولى

- وبدراسة نتائج تأريخ العينات التى يوضحها (جدول ٥-١) نلاحظ ما يلى :
١. تعد العينة الخامسة أقدم العينات المجمعة من منطقة الدراسة وقدر عمرها بأكثر من الحد الأقصى للتأريخ بالكربون ١٤ المحدد بحوالى ٤٠ ألف سنة .
  ٢. تتراوح أعمار العينات المجمعة - مع استبعاد نتائج العينة الخامسة- فيما بين ٢٦,٤٠٠ سنة من الوقت الحاضر (بهامش خطأ ٥٥٠ سنة)، و ٢٩,٦٠٠ سنة من الوقت الحاضر (بهامش خطأ ٨٠٠ سنة).
  ٣. إذا قمنا بربط ومقارنة أعمار هذه العينات بالتقدير الزمنى الذى قدمه (Shackleton, 1987) لمستويات سطح البحر خلال أواخر الزمن الرابع ، نتبين أن هذه المجموعة من المصاطب تكونت نتيجة خلال الفترة الجليدية الأخيرة التى عملت على انخفاض مستويات البحار العالمية إلى منسوب سالب ٠,٧٥ متر عن مستواه الحالى.

٤. بدراسة نتائج تأريخ العينة الأولى التى جمعت من بقايا الشعاب المرجانية القديمة التى تقع على منسوب ١٤ متر ، نتبين أن مستوى سطح البحر أثناء هذه الفترة

يمكن تقديره بحوالى ١٥ متر فوق منسوبه الحالى ، على أساس أن المرجان ينمو عادة عند مستوى سطح البحر خلال فترات الجزر ، ومن المعلوم أن الفارق بين مستويات المد والجزر على سواحل خليج عُمان يتراوح بين ١,٧ و ٢ متر . وفى ضوء هذه التقديرات نرجح أن هذه المصطبة قد تكونت أثناء الفترة الدفيئة التى ساهمت فى ارتفاع مستوى البحر إلى منسوب يتراوح بين ١٢ و ١٥ متر فوق مستواه الحالى، التى أكد حدوثها (Gardner, 1988) عند دراسته لساحل منطقة وهيبة الرملى (صورة ٥-٤) .

٥. يشير تأريخ العينات أرقام ٢ ، ٣ ، ٤ التى يتراوح منسوبها بين ٣ و ٤,٥ متر ، إلى أنها قد تكونت أثناء فترات ارتفاع مستوى البحر التى حدثت خلال الهولوسين الأوسط .



شكل (٥-١٢) مقطع رأسى فى موقع العينة الثالثة

الخلاصة :

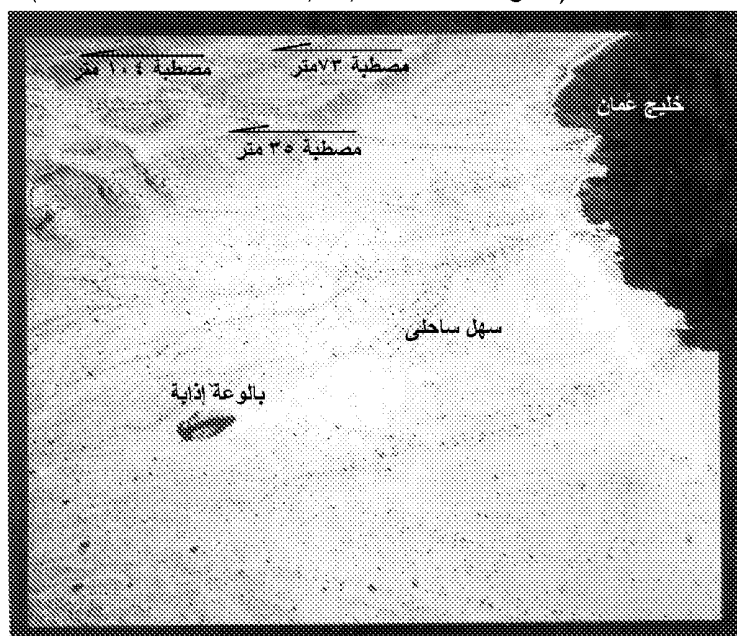
تتراوح مناسيب المصاطب البحرية المدروسة بين ٣ و ١٥ متر فوق مستوى البحر الحالى ، وتتراوح أعمار هذه المصاطب بين ٢٦,٤٠٠ سنة و ٢٩,٦٠٠ سنة من الوقت



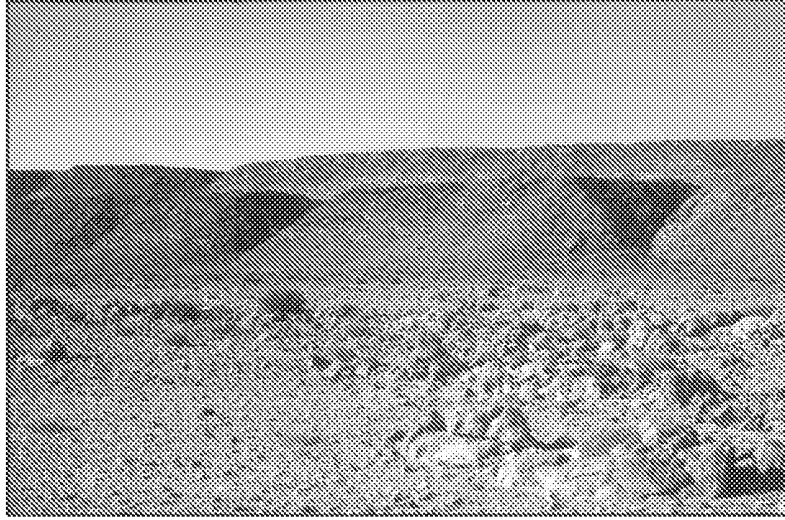
الحاضر بهامش خطأ في الحدود المقبولة ، وعلى ذلك يقترح الباحث أن هذه المصاطب قد تكونت خلال الفترات الدفيئة التي حدثت في الهولوسين الأوسط . لكن لم يتمكن الباحث من تقدير عمر العينة الخامسة التي تم جمعها من منطقة "رأس الشجر" بسبب قدم عمرها إلى أكثر من الحد الأقصى للتأريخ بالكربون ١٤ وهو ٤٠ ألف سنة.



صورة (٥-١) صورة جوية رأسية لتتابع المصاطب البحرية في المنطقة المحصورة بين "دغمر وضباب" (تاريخ التصوير : ٢٥/١٠/١٩٨١ ، بمقياس ١:٣٠٠٠٠)



صورة (٥-٢) صورة جوية مائلة Oblique توضح مجموعة متعاقبة من المصاطب البحرية في منطقة "ضباب"



صورة (٣-٥) أثنين من المصاطب البحرية فى الجزء الثانى من منطقة الدراسة الممتد بين  
" ضباب والشاب " على منسوب ٣٥ ، ٧٣ متر



صورة (٤-٥) شعاب مرجانية قديمة تبدو على إحدى المصاطب البحرية  
بالجزء الأول من منطقة الدراسة الممتد بين " دغمر وضباب "

1. Beydon, Z.R (1980)  
**"some Holocene geomorphological and sedimentological observation from Oman and their palaeogeological implications."** *Journal of Petroleum Geology*, 2(4): 427-437.
2. Biagi, P. (1994)  
**"A radiocarbon chronology for the aceramic shell-middens of coastal Oman"**, *Arabia Arabian Archaeology and Epigraphy*, 5: 17-31.
3. Bureau de Recherches Geologiques et Mineres (BRGM, 1986)  
**Geological Map of Masqat, Scale 1:100,000, with Explanatory Notes, Directorate General of Minerals, Ministry of petroleum an Minerals, Sultanate of Oman, 45 pp.**
4. ----- (BRGM, 1986)  
**Geological Map of Quryat, Scale 1:100,000, with Explanatory Notes, Directorate General of Minerals, Ministry of petroleum an Minerals, Sultanate of Oman, 72 pp.**
5. ----- (BRGM, 1991)  
**Geological Map of ja'alan, Scale 1:100,000, with Explanatory Notes, Directorate General of Minerals, Ministry of petroleum an Minerals, Sultanate of Oman.**
6. ----- (BRGM, 1992)  
**Geological Map of sur, Scale 1:250,000, with Explanatory Notes, Directorate General of Minerals, Ministry of petroleum an Minerals, Sultanate of Oman, 85 pp.**
7. Gardner, R.A. (1988)  
**"Aeolianite and marine deposits of Wahiba Sands: character and palaeoenvironments"** *The Journal of Oman Studies* "Special Report No.3 :75-94.
8. Glennie, K.W. (1988)  
**"The geological setting of the Wahiba Sands of Oman"** *Jornal of Oman Studies Soecial Report No.3: 55-60.*
9. Kassler, P.(1973)  
**"The structure and geomorphologic evolution of the Gulf."** In: Purser, B. (ed.) *The Persian Gulf, Springer-Velag, Berlin, 11-32.*
10. Maizels, J. (1990a)

***“Long-term palaeochannel evolution during episodic growth of an exhumed Plio-Pleistocene alluvial fan, Oman,” In: Rachocki, A.H. and Church, M.(ed), Alluvial Fans: a Field Approach, John Willey and Sons Ltd., Chichester, 271-304.***

11. Maizels, J. (1990b)

***“Raised channel systems as indicators of palaeohydrologic change: a case study from Oman” Palaeogeography, Palaeoclimatology, Palaeoecology, 67: 241-277.***

12. Shackleton, N.J(1987)

***“Oxygen isotopes, ice volume and sea level”, Quaternary Science Reviews, 6: 183-190.***

## الفصل السادس

شبه جزيرة "مُسندم" - سلطنة عُمان

أ.د. محمد مجدى تراب

## الفصل السادس

### شبه جزيرة "مُسندم" - سلطنة عُمان

#### الموقع الفلكي والجغرافي :

تقع شبه جزيرة "مُسندم" في أقصى الطرف الشمالي لسلطنة عُمان عند مدخل الخليج العربي (شكل ٦-١) ، وتنحصر فيما بين دائرتي عرض ٢٥' ٤٠° و ٢٦' ٢٠° شمال خط الاستواء ، وبين خطي طول ٥٦' ١٠° و ٥٦' ٣٠° شرق جرينيتش . تنقسم محافظة "مُسندم" إلى أربع ولايات هي : "خَصَب" عاصمة المحافظة، بُخاء ، مضغاء ، وتقع الولايات الثلاث على ساحل الخليج العربي ، أما ولاية "دبا البيعة" فتطل على ساحل خليج عُمان.

#### الملامح الجغرافية :

تتخذ "مُسندم" شكل مثلث حاد الزوايا متساوي الساقين يطل برأسه على مضيق هرمز الاستراتيجي الذي يعتبر البوابة الرئيسية للخليج العربي ، ويطل الساحل الشرقي لـ "مُسندم" على خليج عمان بشقة ساحلية مسننة بالأخوار والرؤوس البحرية الجرفية ، أي تتشابه في مظهرها المورفولوجي مع سواحلها الغربية المطلّة على الخليج العربي ، تبدو على شكل مداخل بحرية "أخوار" شبيهة في مظهرها المورفولوجي بالفيوردات ، ويرتبط كل خور أو مدخل بحري منها بأحد مصبات الأودية شبه الجافة الشديدة الانحدار ، وعلى ذلك فهي تمثل مصبات غارقة لهذه الوديان ، وتفصل بين هذه المداخل أو الأخوار رؤوس بحرية إصبعية المظهر ، جرفية الانحدار ، شديدة التهدل بحركات الطي والتصدع . وتتخذ شبه الجزيرة المظهر الهضبي بوجه عام ، ولا يقل متوسط منسوبها عن ٨٠٠ متر ، وتبرز منها العديد من القمم الجبلية أكثرها ارتفاعاً قمة جبل "حريم" التي تبلغ حوالى ٢٠٨٧ متر (شكل ٦-٢).

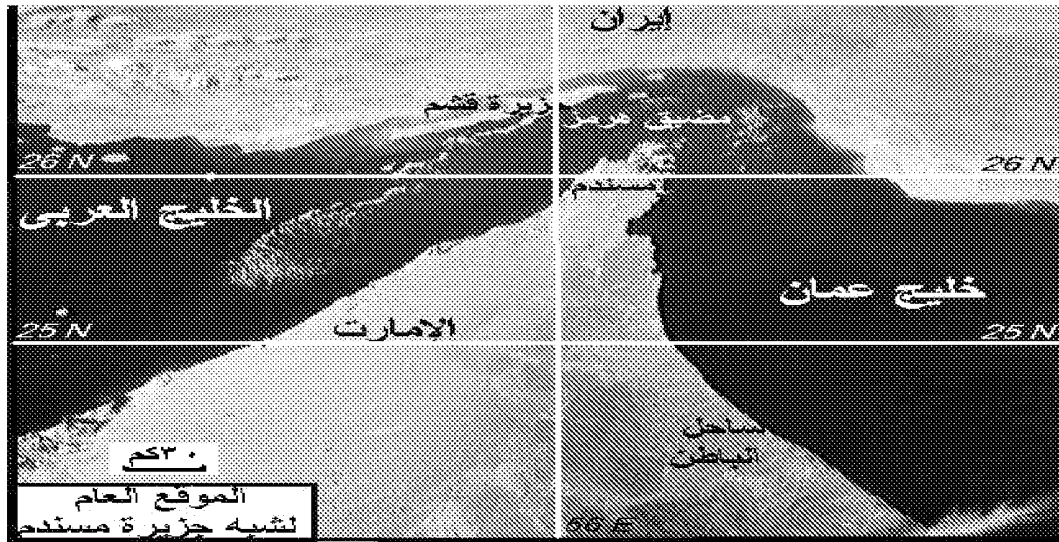
يبلغ عدد سكان محافظة "مُسندم" حوالى ٢٩ ألف نسمة عام ١٩٩٣ ، معظمهم من السكان المحليين بنسبة ٧٨،٢% ، والنسبة الباقية للعمال الوافدين من بعض دول جنوب وشرق آسيا أهمها الهند وباكستان وبنجلاديش وأفغانستان ، بالإضافة إلى نسبة محدودة من العمال العرب . تنخفض كثافة السكان بولاية مُسندم انخفاضاً واضحاً ، ولا تتعدى كثافة السكان بها أكثر من ١٦ نسمة / كم<sup>٢</sup> بسبب وعورة تضاريسها (محمد زهرة ، ٢٠٠٠ ص ١٠١) ، إذ يتبعثر السكان بأعداد محدودة في تجمعات حضرية تنتشر عند رؤوس الأخوار التي ترتبط مواضعها بمصبات الأودية شبه الجافة ، بسبب استخدامها كمرسى وملجأ لقوارب الصيد من ناحية، وتوافر المياه الجوفية ، وخصوبة تربة المراوح الفيضية الملائمة للزراعة من ناحية أخرى . كما تنتشر تجمعات مبعثرة من السكان على سطح الهضبة ، يتخذون من المساكن الحجرية أو المنحوتة في الحافات الصخرية مأوى لهم ، ويجمعون مياه الأمطار الشحيحة في خزانات محفورة على سطح الهضبة ، ويعملون في رعى الماعز بصفة أساسية .

#### الخصائص الجيولوجية :

يتألف نطاق رؤوس الجبال في أغلبه من الأحجار الجيرية بسمك إجمالي يصل لنحو ٢٥٠٠ متر ، وهي تتبع الزمن الجيولوجي الثاني ، وتتكون من طبقات تتألف بصفة أساسية من الحجر الجيري ، الدولوميت ، الحجر الرملي ، الكوارتز ، والطفل (Gelnine, K.W., et al., 1974) ، وتنقسم إلى ثلاث مجموعات وفقاً لدراسات "هدسون" (Hudson, R.G.S. et al, 1954 & 1959) ، ويلخص (جدول ٦-١) أهم خصائصها :

جدول (٦-١) التتابع الجيولوجي لمنطقة رؤوس الجبال

| العمر الجيولوجي                 | اللون         | السماك<br>بالمتر  | المجموعة الصخرية  |
|---------------------------------|---------------|-------------------|---|
| جوراسي -<br>كريتاسي أسفل        | رمادي<br>غامق | ١٠٠٠ -<br>١٥٠٠    | ١- مجموعة "مُسندم"  |
| ترياسي أعلى<br>ترياسي أوسط/أعلى | حمراء         | ٢٥٠<br>١٥٠        | ٢- مجموعة الفنستون ،<br>وهي تنقسم إلى التكوينات<br>التالية :<br>(أ) تكوينات غليلة<br>(ب) تكوينات ملاح                   |
| ترياسي<br>برمي<br>برمي          | أصفر          | ٥٠٠<br>٢٠٠<br>٢٠٠ | ٣- مجموعة رؤوس الجبال<br>وهي تنقسم إلى التكوينات<br>التالية:<br>(أ) تكوينات غايل<br>(ب) تكوينات هاجل<br>(ت) تكوينات بيج |



شكل (٦-١) مرئية فضائية توضح الموقع الفلكي والجغرافي لشبه جزيرة "مُسندم"



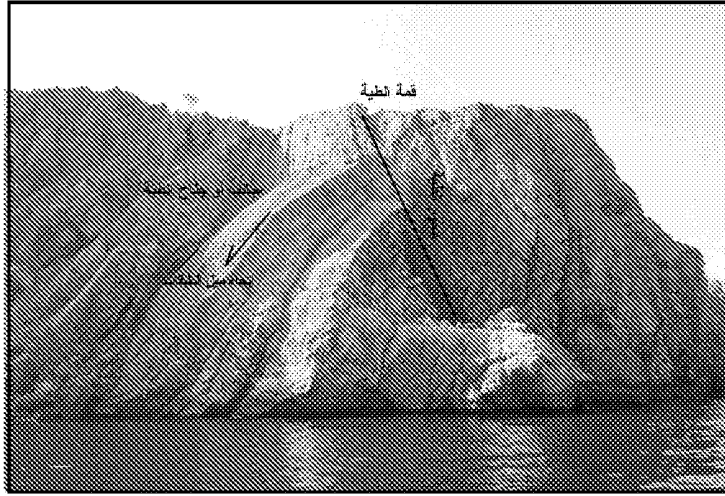
شكل (٦-٢) مرئية فضائية توضح الملامح الجغرافية لشبه جزيرة "مسندم"

وتتميز الزمن الجيولوجي الرابع بفترات أو أدوار أرتفع خلالها مستوى سطح البحر إلى مستويات بلغ أقصاها ٩٠ أو ١٠٠ متر فوق مستواه الحالي أثناء فترات الدفء ، نتيجة انصهار جزء من الغطاءات الجليدية بالمناطق الباردة وقمم الجبال ومساهمته في ارتفاع منسوب البحار العالمية ، فغمر أجزاء كبيرة من سطح الأرض ومن بينها سواحل شبه جزيرة "مسندم" ، وترك عليها العديد من الشواهد والأدلة التي تشير إلى مستواه خلال هذه الفترات المناخية الدفينة قبل تغير الأحوال أثناء الفترات الجليدية وانخفاض مستويات البحار العالمية عدة مرات لمناسيب بلغ أقصاها ١٠٠ متر تحت مستوى سطح البحر الحالي ، نتيجة زيادة سمك الغطاءات الجليدية بالمناطق القطبية ، وتزحزح خط الثلج الدائم نزلًا نحو سفوح الجبال والعروض المعتدلة .

تمثل سلاسل رؤوس الجبال العمود الفقري لشبه الجزيرة ، وهي تمتد من الشمال للجنوب كنطاق إلتوائي يرتبط بنويًا بجبال زاغروس ، وتمثل نطاق ضعف جيولوجي يقع عند تصادم اللوح التكتوني لشبه جزيرة العرب مع اللوح الآسيوي ممثلاً في الكتلة الإيرانية ، مما عمل على تأثرها بالتركيبة البنائية النشطة خلال الزمن الثالث ، واستمر تأثيرها خلال الزمن الرابع على شكل مجموعات من نظم الفواصل الصخرية الكثيفة ، وخطوط الانكسارات التي تأخذ إتجاهاً شمالياً شرقياً / جنوبياً غربياً ، وساهمت هذه التراكيب الانكسارية في تكوين الجروف البحرية الشاهقة المنتشرة على معظم سواحل شبه الجزيرة ، كما ساهمت هذه الانكسارات في توجيه أجزاء غير يسيرة من شبكات التصريف المائي ، وخاصة شبكة وادي خصب أكبر أحواض التصريف المائي بشبه الجزيرة (شكل ٦-٣) .

كما تعرضت شبه جزيرة "مسندم" لحركة هبوط أرضي غير متوازنة *Tilting* *subsidence movement* في اتجاه مضيق هرمز لا زالت مستمرة حتى الوقت الراهن ، بسبب تحرك وتصادم لوح شبه جزيرة العرب وانغماسه أسفل هوامش الكتلة الإيرانية ، (Falcon, N.L., 1973, pp.1-7) (صور ٦-١ ، ٦-٢) .

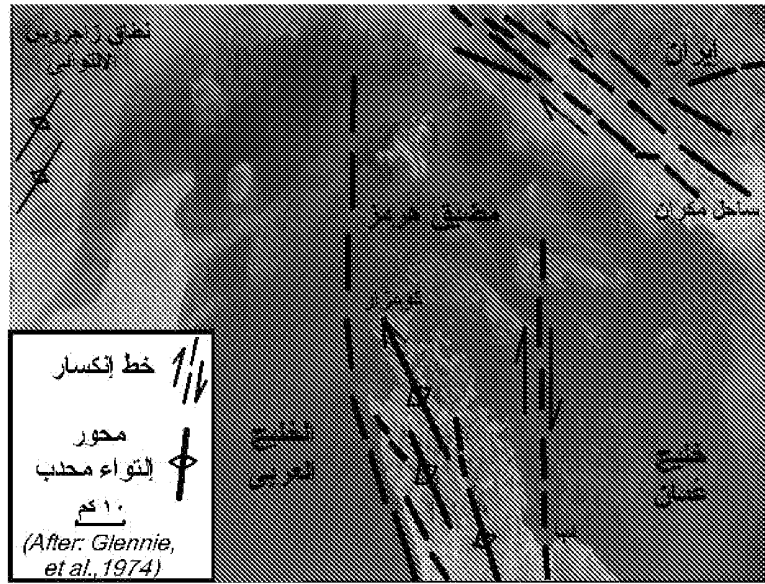




صورة (١-٦) طية وحيدة الجانب تظهر على خط الساحل  
على شكل جُرف إلتوائي النشأة عند رأس " شخص "  
على الجانب الأيسر من مدخل خور " شم "



صورة (٢-٦) جرف بحري إنكسارى النشأة بالقرب من قرية " الحرف "



شكل (٦-٣) خريطة التراكيب البنيوية لشبه جزيرة مسندم ومضيق هرمز

#### الدراسات السابقة :

لم تحظ شبه جزيرة " مسندم " بحقها من الدراسات الجغرافية بصفة عامة والجيومورفولوجية على وجه الخصوص ، ألهم إلا بعض التقارير التي قدمتها البعثات العلمية الأجنبية للجمعية الجغرافية الملكية البريطانية وأهمها ، (Falcon,N.L.,1972 & 1973 , Vital Finzi, C. and Cornelius,P.F.S., 1973, Vital Finzi,C., 1982) التي رجحت غرق أو انغمار الأرصفة البحرية تحت مستوى سطح البحر نتيجة حركة الهبوط الأرضي التي تعرضت لها شبه الجزيرة خلال الزمن الرابع ، كما أوضحت نتائج هذه البعثة أنها لم تستدل على أية شواطئ مرفوعة في أنحاء شبه الجزيرة . Falcon,N.L., et al., 1973 , p. (3) ورجحت غرق هذه الأرصفة تحت مستوى سطح البحر الحالي على عمق يتراوح بين ٣٥ و ٩٠ مترا ، كما أشارت نتائج البعثة إلى وجود الرواسب الفيضية التابعة للزمن الرابع غارقة على قيعان الأخوار التي تمثل المصببات القديمة لأودية شبه الجزيرة .

وأشار "جليني" عند دراسته لجيولوجية جبال سلطنة عمان إلى وجود بقايا لسهل تحتاني قديم على منسوب ٣٠٠ متر ميزها على السهول الشرقية لشبه جزيرة مسندم ، وتعرضها للهبوط والغرق تحت سطح البحر الحالي (Glennie,et al., 1974 p.351).

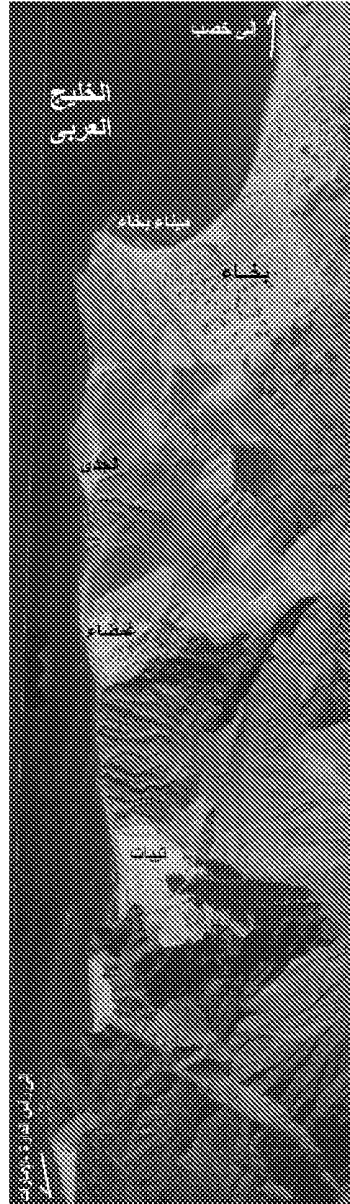
#### هدف وطرق البحث ووسائله وأدواته :

يهدف هذا البحث إلى الكشف عن آثار ودلائل ارتفاع مستويات البحر على جروف "مسندم" البحرية دون شواهد تراجعه ، لأنه يصعب بالطبع دراسة دلائل انحسار البحر وانخفاضه .

وتستند هذه الدراسة على البحث الميداني في المقام الأول بسبب ندرة الكتابات الجغرافية عن شبه الجزيرة ، وتمت الزيارة الميدانية الأولى خلال الأسبوع الأول من شهر ديسمبر ٢٠٠١ ، أمكن خلالها دراسة بعض مظاهر ذبذبات سطح البحر على الجروف الغربية لشبه الجزيرة على طول الطريق الساحلي بين دولة الإمارات وبلدة "خَصْب" ، وإستخدام قارب في دراسة الجروف البحرية المحصورة بين بلدة "خَصْب" و خور " شم " (شكل ٦-٤).

وخصّصت الزيارة الثانية لدراسة الجروف الشرقية "لمُسندم" فيما بين بلدتي "دبا" و "ليما" ، ودراسة دلائل التذبذب على جروف خور "الحبيلين" وتمت بحمد الله خلال الأسبوع الأخير من شهر ديسمبر ٢٠٠١ ، وأجريت الزيارة الثالثة والأخيرة خلال شهر يناير من عام

۱۴۳



صورة (٦-٤) صورة جوية رأسية للساحل الغربي المحصور بين حدود دولة الإمارات وميناء " بقاء " الذي تمت دراسته خلال الزيارة الميدانية الأولى وقد استُخدم في الزيارات الثلاث أسلوب التصوير التفصيلي بالفيديو ، وتحويل الأفلام المصوّرة إلى ملفات على الحاسب *Clip Files*<sup>١٢</sup> ، واستُخدمت ملفات الفيديو المُسجّلة على الحاسب في إنتاج آلاف الصور الفوتوغرافية المتتابعة لكل أجزاء الجروف البحرية تفصيلياً<sup>١٣</sup> ، مما يتيح فحصها مكتبياً ، واستخدامها في رسم أشكال توضيحية وإضافة البيانات عليها، وقد أفاد هذا الأسلوب كثيراً في إنشاء مقاطع تضاريسية للجروف البحرية . وتم رسم خرائط

<sup>12</sup> تمت عملية تحويل أفلام الفيديو إلى ملفات على الحاسب الآلى باستخدام جهاز Digital Video Creator الذى يتيح أيضاً إمكانية إنتاج أقراص

مندرجة أو مرئية *CD,s & DVD* أو العكس أى تحويل ملفات الحاسب إلى أشرطة فيديو *Video tapes*

<sup>13</sup> تم تصنيف وفرز وتحويل أفلام الفيديو إلى صور فوتوغرافية متتابعة ، باستخدام برنامج *Movie Star* .

جيومورفولوجية ميدانياً ، بعد توقيع الرموز والعلامات الاصطلاحية على خريطة أساس مستمدة من مجموعة خرائط طبوغرافية<sup>14</sup> بمقياس ١ : ١٠٠٠٠٠ ، وصورة جوية رأسية مأخوذة للساحل الغربى لشبه الجزيرة<sup>15</sup> ، وصورة جوية مائلة *Oblique Aerial Photograph* للجزء الأوسط من شبه الجزيرة.

وتم قياس ارتفاعات بقايا المدرجات البحرية باستخدام قامة مدرجة وشريط تيل مزود بثقل للمدرجات والجروف الرأسية المحدودة الارتفاع (صورة ٦- ٥) ، وجهاز تيودوليت لقياس المدرجات الأكثر ارتفاعاً ، وتحديد المواقع فلكياً باستخدام جهاز *G.P.S*<sup>16</sup>.

إلا أنه ترجع صعوبة دراسة الدلائل المتبقية عن تذبذب مستوى سطح البحر على جروف "مُسندم" إلى تأثير هذه البقايا بحركة الهبوط الأرضى الغاطسة فى إتجاه الخليج العربى خلال الزمن الرابع ، إلى جانب الصعوبات الناجمة عن تضرس المنطقة الوعرة وعدم توافر الطرق الممهدة فى شبه الجزيرة ، إلا من طريق وحيد يصل بين حدود الإمارات العربية المتحدة شمال قرية "شعم" التابعة لإمارة رأس الخيمة ، و بلدة " خَصَب " عاصمة محافظة "مُسندم" ، بطول حوالى ٤٠ كيلومتر ، كما يوجد طريق جبلى وعَر يصل بين بلدتى " خَصَب " و "دبا" يبلغ طوله حوالى ١١٠ كيلومترات ، كان مستخدماً أثناء الحرب العالمية الثانية . ولذا فوسيلة الانتقال بين قرى "مُسندم" المتوافرة هى القوارب والسفن الصغيرة التى ينقلون بها منتجاتهم المحدودة من رؤوس الأغنام والماعز وحصيلة الصيد من الأخوار ، ويجلبون عن طريقها مواد الغذاء بل ومياه الشرب فى أغلب الأحيان (صورة ٦- ٦) .

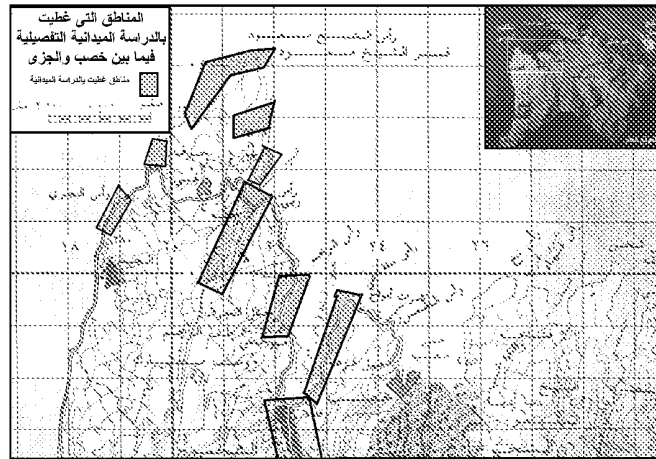


صورة (٦- ٥) عملية قياس مدرج بحرى بالقامة

<sup>14</sup> خرائط طبوغرافية بمقياس ١ : ١٠٠٠٠٠ ، وفاصل كتورى ١٠٠ متر ، صادرة عن الهيئة الوطنية للمساحة بسلطنة عمان عامى ، ١٩٨١ ، ١٩٩٥ ، لوحات : خَصَب ، رمس ، كومزار .

<sup>15</sup> صورة جوية رأسية غير محددة التاريخ أمكن حساب مقياسها ، تم الحصول عليها من شبكة إنترنت من الموقع التالى : <http://www.dataxinfo.com/hormuz/aerials.htm>

<sup>16</sup> استخدم جهاز تيودوليت دقة ٥ ثوان ماركة زايس ، وجهاز *G.P.S* ماركة ماحلان يحدد المواقع فلكياً بدقة ثلاث أمتار.



شكل (٤-٦) المناطق التي غُطيت بالدراسة الميدانية التفصيلية بين بلدتي "خصب" و "الجزى"



صورة (٦-٦) خور "حنه" غرب خصب بحوالي ٣ كيلومترات الذي يستغله السكان كمرفأ لقوارب الصيد مأخوذة من حافة الشيخ مسعود ناظراً في إتجاه الشمال الشرقي .

### النتائج :

سنقسم نتائج دراسة دلائل تذبذب مستوى سطح البحر إلى قسمين يختص أولهما بالسواحل الغربية لشبه الجزيرة المُطلة على الخليج العربي، ويتناول القسم الثاني سواحلها الغربية المُطلة على خليج عُمان :

أولاً : دلائل تذبذب مستوى سطح البحر على السواحل الغربية لشبه جزيرة " مُسندم " المُطلة على الخليج العربي :

كشفت الدراسة الميدانية للسواحل الغربية لشبه جزيرة مُسندم المحصورة بين بلدتى " تيبات " - قرب الحدود السياسية بين دولة الإمارات وسلطنة عُمان - و " كُمزار " - الواقعة عند أقصى الطرف الشمالى لمُسندم - ، وجود بقايا لأربعة مدرجات بحرية تابعة لعصر البلايستوسين ، ودرج خامس يرجع لعصر الهولوسين ، ويمكن ترتيبها من الأقدم للأحدث وتقدير أعمارها فيما يلى (جدول ٢-٦) بعد ربط مناسيبها بدراسات (زوينر 1959, Zeuner) :

جدول (٢-٦) المدرجات البحرية على السواحل الغربية لشبه جزيرة مُسندم وفقاً لدراسة الباحث

| العصر التابع له | اسم المدرج              | المنسوب بالأمتار | العمر بالآلاف السنوات |
|-----------------|-------------------------|------------------|-----------------------|
| البلايستوسين    | المدرج الصقلى           | ٧٦-٨٨            | ٦٦٠                   |
|                 | المدرج الميلازى         | ٤٩-٥٦            | ٥٠٠                   |
|                 | المدرج التيرانى         | ٢٣-٢٨            | ٢٧٠                   |
|                 | المدرج المونستيرى       | ٦-٩              | ١٢٥                   |
| الهولوسين       | المدرج الفلاندرى الحديث | -٢,٠٠<br>٢,٤٠    | ١                     |

كما لوحظ وجود علاقة ارتباط بين مستويات سطح البحر القديمة التى تركت آثارها على بقايا المدرجات البحرية *Raised Marine Terraces* المنتشرة على سواحل شبه جزيرة "مُسندم" ، والعديد من الشواهد والدلائل والظواهر الجيومورفولوجية الأخرى ذات العلاقة ، التى أمكن التعرف عليها سواء على خطوط السواحل القديمة ، أو على بطون وجوانب الأودية المرتبطة بهذه السواحل قبيل انخفاض مستوى سطح البحر ، وفيما يلى عرض لأهم هذه الدلائل :

#### ١- بقايا المدرجات البحرية *Raised Marine Terraces* :

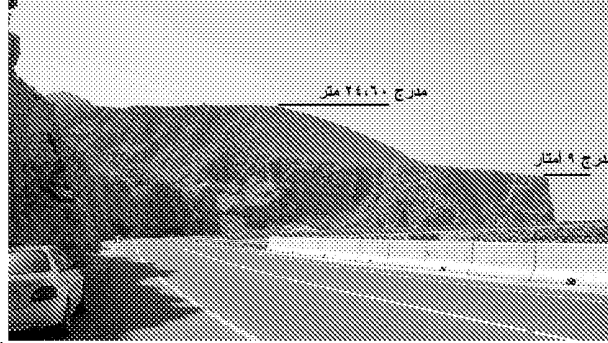
أوضحت الدراسة الميدانية لجروف "مُسندم" الغربية المُطلة على الخليج العربى أن بقايا المدرجات البحرية المنتشرة على الساحل الغربى لمُسندم تتميز بالخصائص والسمات الآتية :

(أ) انخفاض مناسيب بقايا المدرجات المنتشرة على الساحل الغربى المُطل على الخليج العربى ، بالمقارنة بنظيراتها المبعثرة على الساحل الشرقى المُطل على خليج عُمان ، بقيم تتراوح بين ٥ و ١٠ أمتار ويرجع ذلك إلى تعرض شبه جزيرة "مُسندم" إلى حركة هبوط أرضى غير متوازنة *Tilting* *subsidence movement* فى اتجاه الخليج لعربى بسبب تصادم اللوح الجيولوجى لشبه جزيرة العرب وانغماسه أسفل اللوح الآسيوى .

(ب) تتميز معظم بقايا المدرجات البحرية القديمة التابعة لفترات الصقلى ( ٧٦-٨٨ متراً ) ، والميلازى ( ٤٩-٥٦ متراً ) ، والتيرانى ( ٢٣-٢٨ متراً ) بعدم استواء

سطوحها ، إذ أنها تنحدر انحداراً ملحوظاً نحو الخليج العربى بقيم تتراوح بين ٩ ، ١٤ درجة، ويرجع ذلك لتأثرها بحركة الهبوط الأرضى (صورة ٦-٧، صورة ٦-٨) .

(ج) تظهر بقايا المدرجات البحرية الأحدث من فترة التيرانى مستوية تماماً، وهى المدرجات التابعة لفترة المونستيري (٩-٦ أمتار) ، وعصر الهولوسين (٢٠٠-٢٤٠ متر) (شكل ٦-٥ ، وصور من ٦-٧ إلى ٦-١٢) ، مما يشير إلى أنها لم تتعرض لتأثير حركة الهبوط الأرضى بسبب حداثة تكوينها ، أو تأثرها بهذه الحركة لفترة زمنية قصيرة نسبياً بالمقارنة ببقايا المدرجات الأقدم.



صورة (٦-٧) مدرجان بحريان تظهر بقاياهما على منسوب ٢٤٠٠ متر، ٩ أمتار شمال قرية الجرى بحوالى ٦٥٠ متر ناظراً للجنوب



صورة (٦-٨) مدرج بحرى يظهر على منسوب تسعة أمتار جنوب بلدة " خصب " بحوالى أربعة كيلومترات ينحدر انحداراً واضحاً فى اتجاه الخليج العربى بتأثير حركة الهبوط الأرضى التى تتعرض شبه جزيرة "مسندم"

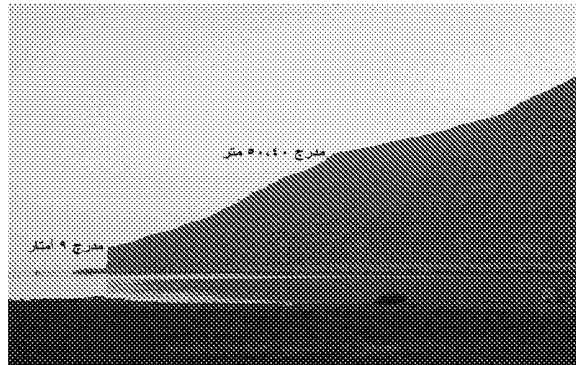




صورة (٩-٦) مدرج ٩٠٤٠ متر وبقايا مدرج ٢٠٠٠ متر تعرض لعمليات النحت البحرى الحديثة تظهر شمال قرية "غمضاء"



صورة (١٠-٦) مدرج ٩٠٤٠ متر شمال قرية "غمضاء" بحوالى كيلومتر واحد.



صورة (١١-٦) مقطع مصور جنوب بلدة "خصب" بحوالى ٥ كيلومترات



ينتشر عدد من الكهوف البحرية المتناثرة على حضيض الجروف بمنطقة مسندم ، وخاصة فيما بين بلدتي الجرى وغمضاء ، وتتميز هذه الكهوف بتكون أراضيها على مناسيب تتراوح بين المترين وأقل من الأمتار الثلاثة ، مما يشير إلى تشكيلها نتيجة عمليات النحت الجرى خلال عصر الهولوسين ، أى مُعاصرة لتكوين المدرج البحرى الفلاندرى الحديث الذى يقدر عمره بنحو ألف سنة من الوقت الحاضر (صور من ٦- ١٣ إلى ٦- ١٥) .

### ٣- المصاطب التوأمية على جوانب الأودية المرتبطة بنقاط تجديد الشباب & Knick : Paired Fluvial Terraces Points

أظهرت الدراسة الميدانية للمجرى الرئيسى لوادى " قدى " ووادى " حنه " وجود ثلاثة مستويات متتابة من المصاطب التوأمية تظهر على جانبي المجرى الرئيسى لكل واد منهما ، وبقياس البعد الرأسى لكل مجموعة من هذه المصاطب والقاع الحالى للمجرى أمكن تصنيفها فيما يلى (شكل ٦-٦) :

المستوى الأول (الأعلى) : ٣٢ – ٣٨ متر  
المستوى الثانى (الأوسط) : ١٧ – ٢٤ متر  
المستوى الثالث (الأسفل) : ٢ – ٤ أمتار

تتكون مجموعات المصاطب الثلاث من الكتل الصخرية والجلاميد والحصى الكروى الشكل مندمج فى نطاق من رواسب الطفل الرملى ، بالأضـة إلى بعض الكتل الحادة الأطراف التى يشير مظهرها المورفولوجى أنها قد تعرضت للتساقط من جانبي الوادى بفعل الجاذبية الأرضية وتماسكها فى تكوينات المصطبة ، وتتميز مجموعة المصاطب العليا بالتهدل و التقطع الشديد نظراً لتعرضها لفترات أطول لعوامل النحت والتعرية بالمياه الجارية ، أما مجموعة المصاطب السفلى فتتميز بوضوح معالمها واستمرار ظهورها لمسافات أطول وبصفة خاصة على الجوانب المحدبة للثنيات النهرية *Meanders* (صورة ٦-١٦).

وقد لوحظ أن هناك ترابط واضح بين مستويات الظاهرات الجيومورفولوجية الآتية مما يدل على أنها قد نتجت عن الانخفاض المتوالى فى مستوى مياه الخليج العربى ، وهذه الظاهرات هى :

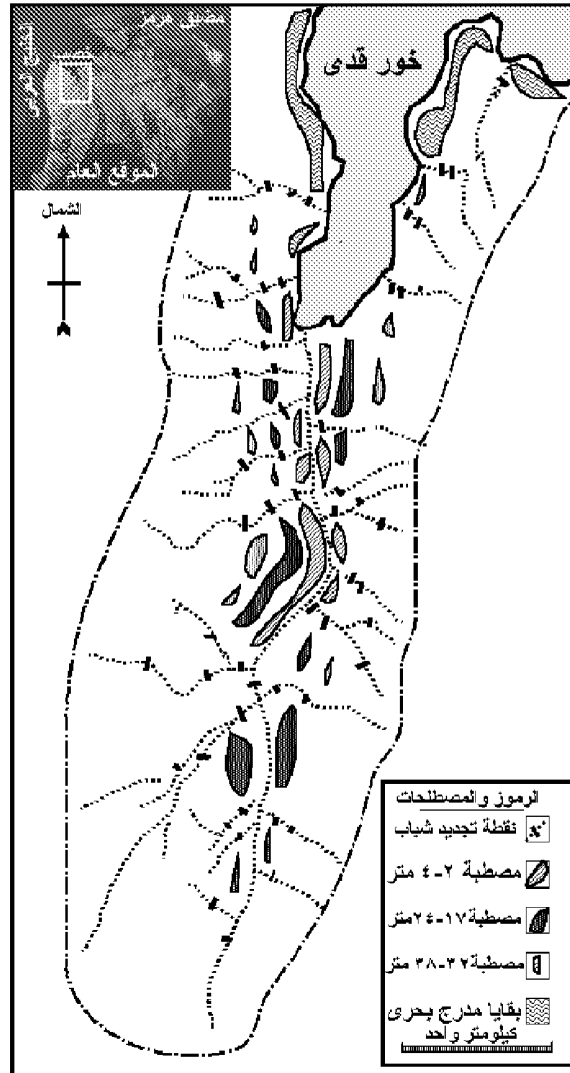
- ١- المصاطب التوأمية على جوانب الأودية .

- ٢- نقاط تجديد الشباب *Knick point* سواء على قيعان المجرى الرئيسى أو روافده .

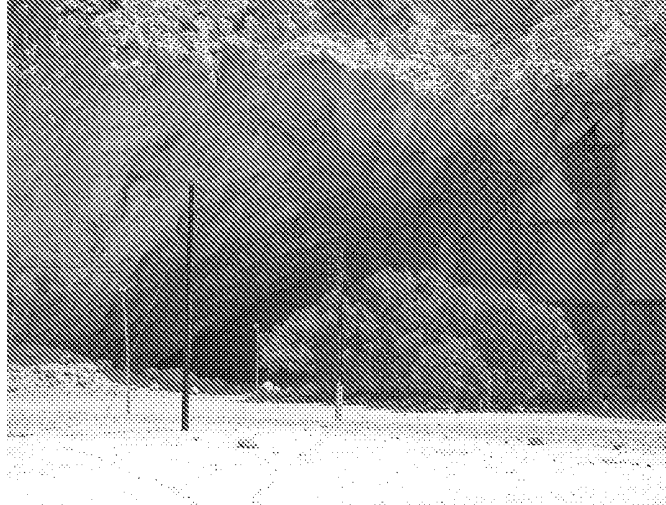
- ٣- مستويات التغير فى انحدار جوانب الأودية وهى التى يطلق عليها مصطلح (ظاهرة واد داخل واد) <sup>١٧</sup> .

- ٤- المستويات التى تظهر عليها مصبات الأودية المُعلقة .

<sup>17</sup> راجع التوزيع الجغرافى والوصف الجيومورفولوجى لظاهرة واد داخل واد ، والأودية المُعلقة فى الصفحات التالية .



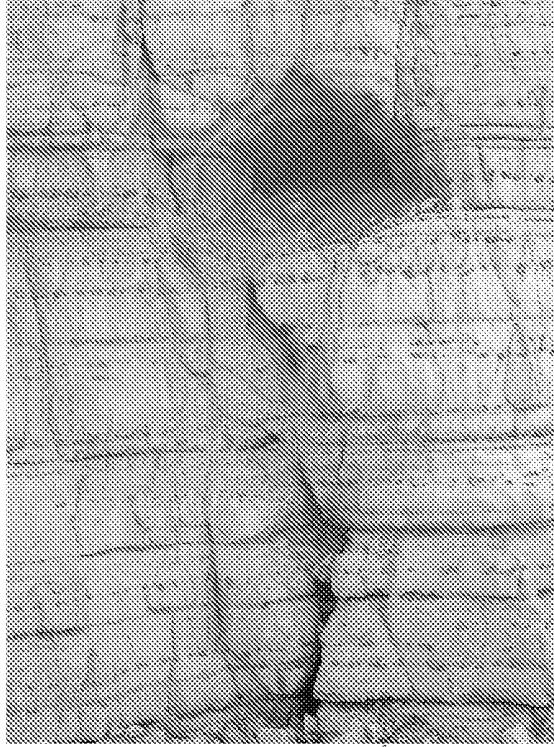
شكل (٦-٦) خريطة جيومورفولوجية توضح تأثير تذبذب مستوى سطح البحر على حوض وادي قدي (المصدر : الدراسة الميدانية)



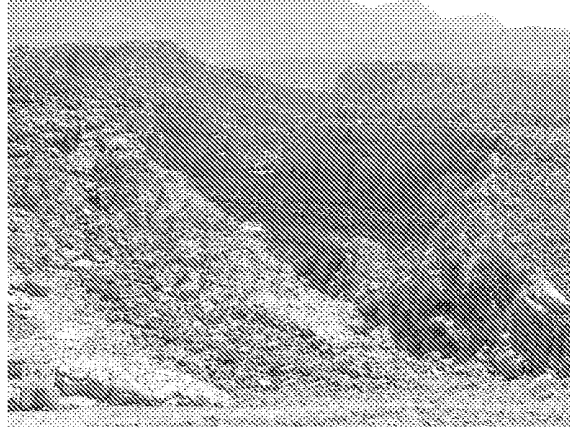
صورة (٦- ١٣) كهف بحرى منسوب أرضيته ٢،٢٥ متر ومدرج بحرى على منسوب ٢٣،٨٠ متر يظهر بالقرب من بلدة " الجرى "



صورة (٦- ١٤) مدخل كهف بحرى منسوب أرضيته ٢،٤٠ متر يظهر جنوب بلدة " الجرى " بحوالى نصف كيلومتر ناظراً فى اتجاه الشرق.



صورة (٦-١٥) كهف بحرى مستوى أرضيته ٦,٢٥ متر يظهر بالقرب من قرية غمضاء ناظراً  
فى إتجاه الشرق



صورة (٦-١٦) نقطة تجديد شباب تظهر بالجزء الأدنى من وادى الجرى.

#### ٤- المقاطع العرضية للأودية على شكل وادٍ داخل وادى

##### :Valley in Valley shape

يظهر المقطع العرضى للأودية بهذا الشكل فى حالة تعرض النهر لأكثر من مرحلة أو دورة تحاتية أو تتابع انخفاض مستوى القاعدة العام ، مما يؤدى إلى تنشيط عملية التعميق الرأسى للوادى وتكوين وادى ضيق عميق داخل الوادى القديم الذى كان يبدو أكثر اتساعاً ، وهذه الظاهرة تعد دليلاً جيداً يشير إلى توالى وتتابع عمليات التعميق الرأسى فى الأودية التى كانت لا تزال فى مرحلة الشباب حينما تعرضت لانخفاض مستوى سطح البحر الذى يمثل مستوى القاعدة المحلى لها .

ولوحظ ظهور المقاطع العرضية للعديد من أودية شبه جزيرة "مُسندم" بهذا الشكل ،  
وظهور بعضها على شكل ثلاث مراحل من المقاطع العرضية المتداخلة ( *V in V in V* )  
وأهمها أودية : تيبات ، غمضاء ، الجادى ، عيدة ، حنه وقدى (صورة ٦-١٧ ، وصورة ٦-١٨) .

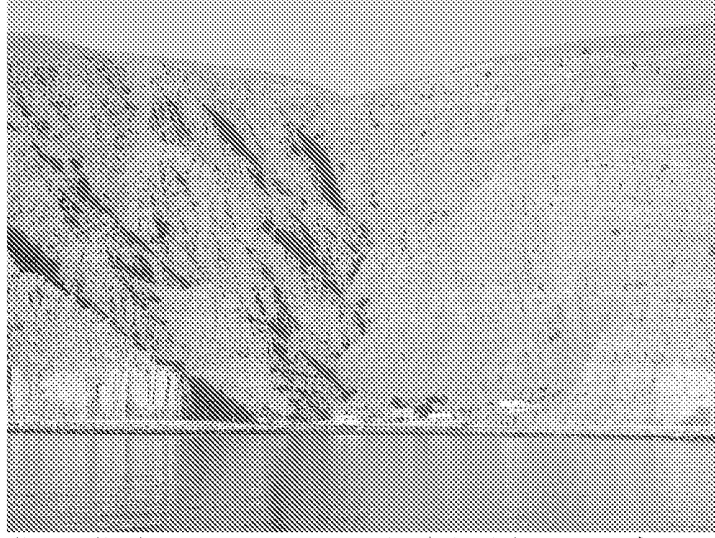
#### ٥- الأودية المُعلّقة Hanging Valleys :

لوحظ تكون مجموعات من مصبات الأودية المُعلّقة تصب في الخليج العربى من مناسيب  
أكثر ارتفاعاً من مستوى سطح البحر الحالى ، وتقتصر هذه الملاحظة على مصبات الأودية  
القصيرة مما يشير إلى أنها قد تعرضت لانخفاض مستوى سطح البحر الذى يمثل مستوى  
قاعدتها العام ، ولكنها تأثرت بفترات الجفاف وتوقفت بالتالى عمليات تعميقها الرأسى ولم تتمكن  
من إنجاز مهمتها فى بلوغ مستوى سطح البحر المنخفض . ويمكن تمييز مجموعتين من الأودية  
المُعلّقة على السواحل الغربية لشبه جزيرة " مُسندم " وفقاً لاختلاف مناسيب مصباتها المُعلّقة هما :

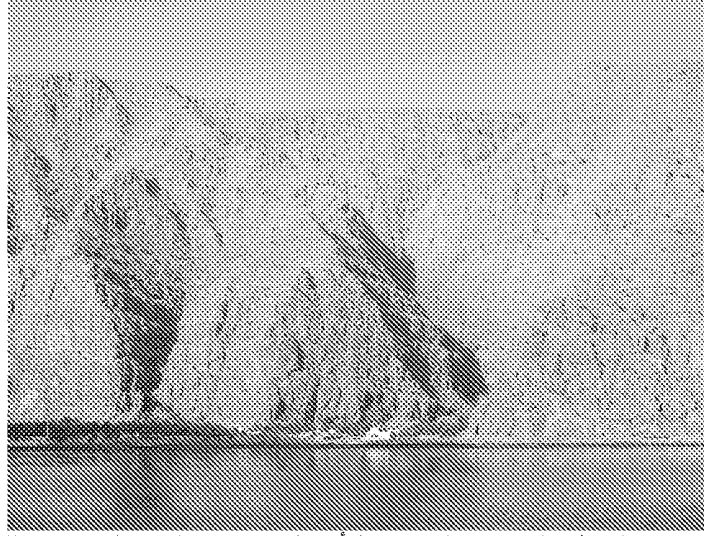
**المجموعة الأولى :** ترتبط مستوى مصباتها المُعلّقة بمناسيب المدرجات البحرية التى  
ترجع لفترة المونستيرى التابعة لعصر البلايستوسين المحصورة بين ٩ و ٦ أمتار ، مما  
يشير إلى كونها خلال هذه المرحلة ، إلا أنها لم تواصل عملية تعميق قيعانها بسبب عدم  
تأثرها بفترات المطر التالية ( صورة ٦-٢٦ ) .

**المجموعة الثانية :** ترتبط مستوى مصباتها المُعلّقة بمناسيب المدرجات البحرية التابعة  
لعصر الهولوسين المحصورة بين ٢٠٠ - ٢٠٤٠ متر ، مما يدل إلى أن هذه الأودية قد  
توقفت عن معاودة تعميق مجاريها رأسياً خلال فترة الهولوسين وتأثرت بفترات الجفاف  
التالية لها .

ولم تلاحظ أية مصبات مُعلّقة ترتفع مناسيبها عن مناسيب المدرجات الأقدم من فترة  
المونستيرى ، كما لوحظ أن الأودية الكبيرة فى المنطقة تصل مصباتها إلى مستوى  
سطح البحر الحالى ، وتتخذ مصباتها شكل المراوح الفيضية أى أنها تمكنت من إنجاز  
مهمتها فى التعميق الرأسى لمقاطعها العرضية قبل أن تدركها ظروف الجفاف ، وأهمها  
أودية " كومزار ، خصب ، قدى ، حنه ، بخاء ، غمضاء ، و تيبات " إلى جانب بعض  
الأودية الكبيرة نسبياً التى تصب داخل أخوار " شم ، بستان ، وغب على " .



صورة (٦- ١٧) مقطع عرضي لوادٍ داخل وادي *V in V shape* على الجانب الغربي لخور " قدي "



صورة (٦ - ١٨) المقطع العرضي لمجموعة أودية تعرضت لمراحل متعددة للتعرية على الجانب الغربي لخور " قدي " .

ثانياً : أدلة تذبذب مستوى سطح البحر على السواحل الشرقية لشبه جزيرة " مُسندم " المطلّة على خليج عُمان :

#### ١. بقايا المدرجات البحرية **Raised Marine Terraces** :

تتميز بقايا المدرجات البحرية التي تمت دراستها على السواحل الشرقية لشبه جزيرة " مُسندم " بعدة سمات نوجزها فيما يلي :

(أ) تتميز المدرجات البحرية على السواحل الشرقية لمُسندم بتعدد مناسيبها بالمقارنة بأعداد المدرجات على السواحل الغربية لشبه الجزيرة ، إذ لوحظ وجود بقايا



للمدرجات على المناسيب الآتية : ٢ و ١٢ و ٢٠ و ٣٢ و ٦٠ و ٨٠ و ٩٠ متر  
فى المتوسط (شكل ٦-٧ ، صورة ٦-١٩ ، وصورة ٦-٢٠).

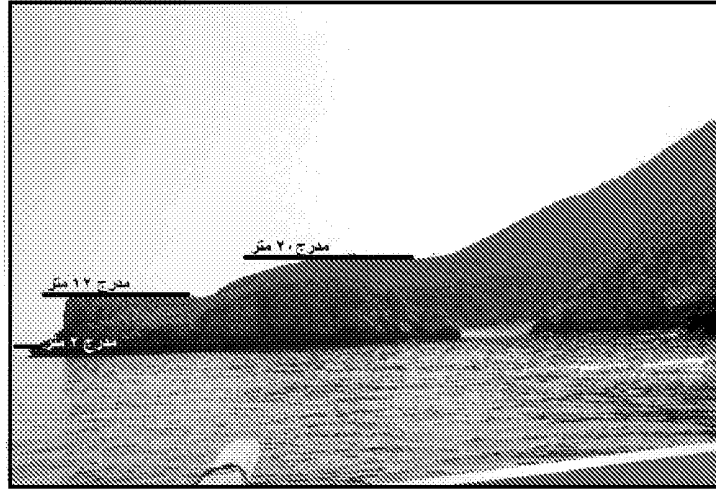
(ب) تظهر بقايا المدرجات البحرية على سواحل "مُسندم" المُطلّة على خليج  
عُمان مستوية تماماً ، ولا تنحدر صوب مياه الخليج ، أى لا تتفق مع بقايا  
المدرجات التابعة لفترات الصقلى والميلازى والتيرانى المُطلّة على الخليج  
العربى ، التى تتميز بإنحدار سطوحها فى إتجاه الخليج العربى نتيجة تأثرها  
بحركة الهبوط الأرضى الناجمة عن التصادم بين كتلة شبه جزيرة العرب  
والكتلة الآسيوية وإنغماس رأس مُسندم تحت كتلة إيران على حساب التقلص  
الحثيث المتوالى لمضيق "هرمز" بضعة ملايين سنوات سنوياً.

## ٢. الكهوف البحرية Marine Caves:

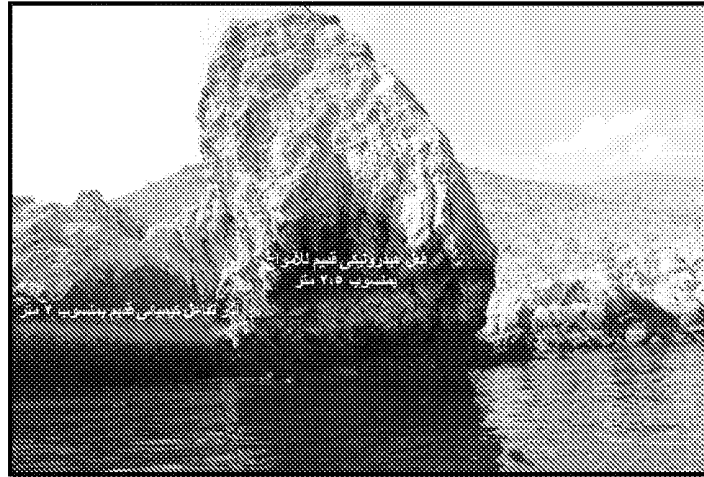
تظهر العديد من الكهوف البحرية على سواحل " مُسندم " المُطلّة على خليج عُمان ، ويمكن  
تمييزها إلى نمطين أساسيين :

أولهما عبارة عن كهوف بحرية حديثة التكوين تبدو أرضيتها على منسوب مماثل لمستوى  
سطح البحر الحالى ، مما يدل على تكونها فى الوقت الحاضر نتيجة الفعل الهيدروليكي للأمواج  
أثناء فترات العواصف ، ويقتصر ظهور هذا النمط من الكهوف على السواحل المُطلّة على مياه  
الخليج مباشرة ، ولم يستدل على أية كهوف بهذا المستوى داخل الأخوار بسبب ضعف قوة  
الأمواج على سواحلها بعد اصطدامها بالرؤوس البحرية .

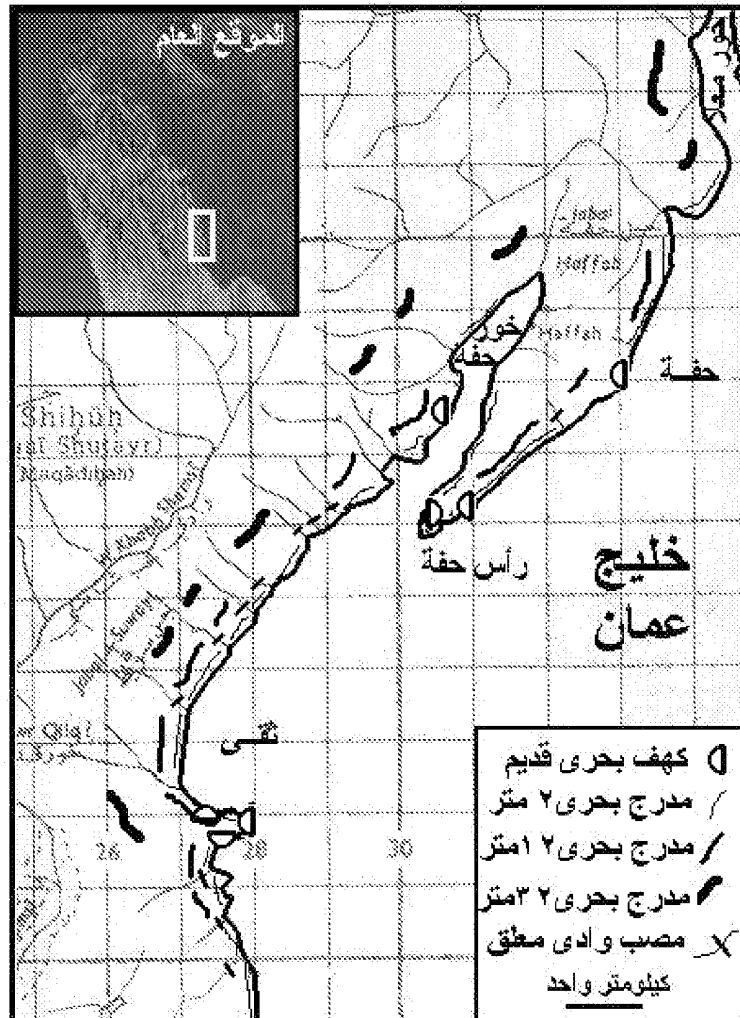
أما النمط الثانى من الكهوف فيبدو على منسوب أعلى من مستوى سطح خليج عُمان الحالى ،  
إذ يتراوح منسوب أرضية هذه الكهوف فيما بين المترين وحوالى المترين ونصف المتر ، بما  
يتشابه مع مناسيب بقايا المدرجات البحرية التى لوحظت على سواحل " مُسندم " المُطلّة على  
الخليج العربى ، التى رجح الباحث أنها تتبع فترة الفلاندرى بعصر الهولوسين التى لا يزيد  
عمرها عن ألف عام ( شكل ٦-٧ ، صورة ٦-٢١ ) .



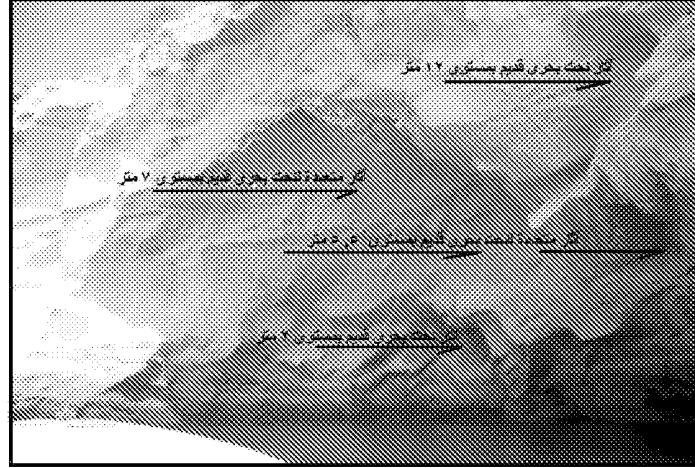
صورة (٦-١٩) مقطع تضاريسى مصور يوضح ثلاث مدرجات بحرية على مناسيب ٢ ، ١٢ ،  
٢٠ متر فوق مستوى سطح البحر الحالى فى منطقة خور "معل" ناظراً فى إتجاه الجنوب



صورة (٦-٢٠) بقايا نحت قديم بالأمواج على منسوب ٢٠٥ متر و آثار تفاعل كيميائي قديم على منسوب مترين فوق مستوى سطح البحر الحالي شمال منطقة خور "معلا".



شكل (٦-٧) التوزيع الجغرافي لبعض أدلة تذبذب مستوى سطح البحر للقسم الجنوبي من ساحل "مُسندم" المُطل على خليج عُمان



صورة (٦-٢١) آثار نحت قديم بالأمواج تظهر داخل أحد الكهوف البحرية في منطقة خور "معلا" على مستويات متعددة تتراوح بين المترين و ١٢ متر فوق مستوى سطح البحر

### ٣. المقاطع العرضية للأودية على شكل وادٍ داخل وادى

#### :Valley in Valley shape

تبدو المقاطع العرضية للأودية التي تصب في خليج عُمان على شكل وادٍ داخل وادى ، بصورة تتشابه مع المقاطع العرضية للأودية التي تصب في الخليج العربى ، إلا أنها تتميز عنها بعدة سمات نوجزها فيما يلى :

(أ) تتعدد مستويات التغير في درجة انحدار جوانب الأودية بصورة ملحوظة بالمقارنة بأعداد مستويات التغير في الأودية التي تصب في الخليج العربى ، مما يؤكد الملاحظة السابقة التي تشير إلى تعدد مستويات المدرجات البحرية على سواحل خليج عمان ، وربما يرجع ذلك إلى أن خليج عُمان يعتبر جزءاً من المسطحات البحرية المفتوحة المتصلة بالمحيط الهندي طوال تاريخه الجيولوجي ، على حين تعرض الخليج العربى للإغلاق خلال بعض فترات انخفاض مستوى سطح البحر العالمية في الزمن الرابع ، كما تراجع ساحل الخليج إلى الجنوب من مضيق هرمز ، وتحولت بالتالى أرضيته إلى أرض يابسة امتد عليها شط العرب لمسافة أكثر من ٨٠٠ كيلومتر من مصبه الحالى حتى مضيق هرمز ، التي أشارت إليها دراسات "سارنثين " (Sarnthein, M., 1972, P.242) ، و أكدها فيما بعد (حسن أبو العينين ، ١٩٨٩ ص ٢٧ ) ، ولذلك اختلفت أعداد ومناسيب بقايا ودلائل الذبذبات في مستوى سطح البحر على سواحل مُسندم الشرقية عن نظيرتها الغربية .

(ب) ترتبط مستويات التغير في درجة انحدار جوانب المقاطع العرضية للأودية مع مناسيب بقايا المدرجات البحرية بصورة مُلفتة للنظر ، كما ترتبط هذه المناسيب مع مستويات الكهوف البحرية التي سبق تمييزها على مناسيب تتراوح بين المترين والمترين ونصف المتر مما يؤكد أن السبب الجوهري في تغير درجات انحدار جوانب الأودية يرجع إلى انخفاض مستوى سطح البحر ، وليس هناك دور ملحوظ لاختلاف الظروف الهيدولوجية للأودية ، أى لا يرجع السبب الأساسى إلى تباين كميات الأمطار الساقطة على أحواضها التصريفية.

(ج) تبدو جميع المقاطع العرضية للأودية التي تصب في خليج عُمان على شكل حرف V ، أى تتشابه مع نظيرتها التي تصب في الخليج العربى مما يدل على أنها كانت لا تزال في مرحلة الشباب حتى أدركتها ظروف المناخ الجاف ، وانخفض مستوى سطح البحر قبل أن تنتهى من إنجاز دورتها التحاتية .

#### ٤. الأودية المعلقة Hanging Valleys:

تظهر على سواحل " مُسندم " الشرقية المطلّة على خليج عمان العديد من مصبات الأودية المعلقة ، بما يتشابه مع نظيرتها المطلّة على الخليج العربى ، مما يشير إلى أن هذه الأودية لم تتمكن من إنجاز دورتها التحاتية نتيجة انخفاض مستوى سطح البحر مما يُعصد من الملاحظة السابقة التي تفسر أسباب ظهور درجات الانحدار على مقاطعها العرضية ، ولم تتمكن معظم الأودية من بلوغ المستوى المنخفض لمستوى سطح البحر ألهم إلا الأودية الكبيرة نسبيا وهى وادى " قبَل " الذى يصب جنوبى خور " حبيلين " ، ووادى ليماء، ووادى شرية . وتتفق مستويات هذه المصبات المعلقة بصورة جديرة بالملاحظة مع مناسيب الأدلة الأخرى الناتجة عن انخفاض مستوى سطح البحر وهى :

- (أ) بقايا المدرجات البحرية على اختلاف مناسيبها .
- (ب) مستويات الكهوف البحرية وبصفة خاصة التي يتراوح منسوب أرضيتها بين المترين والمترين ونصف المتر أى التابعة لعصر الهولوسين .
- (ج) مستويات التغير في درجات انحدار مقاطع جوانب الأودية .

## قائمة المراجع :

### أولاً : مراجع باللغة العربية :

- ١- أبو العينين ، حسن سيد أحمد ، ١٩٨٩ :  
" الخليج العربى - تطوره الباليوجرافى وتذبذب مستوى سطح مياهه خلال  
عصر البلايستوسين " ، رسائل جغرافية ، وحدة البحث والترجمة ، قسم  
الجغرافيا ، جامعة الكويت ، العدد ١٢٥ ، ص ٥٥ .

### ٢- زهرة ، محمد محمد ، ٢٠٠٠ :

- سكان سلطنة عُمان ، الفصل الثالث من عُمان دراسة مسحية شاملة ، معهد  
البحوث والدراسات العربية ، القاهرة ، ص ص ٨٥ - ١٦٠ .

### ٣- فالكون ، ن . ل ، ١٩٨٠ :

- " البعثة العلمية إلى شبه جزيرة "مُسندم" (شمال عُمان) ، ترجمة محمود طه  
أبو العلا ، رسائل جغرافية ، وحدة البحث والترجمة ، قسم الجغرافيا ، جامعة  
الكويت ، العدد ١٥ ، ص ٤٠ .

### ثانياً : مراجع بلغات أجنبية :

#### 4- Falcon, N.L., 1972:

" Expedition to unknown Musandam",  
Geographical magazin, pp.105-111.

#### 5- -----, 1973:

"The Musandam Northern Oman expedition  
, 1971-72", Geographical Journal 139, pp.1-  
19.

#### 6- Gellnie, K.W., Boeuf, M.G.A., Hughes Clarke, M.W., Strut, M., Pilar, W.F., and Reinhardt, B.M., 1974:

Geology of the Oman Mountains, part I (text),  
part II (tables and illustrations), part III  
(separate plates), Koninklijk Nederlandands  
Geologisch en Mijnbouwkunding  
Genootschap, Transaction, 31, 423p (part I)

#### 7- Hudson. R.G.S., et al., 1954:

"The structure of the Jebel Hagab Trucial  
Oman", Quar. J. Geol. Soc. Vol. 110, p.121-  
152.

#### 8- -----, & Chatton, M., 1959:

"The Mussandam Limestone", Notes Mem,  
Moyen-Orient, Vol. III, Mus. Nat.  
Paris, p.45-70.

#### 8-Sarnthein, M., 1972 :

Sediments and history of the post glacial  
transgression in the Persian Gulf,  
Marine Geology, Amesterdam, Vol. 12,  
p.245-266.

- 9- **Vital Finzi, C. & Cornelius, P.F.S., 1973:**  
“Cliff sapping by mollusks in Oman”,  
*Journal of sedimentary*  
*petrology*, 43, 1, pp. 31-32.
- 10- -----, 1982:  
“Recent coastal deformation near the strait of Hormuz”,  
*Proceedings of the royal geographic society, London*, pp. 441-  
457.
11. **Zeuner, F.E., 1959:**  
*The Pleistocene Period*, 2<sup>nd</sup> Ed., London.

## الفصل السابع

### سواحل جزيرة قشم - إيران

أ.د. محمد مجدى تراب

## الفصل السابع

### سواحل جزيرة قشم - إيران

#### الموقع الفلكي والجغرافي :

تعد " قَشَم " أكبر جزر الخليج العربي ، وهي تحتل موقعاً استراتيجياً يتحكم في مدخل الخليج عند مضيق هرمز على الجانب المقابل لشبه جزيرة " مُسندم " التابعة لسلطنة عُمان ، وينحصر امتداد الجزيرة بين دائرتي عرض  $26^{\circ} 22'$  ،  $26^{\circ} 47'$  شمال خط الاستواء ، وبين خطي طول  $50^{\circ} 42'$  و  $56^{\circ} 04'$  شرق جرينتش (شكل ٧-١).

#### الملامح الجغرافية :

تبدو جزيرة " قَشَم " <sup>١٨</sup> على شكل شريط ضيق يمتد محوره من الشمال الشرقي إلى الجنوب الغربي موازياً للساحل الإيراني ولا يبعد عنه أكثر من خمسة كيلومترات ، ومواجهه لموانئ " بندر عباس ، خامير ، لنجه " التابعة لمقاطعة " هرموزجان - Hormozgan " ، ويبلغ طول الجزيرة ١٢٢ كيلومتر ، ولا يتجاوز متوسط عرضها أكثر من ١٢ كيلومتر ، ومساحتها الإجمالية تناهز ١٥٠٠ كيلومتر مربع إذا ما أضفنا إليها مساحة الجزر الصغيرة المتاخمة لها وأهمها جزر " هنكام ، لارك ، هرمز ، ناز ، دوكرده زين العابدين " .

تظهر تضاريس الجزيرة على شكل سلسلتين فقاريتين تفصلهما حوض وادي "جينكل درياني" الذي يقطع الجزيرة إلى قسمين متساويين تقريباً ، ويصب في مضيق " قشم " الضحل الذي تنتشر به شجيرات المانجروف التي تفصلها مجموعات متشابكة من قنوات المد والجزر البالغة الضخامة . وتتقطع مرتفعات السلسلتين بمجموعة من شبكات التصريف المائي التي تعرف طريقها نحو مياه الخليج العربي من ناحية أو المضيق الفاصل بين الجزيرة والساحل الإيراني من ناحية أخرى .

وأبرز مرتفعات الجزيرة مجموعة تلال " كوه بوخو " التي تمثل أعلى القمم بالجزيرة ويبلغ منسوبها ٣٩٧ متراً ، " بام قشم " - ٢٢٠ متراً ، " كرمقوكوه " الواقعة عند الطرف الجنوبي الغربي للجزيرة (شكل ٧-٢) .

ويتميز الساحل الداخلي للجزيرة المٌطل على مضيق " قَشَم " بضحاوته وهدوء أمواجه وزيادة الفارق بين مستويات المد والجزر ، كما يتميز باتساع سهوله الساحلية المٌغطاه بالرمال الناعمة الدقيقة الحبيبات المختلطة بالرواسب الطفلية *Loam Deposites* المنقولة بمجاري الأودية ، وتنتشر على شواطئه مجموعات متناثرة من شجيرات المانجروف أبرزها المحمية الطبيعية الواقعة على ساحل منطقة " لافيت " بالقرب من مصب وادي " جنكل درياني " (صورة ٧-١) .

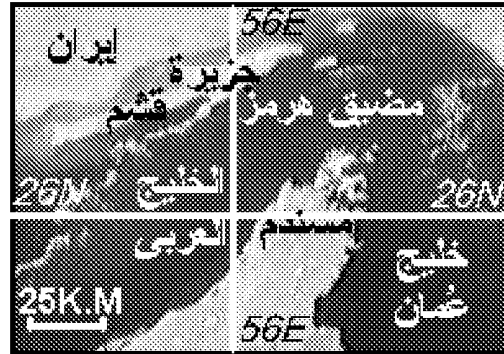
أما الساحل الخارجي للجزيرة المٌطل على الخليج العربي فيتميز بتعرج خط الساحل ، وضيق سهوله الساحلية ، وعمق مياهه ، وقلة الفارق نسبياً بين مستويات المد والجزر ، وتنتشر عليه بقايا الأصداق والرخويات والحصى والرمال الخشنة ، وتظهر على سهوله الساحلية

<sup>18</sup> كان يطلق على جزيرة " قَشَم " العديد من الأسماء من بينها : " بورخات - Bourkhat - دراز - Deraz - كافان - Kavan - قبر كافان - Abr

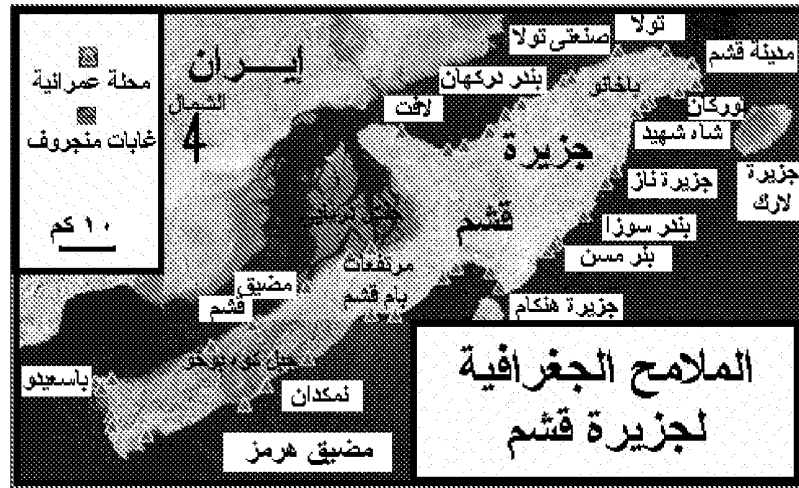
Kavan - ابن كافان - Ebne Kavan - قبر كامان - Abr Kaman - كيش - Kish - غيس - Ghis - لوفت - Loft " .



مجموعات متوازية من المدرجات البحرية المُحززة بآثار النحت البحري القديم وبقايا ومكسورات وشظايا الأصداف والشعاب المرجانية المتحجرة (صورة ٧-٢) .



شكل (٧-١) الموقع الفلكي والجغرافي لجزيرة "قشم"



شكل (٧-٢) الملاح الجغرافية لجزيرة "قشم"



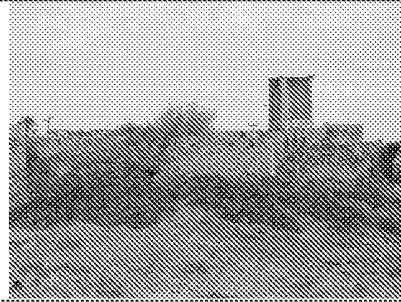
صورة (٧-١) شجيرات المانجروف تنمو على الشاطئ الضحل على الساحل الداخلي للجزيرة أمام قرية "تولا" على مسافة أربعة كيلومترات غرب مدينة "قشم" حاضرة الجزيرة



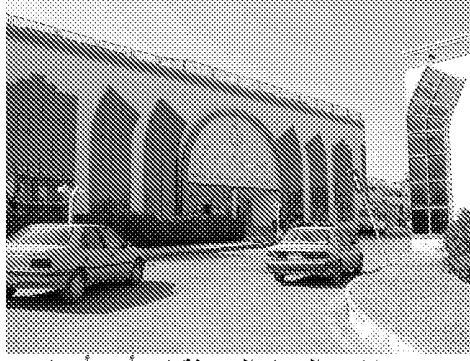
صورة (٢-٧) منظر مُقرب لسطح مدرج بحرى يبلغ منسوبه ٢،٢٥ متر تندمج داخل تكويناته بقايا الشعاب المرجانية المتماسكة ، عند الطرف الشمالى الشرقى للجزيرة على مسافة ٢٦٠٠ متر غربى مدينة " قشَم " .



صورة (٣-٧) أحد الأسواق الشعبية بالقرب من ميناء " قشَم " تباع به بعض المنتجات الاستهلاكية الواردة بالقوارب من موانئ " بندر عباس " الإيرانية و " دبی " الإماراتى و " خصب " العمانية



صورة (٤-٧) المساكن القديمة فى جزيرة " قشَم " يظهر أعلاهما أبراج التهوية التى يطلق عليه سكان الخليج العربى اسم " البراجيل " .



صورة (٧-٥) من ملامح الحياة الحديثة في أحد أحياء مدينة "قشم"

تتبع الجزيرة الإدارة المحلية لمقاطعة "قشم" التي تضم مدينتين هما "قشم" حاضرة الإقليم ، و"هرمز" الواقعة في الجزيرة التي تحمل اسمها وتقع بالقرب من الطرف الشمالي للجزيرة الأم . وتنقسم مقاطعة "قشم" إلى سبعة أقسام إدارية تتبعها ١١١ قرية ، ويبلغ عدد سكانها حوالي ٧٣ ألف نسمة وفقاً لنتائج تعداد عام ١٩٩٦ ، يشكل المسلمون السنة منهم حوالي ٩٥% والباقي من الشيعة ، ويتكلم سكان الجزيرة اللغة الفارسية ولكن نسبة كبيرة منهم يمكنهم فهم بعض مفردات اللغتين العربية والهندية ، بسبب أصولهم العربية واشتغالهم بالتبادل التجاري بين الهند وشبه الجزيرة العربية وسواحل شرق إفريقيا طوال فترات التاريخ<sup>١٩</sup> . وقد تم تحويل حوالي ٣٠٠ كم مربع من الجزيرة إلى منطقة حرة منذ عام ١٩٩٠ ، تستهدف إعادة تصدير المنتجات الصناعية بين الشرق الأقصى ومنطقة الشرق الأوسط ، ولكن يقتصر النشاط الحالي للسكان على صيد الأسماك وزراعة الشعير والزيتون ونخيل النمر وتربية الأغنام والماعز ، إلى جانب التبادل التجاري المحدود بالقوارب بين الموانئ القريبة من الجزيرة (صورة ٧-٣) .

وتعتبر مدينة "قشم" حاضرة الإقليم التي تحتل الطرف الشمالي الشرقي للجزيرة ، ويغلب على نسيجها المعماري الطابع الريفي البدوي ، وتبرز أعلى معظم منازلها أبراج التهوية الرباعية الأوجه التي يطلق عليها "البراجيل" و كانت سائدة في مدن الخليج العربي بغرض تهوية المساكن وتلطيف درجة الحرارة في أيام القيقظ اللافت (صورة ٧-٤) ، إلا أنه بدأت تظهر على استحياء في السنوات الأخيرة بعض مظاهر الحياة العصرية متمثلة في تخطيط بعض المساكن على الطراز الحديث ، والطرق المعبدة المتسعة ، ومراكز التسوق (صورة ٧-٥) .

#### الهدف من البحث :

يهدف البحث إلى دراسة مستويات المياه بالخليج العربي خلال الزمن الرابع من خلال التعرف على بقايا الأشكال الجيومورفولوجية المتبقية على سواحل جزيرة "قشم" ، ومحاولة ربطها بالدلائل التي سبق التعرف عليها بسواحل الخليج العربي الأخرى ، وخليج عمان ، و البحر المتوسط .

<sup>19</sup> تم اكتشاف آثار مدفونة لآي أنحاء متفرقة من الجزيرة تدل على النشاط التجاري البحري ترجع إلى ٥٠٠ سنة قبل الميلاد :

### الدراسات السابقة :

لم تتل جزيرة " قشَم " حقها من الدراسات الجغرافية ، كما أنها لم تشكل محورا أساسيا في الدراسات الجيومورفولوجية أو أبحاث مُعمقة للتغيرات المناخية في الزمن الرابع ، وأقتصرت الأمر على التعرف على بقايا المدرجات البحرية القديمة على بعض أجزاء من سواحل الجزيرة وتحليلها بالكربون ١٤ ضمن دراسات تناولت السواحل الإيرانية بصفة عامة ، واستنتجت هذه الدراسات وجود مدرجين بحريين يظهران على منسوب ٣٠ ، ١٥ متر فوق مستوى سطح البحر الحالي ، وأرجعت عمرهما لفترتي "التيراني والمونستيري" التابعتين لعصر البلايستوسين (Butzer, 1958, Harison, 1941, Falcon, 1947 & Vita Finzi, 1975)

### مناهج البحث وأساليبه ووسائله وأدواته :

ونظراً لندرة الكتابات الجغرافية التي تناولت الملامح الجيومورفولوجية للجزيرة ، وصعوبة الحصول على أزواج الصور الجوية ، بل والخرائط الطبوغرافية ، كانت الدراسة الميدانية<sup>٢٠</sup> هي السبيل المتاح للباحث للتعرف على شواهد تذبذب مستوى سطح البحر ، وتوقيع نتائجها على خريطة سياحية بمقياس ١ : ١٠٠٠٠ ، أصدرتها هيئة تنشيط السياحة بالجزيرة ، وأقتصرت الدراسة الميدانية على المنطقة الساحلية المتاخمة لمدينة " قشَم " لمسافة ٣٠ كيلومتر من الشواطئ الداخلية المواجهة لليابس الإيراني ، ومسافة مماثلة للسواحل الخارجية المطلّة على مضيق هرمز ، إلى جانب التعرف على الملامح الجيومورفولوجية للسبخات ، وأشكال الشواهد الصحراوية المنتشرة بالأجزاء الداخلية فيما بين الساحلين ، بهدف إدراك مدى ارتباط هذه الظواهر بتذبذب مستوى سطح البحر خلال الزمن الرابع .

كما أنه واجهت الباحث بعض الصعوبات في استخدام الأجهزة المساحية بسبب الإجراءات الأمنية وعدم إمكانية الحصول على تصاريح تخول له تحقيق هذا الهدف ، ولذلك اعتمد الباحث على تحديد مواقع بقايا الأشكال الجيومورفولوجية بجهاز *GPS*<sup>٢١</sup> ، وقياس ارتفاع المدرجات البحرية بالقامة والشريط ، والتصوير الفوتوغرافي والفيديو التفصيلي<sup>٢٢</sup> ، ورفع مقاطع ميدانية للمدرجات باستخدام شريط تيل و جهاز قياس المنحدرات *Abney Level*<sup>٢٣</sup> ورسم مجموعة من الخرائط الجيومورفولوجية التفصيلية .

### النتائج :

أوضحت الدراسة الميدانية وجود بقايا لستة مدرجات بحرية تنتشر على السواحل الخارجية للجزيرة المطلّة على مضيق " هرمز " تتمثل مناسبتها في جدول (٧-١) من الأعلى للأسفل ( من الأقدم للأحدث ) :

<sup>20</sup> استغرقت الدراسة الميدانية ثلاثة أيام خلال الفترة من ٢٨ فبراير إلى أول مارس عام ٢٠٠٢ .

<sup>21</sup> استخدم الباحث جهاز *GPS* ماركة ماجلان لتحديد المواقع فلكيا بدقة ثلاثة أمتار ، وجهاز قياس درجات إنحدار سطح الأرض *Abney Level*

ماركة *Ogwa Seil* بدقة درجة واحدة .

<sup>22</sup> استخدم الباحث آلة تصوير فوتوغرافية رقمية *Digital Camera* بدقة 3,3 G.B ، وآلة تصوير فيديو وتحويل أفلام الفيديو إلى صور فوتوغرافية

ثابتة باستخدام جهاز *Digital Video Creator*

جدول (٧-١) مناسيب بقايا المدرجات البحرية على سواحل جزيرة " قشَم " وفقاً لنتائج الدراسة الميدانية للباحث

| العصر        | المنسوب بالأمتار | الفترة         | التوزيع الجغرافي   | ملاحظات   |
|--------------|------------------|----------------|--|---|
| البلايستوسين | ٣٠-٣٢            | تيرانى         | حافة " شاه شهيد "  | ارتباط بين مستوى المدرجات والشواهد الصحراوية بمنطقة " جبل سوزا "                                |
|              | ١٨-٢٤            | تيرانى ٢       | "توركا" -<br>جبل "سوزا" على السواحل الخارجية المطلّة على مضيق هرمز ، وتنتشر على السواحل الداخلية بين " تولا " و "مدينة " قشَم" | هناك ارتباط واضح بين منسوب المدرج ومستويات بقايا الشواهد بمنطقة "جمبرى - باخانو" - جبل " سوزا " |
|              | ١٣-١٥            | مونستيري       | على الرؤوس البحرية   | يظهر سطح جزيرة " ناز " على منسوب ١٣ متر   |
|              | ٥-٧              | مونستيري متأخر | ميناء "سوزا" -<br>وسواحل "ركو" ، "خريس" ، "توركان"   |   |
| الهولوسين    | ٢-٢٠٥٠           | فلاندرى        | على معظم أجزاء السواحل الخارجية للجزيرة  | يظهر سطح جزيرة "زين العابدين" على منسوب مترين   |
|              | ١-١٣٠            | فلاندرى أحدث   |  |   |

من دراسة الجدول (٧-١) الذى يوضح مناسيب المدرجات البحرية على سواحل الجزيرة وشكل (٧-٣) الذى يوضح ملامح التوزيع الجغرافى لهذه المدرجات نلاحظ ما يلى :

١- أمكن تمييز بقايا أربعة مدرجات بحرية تابعة لعصر البلايستوسين على السواحل الخارجية المطلّة على مضيق " هرمز " بالإضافة إلى مدرجين آخرين تظهر بقاياها على مناسيب أعلى من ذلك إلا أنه لم يتمكن الباحث من قياس مستوياتها ومن المرجح أنها تتبع فترتى الصقلى والميلازى (صور من ٧-٦ إلى ٧-٩) .

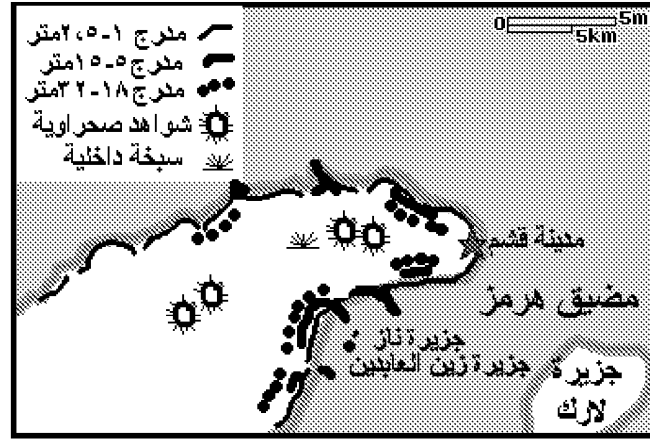
٢- تظهر بقايا لثلاث مدرجات بحرية على السواحل الداخلية للجزيرة وهى السواحل المواجهة لليابس الإيرانى ، وتتبع هذه المدرجات فترتى التيرانى والمونستيري ، وتتوزع على مناسيب تتراوح بين (٢٣، ١٨ و ١٥، ١٣ و ٥-٧ متر) على التوالى .

٣- تنتشر بقايا أثنين من المدرجات الحديثة التابعة لعصر الهولوسين على معظم سواحل الجزيرة بلا استثناء سواء السواحل الخارجية أو الداخلية ، وتبدو على مناسيب تتراوح بين ٢ ، ٢٥٠ ، و ١ ، ١٣٠ متر ، وتتميز هذه المدرجات باندماج بقايا الشعاب المرجانية في تكويناتها الجيرية المتماسكة مختلطة بالرواسب البحرية المفطحة ، ومكسورات وشظايا الأصداف البحرية والرخويات (صورة ٧- ٢) .

٤- تتمثل على سطح جزيرتي " ناز و زين العابدين" بقايا مدرجين بحريين على منسوب ١٣ ، ٢ متر ، إلى جانب مجموعة من مستويات التقويض والنحت البحري القديم مما يرجح أنهما كانا جزء من يابس الجزيرة وانفصلتا عنها خلال فترتي المونستيري والفلاندرى التابعتين للبلايستوسين والهولوسين على التوالي (صورة ٧- ٧) .

٥- توجد آثار للتقويض والنحت البحري القديم على مناسيب متوافقة مع مستويات المدرجات البحرية على الحافات والجروف البحرية ، وأهمها حافة " شاه شهيد" (صورة ٧- ١٠) ، كما لوحظ وجود أصداف بحرية ومكسوراتها متماسكة في التكوينات الجيرية على أسطح المدرجات البحرية بكافة مستوياتها .

٦- يلاحظ وجود علاقة ارتباط جديرة بالاهتمام بين مناسيب المدرجات البحرية ، ومستويات التقويض والنحت البحري القديم من ناحية ، وبين مناسيب التلال الشاهدة والموائد الصحراوية المنتشرة في المناطق الداخلية بالجزيرة ، ولاسيما منطقة جبل " سوزا" ، وفيما بين بلدتي "تولا" الواقعة على الساحل الشمالي الغربي (الداخلي) و"توركان" الواقعة على الساحل الجنوبي الشرقي (الخارجي) ، راجع ( شكل ٧- ٣ ، صورة ٧- ١١) .



شكل (٧-٣) ملامح التوزيع الجغرافي للمدرجات البحرية والشواهد الصحراوية في الجزء الشمالي الشرقي من جزيرة " قشم"



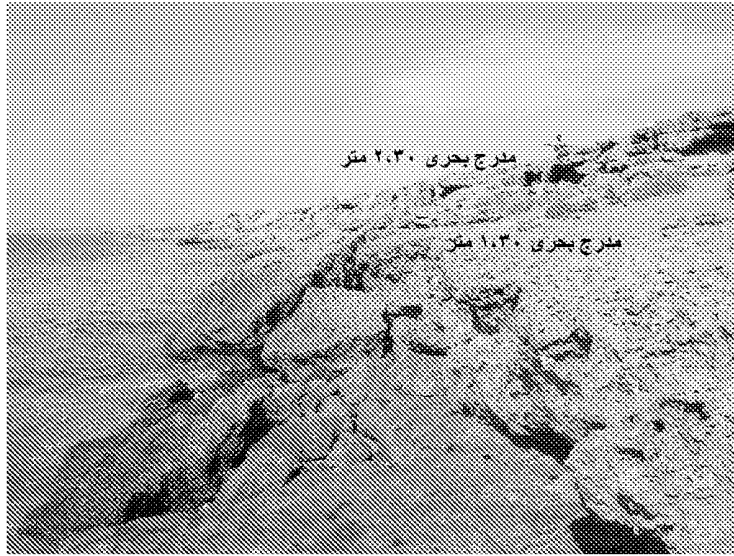
صورة (٦-٧) مدرجان بحريان يظهر ا شمال ميناء "سوزا" بحوالى ٦٥٠ متر ناظراً للشمال الشرقى



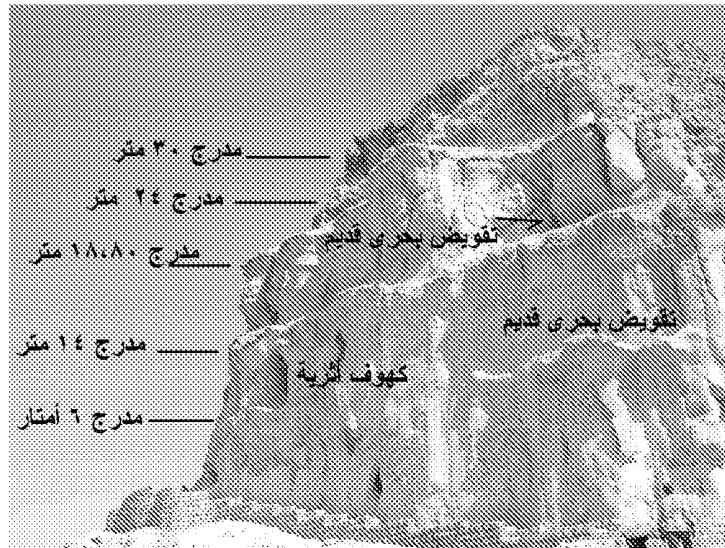
صورة (٧-٧) مدرجان بحريان يظهر ا على جزيرتى "ناز" و "زين العابدين" جنوب غرب مدينة "قشم" بحوالى ٢٥ كيلومتر.



صورة (٨-٧) مدرج يبلغ منسوبه ٢٢ متر يظهر على ساحل منطقة "ركو" شمال شرق "بندر سوزا" بحوالى عشرة كيلومترات ناظراً للجنوب الغربى

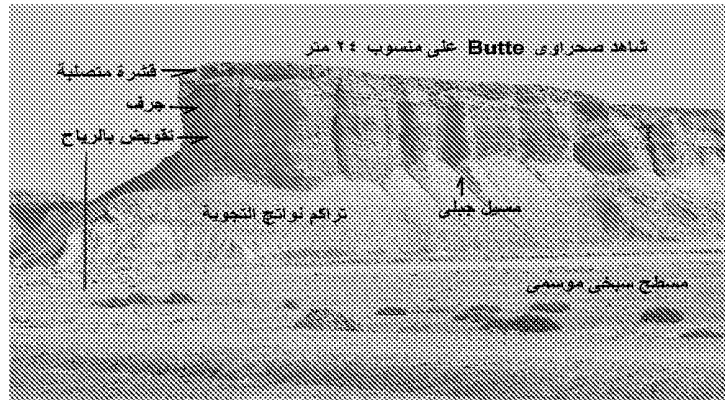


صورة (٩-٧) مدرجان بحريان يبلغ منسوبهما ٢٠,٣٠ و ١٠,٣٠ متر يظهران بمنطقة "توركمان" جنوب غرب مدينة "قشم" بحوالى عشرة كيلومترات.



صورة (١٠-٧) مقطع تضاريسى مصور للجانب الجنوبي من حافة "شاه شهيد" يظهر عليها آثار النحت البحرى القديم على مستويات متعددة





صورة (١١-٧) شاهد صحراوي يبدو سطحه المستوي على منسوب ٢٤ متر في منطقة " باخانو " الداخلية فيما بين بلدتي "تولا" و "توركان".

جدول (٢-٧) العلاقة بين مستويات المدرجات البحرية المتبقية على سواحل جزيرة " قشم " والدراسات السابقة التي أجريت على سواحل الخليج العربي

| المنطقة                                | الدليل  | المنسوب بالأمطار  | العمر ( بالسنوات من الوقت الحالي ) ؟  | المصدر   |
|--|---|---|---|--|
| ساحل الاحساء بالمملكة العربية السعودية | بقايا أركيولوجية مبعثرة                                     | ١٠٥ - ٣   | ؟   | Cornwall, 1946   |
| ساحل مكران الإيراني                    | بقايا مدرجات بحرية مرتبطة بمصاطب نهريّة                     | ٨٠ - ٩٠   | صقلي  | Butzer, 1958, Harison, 1941, Falcon, 1947 & Vita Finzi, 1975 |
|  |   | ٦٠  | ميلازي  |  |
|  |   | ٣٠  | تيراني  |  |
|  |   | ١٥  | مونستيري  |  |
| جزيرة خرج الإيرانية                    | بقايا مدرجات بحرية  | ٨٠ - ٩٠   | صقلي  |  |
|  |   | ٦٠  | ميلازي  |  |
|  |   | ٣٠  | تيراني  |  |
|  |   | ١٥  | مونستيري  |  |
| جزيرة قشم الإيرانية                    | بقايا مدرجات بحرية  | ٣٠  | تيراني  | Vita Finzi, 1975   |
|  |   | ١٥  | مونستيري  |  |
| ساحل مكران الإيراني                    | تحليل بقايا أصداف بحرية بالكربون ١٤                         | ٨   | ±٢٣٤٩٥<br>٤٠٠<br>٦٤٠±٢٥٦١٠  |  |
| أمام ساحل شبه جزيرة قطر                | مدرجات بحرية مغمورة تحت سطح الخليج                          | سالب ٥٠٥ -<br>١٦٠٥ -<br>سالب ٢٠ -<br>٣١ -<br>سالب ٣١٣١ -<br>٥١ -<br>سالب ٥٥ -<br>٧٣ - | الفترة الجليدية الأخيرة ؟   | Houbolt, 1957  |
| ساحل الفاو العراقي                     | طبقة تحتوي على بقايا عضوية بالكربون ١٤                      | سالب ٣٢   | ٩٩١٠ ± ١٠٠  | Godwin & Willis, 1958  |
| سواحل جزيرة قشم الإيرانية              | مدرجات بحرية شظايا أصداف بحرية شعاب مرجانية نحت وتقويض بحري | ٣٠-٣٢<br>١٨-٢٤<br>١٣-١٥<br>٥-٧<br>٢-٢٠٥٠<br>١-١٣٠٠                                    | تيراني<br>تيراني ٢<br>مونستيري<br>مونستيري متأخر<br>فلاندرى<br>فلاندرى أحدث | الدراسة الحالية  |

من دراسة جدول (٧-٢) الذى يوضح العلاقة بين مستويات المدرجات البحرية المتبقية على سواحل جزيرة " قشم " والدراسات السابقة التى أجريت على سواحل الخليج العربى نتبين أن هناك ارتباط واضح بين مناسيب بقايا المدرجات البحرية على سواحل الخليج وفترات تأريخها .

#### الخاتمة :

تفيد الدراسة التى أجريت على سواحل جزيرة " قشم " تأثرها بذبذبات مستوى سطح البحر التى حدثت خلال الزمن الرابع وعلى مستويات مشابهة لتلك التى تأثرت بها سواحل البحر المتوسط .

#### قائمة المراجع :

1. Butzer,K.W., 1958,  
*Quaternary Stratigraphy and Climate in the Near East,*  
*Bonner Geographische Abhandlungen.*24,pp.1-57.
2. Cornwall,P.B., 1946,  
*Ancient Arabia: Explorations in Hasa, 1040-41,*  
*Geogr. Journ., 107,pp.28-50.*
3. Falcon,N.L., 1947,  
*Raised Beaches and Terraces of the Iranian*  
*Makran Coast, Geog. Journ., 109, pp.149-51.*
4. Godwin,H.S. & Willis,E.H., 1958,  
*Radiocarbon Dating of Eustatic Rise in Ocean-*  
*level, Nature, 181,pp.1518-19.*
5. Harison,J.V., 1941,  
*Coastal Makran, Geogr.Journ., 97,pp.1-17.*
6. Houbolt, J.J.H.C., 1957,  
*Surface Sediments of the Persian Gulf near the Qatar*  
*Peninsula, The Hague, Mouton.*
7. Vita Finzi, C., 1975,  
*Quaternary Deposits in the Iranian Makran,*  
*Geogr. Journ., 141, pp.415-20.*

## الفصل الثامن سواحل دولة الكويت

أ.د. محمد مجدى تراب

## الفصل الثامن سواحل دولة الكويت

### الموقع الفلكي والجغرافي :

تطل دولة الكويت على الطرف الشمالي الغربي للخليج العربي ، وتقع بين دائرتي عرض  $28^{\circ} 30'$  ،  $30^{\circ} 05'$  شمال دائرة الاستواء ، وخطي طول  $46^{\circ} 30'$  ،  $48^{\circ} 30'$  شرق خط جرينتش . ويحد الكويت من الشمال والغرب الجمهورية العراقية ، ومن الجنوب والجنوب الغربي المملكة العربية السعودية ، وتطل على الخليج العربي من الشرق . وتبرز العديد من الجزر الكويتية فوق صفحة مياه الخليج ، أكبرها مساحة جزيرة بوبيان ثم جزيرة فيلكة (شكل ٨-١) .

### الملامح الجغرافية :

تتميز الأطراف الشمالية والجنوبية من دولة الكويت بالبساطة والاستواء ، ويغطي سطحها الرمال والحصى ، أما الأجزاء الغربية والوسطى فتتمد بها مجموعة من الحافات الصخرية التي تأخذ اتجاهًا عامًا من الشمال الغربي للجنوب الشرقي ، أهمها حافة جال الزور الممتدة لأكثر من ٦٥ كيلومتر ، ويصل منسوبها لحوالي ١٤٥ متر ، وهي تشرف على خليج الكويت ولا يفصلها عنه سوى سهل ساحلي لا يزيد اتساعه عن ١٠ - ١٥ كيلومتر ، كما تمتد مجموعات أخرى من الحواجز الحصوية المحدودة الارتفاع مثل حافة الأحمدى التي لا يتجاوز منسوبها أكثر من ٤٥ متر ، وحافة اللية تفصلها بعض الأودية الداخلية مثل وادي الباطن (شكل ٨-٢) .

ويعظم الفارق بين مستوى المد والجزر على سواحل الكويت بسبب طبيعة شكل الساحل الخليجي من ناحية وضحوته من ناحية أخرى وتوافر الرواسب الفيضية التي يلقي بها شط العرب في الخليج من ناحية ثالثة ، مما ساهم في نقل الرواسب الدقيقة الحبيبات مع قنوات الجزر النشطة من اليابس نحو الساحل ، وخاصة في منطقة البحرة ومجموعة الجزر المنتشرة في خليج الكويت شمال جزيرة بوبيان وأهمها جزر فيلكة ، ام نمل ، كبر ، قارة ، وأم مراديم .

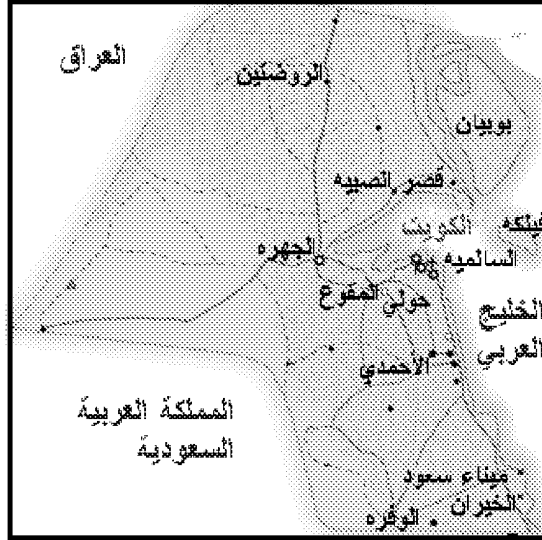
وتغطي سطح أرض السهول الساحلية مجموعات متباينة الخشونة من الرواسب السطحية ، أهمها الرواسب الشاطئية ، ورواسب المستنقعات الساحلية ، والحصى والرمال المنمجة والمتماسكة بالمواد اللاصقة الكلسية والجبس ، بالإضافة إلى مجمعات الكونجلوميرات التي تتألف من كتل الحجر ارملي والحجر الجيري ، متعاقبة بعدم توافق مع طبقات من الحجر الجيري الصدفي ، والحجر الجيري المارلي ( شكل ٨-٣ ) .

### أدلة تذبذب مستوى سطح المياه بخليج الكويت خلال الزمن الرابع:

قامت الدكتورة ( طيبة العصفور - (Al-Asfour, 1982) بإجراء دراسة للتعرف على دلالة تذبذب مستوى سطح المياه على القسم الشمالي من سواحل خليج الكويت ، معتمدة على أسلوب البحث الميداني ورفع المقاطع التضاريسية لبقايا المدرجات البحرية ، وتقدير أعمارها عن طريق تحليل عينات الرواسب والأصداف البحرية المنطمة في بقايا المدرجات بكريون ١٤ ، وفحصها بالمجهر الإلكتروني ، وطبقت دراستها على المدرجات البحرية المحصورة بين حافة " جال الزور " وخط الساحل الحالي للخليج العربي (شكل ٨-٣) .

وأوضحت نتائج هذه الدراسة أنه تتمثل على سواحل خليج الكويت ستة مدرجات بحرية إلا أنها قد تعرضت لحركة هبوط أرضي غير متوازنة عملت على ميل بقاياها من الغرب إلى

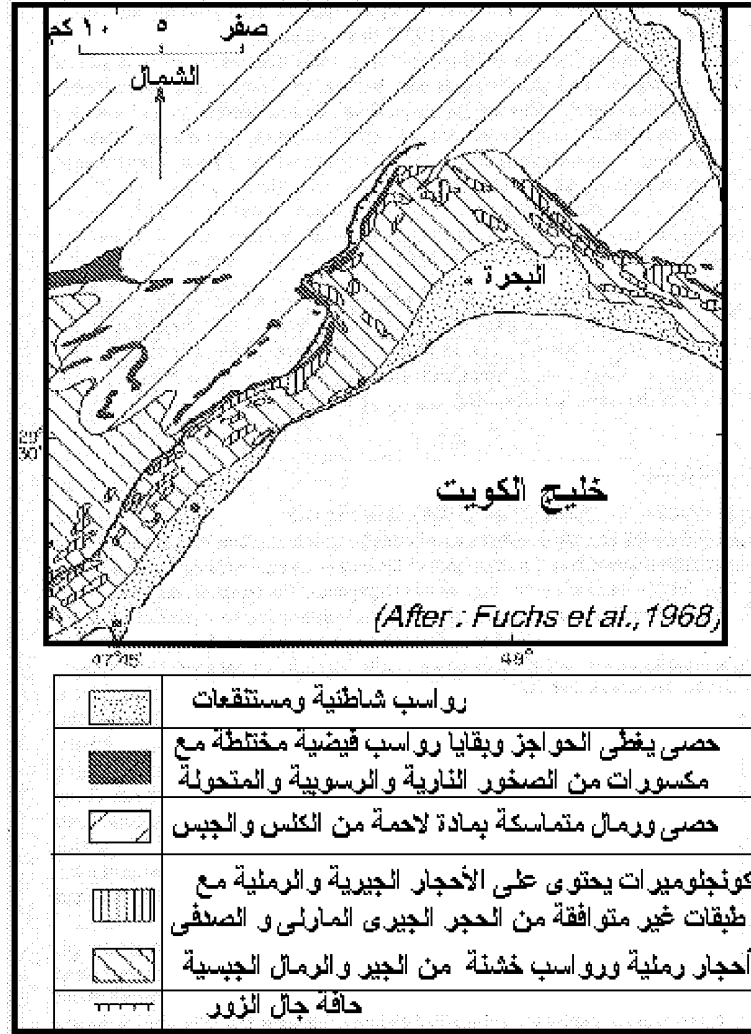
الشرق أى فى إتجاه الخليج العربى ، وقسمت أعمار هذه المدرجات لمجموعتين ، حددت عمر المجموعة الأولى منهما للفترة المحصورة بين حوالى ٤٣ ، ٢٣،٣ ألف سنة من الوقت الحالى بمعدل خطأ  $\pm ٦٠٠$  سنة أى أنها تتبع عصر البلايستوسين ، وأرجعت عمر المجموعة الثانية إلى الفترة المحصورة بين ٤٥٧٠ سنة بنسبة خطأ  $\pm ٧٠$  سنة ، ٣٢٥٠ سنة من الوقت الحالى بنسبة خطأ  $\pm ٨٠$  سنة ، أى أنها ترجع لعصر الهولوسين (شكل ٨-٤) ، وحُددت مناسيب بقايا المدرجات البحرية بالأمتار فوق مستوى سطح البحر الحالى (جدول ٨-١) .



شكل (٨-١) الموقع الجغرافى لدولة الكويت.



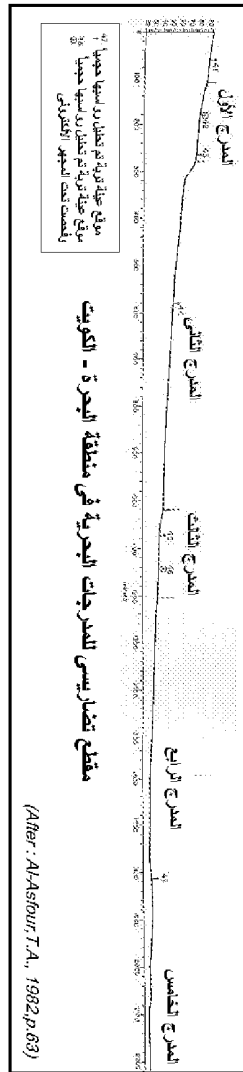
شكل (٨-٢) الملامح الجغرافية لدولة الكويت.



شكل (٨-٣) التكوينات السطحية على سواحل دولة الكويت.

جدول (٨-١) مناسيب بقايا المدرجات البحرية في القسم الشمالى  
من خليج الكويت بالأمتار فوق مستوى سطح البحر الحالى  
(After : Al-Asfour, 1982, p.166)

| رقم<br>المدرج<br>البحرى | كاثمة ١ | كاثمة ٢ | غيزة  | مديرية | البحر<br>١ | البحر ٢ | البحر ٣ |
|-------------------------|---------|---------|-------|--------|------------|---------|---------|
| ١                       | ٩٠,٦٠   | ٨١,٥٣   | ٩٢,٦٢ | ٧١,١٢  | ٧٩,٨٥      | -       | -       |
| ٢                       | ٧٧,٩٢   | ٦٩,٦٥   | ٧٩,٢٧ | ٥٩,٥٧  | ٥٦,١٠      | ٦٣,٧٢   | ٣٣,١١   |
| ٣                       | ٦٧,٣٨   | -       | ٦٥    | ٥٢,٣٠  | ٤٠,٣٩      | ٤٧,٨٢   | ١٨,٥٨   |
| ٤                       | ٥٠,٧٦   | ٤٠,٥٥   | ٥٢,٩٤ | ٣١,٢٣  | ٣١,٧٩      | ٣٩,٤٥   | ١١,٧٢   |
| ٥                       | -       | ١٠,٧٠   | ٣٣,٦٠ | -      | ٢٢,٣٢      | ٢٩,٨٦   | -       |
| ٦                       | -       | -       | ١٣    | ١١,٦١  | ١٦,١٠      | ١٤,٤٣   | ٥,٩٩    |



شكل (٤-٨) مقطع تضاريسي يوضح مناسيب بقايا المدرجات البحرية بمنطقة البصرة على ساحل الكويت.

أدلة تذبذب مستوى سطح الخليج العربي على سواحل جزيرة بوبيان خلال عصر الهولوسين:

تقع جزيرة بوبيان في مواجهة ساحل دولة الكويت عند أقصى الطرف الشمالي الغربي من الخليج العربي، فيما بين دائرتي عرض  $29^{\circ}33'$  ،  $29^{\circ}59'$  شمال دائرة الاستواء ، وبين خطي طول  $48^{\circ}$  ،  $48^{\circ}25'$  شرق جرينتش ، ويفصلها عن اليابس الكويتي خور الصبية الضحل الضيق ، وتبلغ مساحة الجزيرة حوالي ٨٩٠ كيلومتراً مربعاً ، ويصل طولها لنحو ٤٢ كيلومتراً ، وأقصر عرض حوالي ٢٥ كيلومتراً ( طيبة العصفور ، ١٩٨٢ ص ٦) راجع ( شكل ٨-٥).

قامت الدكتورة ( طيبة العصفور ، ١٩٨٢ ) بإجراء دراسة عن التطور الجيومورفولوجي للجزيرة وقامت بجمع مجموعات من بقايا الأصداف البحرية والمحاريات المنتشرة على هوامش الجزيرة ، وقدرت أعمارها بالكربون ١٤ ، وترى في ضوء نتائج هذه التحليلات أن مستوى سطح البحر كان أعلى من مستواه الحالي بحوالي ١,٥٠ - ٢ متر وقدرت عمره فيما بين ٣٥٢٠ إلى ٢٢٤٠ سنة من الوقت الحاضر مع هامش للخطأ في حدود  $\pm ٨٥$  سنة .



شكل (٨-٥) مورفولوجية جزيرة بوبيان - الكويت  
وشكل خط الساحل خلال عصر الهولوسين .  
بتصرف عن ( طيبة العصفور ، ١٩٨٢ ص ١٧)



**قائمة المراجع :**

١ - طيبة عبد المحسن العصفور ، ١٩٨٢ :

نبذة عن تطور جزيرة بوبيان الكويتية في أواخر عصر الهولوسين ، رسائل  
جغرافية ، الجمعية الجغرافية الكويتية ، العدد ٤٥ .

**3- Al-Asfour, T.A., 1978:**

*The marine terraces of the Bay of Kuwait, The  
Environmental History of the Near and Middle East since  
the Last Ice Age: New York, Academic Press, 245-254.*

**2-----, 1982:**

*Changing Sea-Level along the North Coast of Kuwait Bay,  
Kegan Paul International, London, 186 P.*

**3-Fuchs,W., Gattinger,T.E. and Holzer,H.F., 1968:**

*Explanatory Text to the synoptic Geologic Survey of Austria.*

## الفهارس

### فهرس الموضوعات

|     |  |
|-----|--|
| ٤   | مقدمة .....  |
| ٧   | الباب الأول .....  |
| ٧   | خصائص التغيرات المناخية في مناسيب البحار والمحيطات .....                                       |
| ٨   | الفصل الأول .....  |
| ٨   | أنماط التغيرات في مناسيب البحار والمحيطات .....  |
| ١٣  | الفصل الثاني .....   |
| ١٣  | أساليب قياس تذبذب مستويات البحار العالمية .....  |
| ٣٢  | الفصل الثالث .....   |
| ٣٢  | نتائج أهم الدراسات التي تناولت ظواهر التغير في مستويات البحار العالمية خلال الزمن الرابع ..... |
| ٤٧  | الباب الثاني .....   |
| ٤٧  | تطبيقات لأجزاء مختارة من سواحل الخليج العربي وخليج عُمان .....                                 |
| ٥٠  | الفصل الرابع .....   |
| ٥١  | السواحل الغربية لدولة الإمارات العربية المتحدة .....   |
| ٦٧  | الفصل الرابع .....   |
| ٦٧  | (المبحث الأول) .....   |
| ٧٧  | (المبحث الثاني) .....  |
| ١٠٣ | (المبحث الثالث) .....  |
| ١٢٠ | الفصل الخامس .....   |
| ١٢١ | آثار تذبذب مستوى سطح البحر خلال الزمن الرابع على الساحل .....                                  |
| ١٣٧ | الفصل السادس .....   |
| ١٣٨ | شبه جزيرة "مُسندم" - سلطنة عُمان .....   |
| ١٦٣ | الفصل السابع .....   |
| ١٦٤ | سواحل جزيرة قشم - إيران .....  |
| ١٧٥ | الفصل الثامن .....   |
| ١٧٦ | سواحل دولة الكويت .....  |
| ١٨٢ | الفهارس .....  |
| ١٨٢ | فهرس الموضوعات .....   |